

Vorlesungs-Homepage ist <http://www.physik.uni-bielefeld.de/~yorks/theo1>

Orga 1

0. Inhalt / Vorgeschmack 2

A. Mechanik

1. Newtonsche Mechanik 3

1.1 Grundbegriffe, Newtonsche Axiome 3

1.2 Arbeit, konservative Kraft, Potential 6

1.3 Scheinkräfte 9

1.4 Mehrteilchensysteme, Erhaltungsgrößen 11

1.5 Anwendung: Zentralkraft-Problem, Kepler 15

1.6 Streuung im Zentralkraftfeld 19

2. Lagrange-Formalismus 22

2.1 Variationsrechnung 22

2.2 Prinzip der kleinsten Wirkung 26

2.3 Rand-/Zwangsbedingungen 27

2.4 Symmetrien und Erhaltungssätze 31

2.5 Beschreibung dissipativer Systeme 35

3. Wichtige Anwendungen 36

3.1 Kleine Schwingungen 36

3.2 Gedämpfte, erzwungene Schwingungen 41

3.3 Der starre Körper 44

3.4 Der symmetrische Kreisel 51

4. Hamilton-Formalismus 53

4.1 Hamiltonsche Bewegungsgleichungen 53

4.2 Kanonische Transformationen 57

4.3 Phasenraum und Satz von Liouville 60

5. Spezielle Relativitätstheorie: erster Eindruck 63

5.1 Lorentz-Transformationen 63

5.2 Vierervektoren 68

5.3 Relativistische Mechanik 71

B. Elektrodynamik

6. Grundbegriffe der Elektrodynamik 74

6.1 Ladungen 75

6.2 Maxwell-Gleichungen 77

6.3 Potentiale, Eichfreiheit 81

6.4 Rekapitulation, Beispiele 87

7. Elektromagnetische Wellen / Licht 91

8. Retardierte Potentiale 95

9. Wichtige Anwendungen 101

9.1 Statik, Multipole 101

9.2 Liénard-Wiechert Potentiale 110

9.3 Feldenergie 113

9.4 Strahlung 120

9.5 Beschleunigte Punktladung 124

C. Ausblick

10. Schlussbetrachtung 125

Theoretische Physik I

Klassische Physik von Passantenpunkten + Feldern

(materielle Welt + Beleuchtung)

Mechanik + Elektrodynamik

YS, E6-118, Di 16-18

www.physik.uni-bielefeld.de / ~yorks/theo1 {
Terme
Skript
Übungen

Opa

Vord Mo, Di, Do 10:15-12 (H6/H6/H5)

15 U6 x 5h = 75h = 12.5 U6 x 6h

Ü

Mi 14-16, Do 16-18, Fr 8-10, 10-12, (12-14)²
Do1-249 Do1-249 52-143 Do1-249 F1-125
V3-204

→ Endeilung: Doodle

→ erste (Präsenz-) Ü: diese Woche

→ Ablauf: Di Ü-Skript, 1 U6 bearbeiten,
in Ü 50% antworten + vorrechnen

KL 21.2.2014 9:30-12 (H4)

Nachholtermin 4.4.2014 9:30-12 (H4)

Lit s.a. website

Sem-Apparat

Q sehr willkommen!

0. Inhalt / Vorgeschichte

allg. Prinzipien / Begriffe / Methoden dieser Welt

bilden Grundlage unserer Naturbeschreibung (QM, QFT, ART)

→ Themen:

klass. Mechanik

Newton, Lagrange, Hamilton

Bewegungsgl., Symmetrien, Erhaltungsgrößen, Zwangsbedingungen
em / mehrere / unendlich viele Teilchen

exakte Lösungen, kleine Schwingungen darum

klass. Elektrodynamik

Elektrostatik, Magnetostatik, Wellen

Bewegungsgl., Feldlösung, Greenfunktionen, Feldangabe

Spez. Relativitätstheorie (Ausblick; s. auch Theorie II)

Mechanik, Elektrodynamik

Lorentz-Transf., Vier-Tensoren

→ (relativ.) Mechanik + E-Dynamik = klassische Physik

→ eine vollständige Theorie

→ zwei fundamentale Konzepte

- Teilchen, mit Coord. x und Impuls p , bewegt sich via Newton
- Welle, füllt Raum, gegeben durch \vec{E}, \vec{B} -Felder, ändert sich via Max.

→ schön aufgemischt, einfach, intuitiv, deterministisch, reversibel Dynamik

(→ aber falsch: klass. Physik hat nicht den Schimmer

einer Erklärung für Atom-Existenz,

Kern-Zerfall, Supraleiter, Paarerzeugung, ...)

Newtonsche Axiome

- I Es gibt Inertialsysteme, d.h. Koord.-Systeme in denen ein Massenpunkt, an dem keine Kraft angreift, ruht oder sich gleichförmig bewegt, also $\ddot{x} = \vec{0}$.
- II In Inertialsystemen gilt $\vec{F} = \dot{\vec{p}} \stackrel{m=\text{const.}}{=} m\ddot{x}$
- III Die von zwei Massenpunkten aufeinander ausgeübten Kräfte sind entgegengesetzt gleich: $\vec{F}_{12} = -\vec{F}_{21}$

Beobachtungen

- I ist Spezialfall von II
- II heißt Bewegungsgleichung
- wir betrachten (wenn nicht ausdrücklich anders gesagt) nur konstante Massen. Dann ist $\vec{F} = \dot{\vec{p}} = \frac{d}{dt}(m\dot{x}) = m\ddot{x} + \dot{m}\dot{x} \stackrel{m=\text{const.}}{=} m\ddot{x}$
- II definiert die "träge Masse" m des Massenpunktes. Mit Hilfe von III kann man diese (als Vielfaches einer international festgelegten, normierten Masseneinheit) messen: System von 2 Massen, $m_1\ddot{x}_1 = \vec{F}_{12} = -\vec{F}_{21} = -m_2\ddot{x}_2 \Rightarrow m_1/m_2 = |\ddot{x}_2|/|\ddot{x}_1|$
- In II und vorausgesetzt, dass \vec{F} höher, von \vec{x}, \dot{x} abhängt
- II ist ein System gewöhnlicher Differentialgleichungen zweiter Ordnung (da nur \ddot{x} und nicht \dot{x} etc. vorkommt) \rightarrow mit gegebenen Anfangsbedingungen $\vec{x}(0), \dot{x}(0)$ und Kraft $\vec{F}(\vec{x}, \dot{x})$ gibt es eine eindeutige Lösung.

1. Newtonsche Rechnerei

hier: als kurze Einführung / Übersicht (bekannt aus "Einführung in die Physik I")

1.1 Grundbegriffe, Newtonsche Axiome

einige Begriffe / Notation:

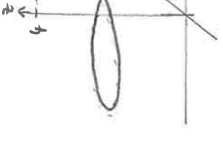
- Raum: 3-dimensional, statisch, euklidisch es gibt kartesische Koordinatensysteme
- Ortsvektor: $\vec{x} = \begin{pmatrix} x_1 \\ x_2 \\ x_3 \end{pmatrix} = \vec{r} \in \mathbb{R}^3$ als Pfeil Ursprung \rightarrow Physik \rightarrow hat Ausgangspunkt ($\vec{0}$), Richtung (\vec{e}_r), Betrag ($r=|\vec{r}|$)
- Zeit: 1-dimensional, universal (überall synchronisiert)
- Massenpunkt: keine Struktur; Masse m
- Bahnkurve: $\vec{x}(t): \mathbb{R} \rightarrow \mathbb{R}^3$
- Geschwindigkeit: $\vec{v} = \dot{\vec{x}} = \frac{d\vec{x}}{dt} = \frac{d}{dt}\vec{x}$; Impuls $\vec{p} = m\vec{v}$
- Beschleunigung: $\vec{a} = \ddot{x} = \frac{d^2\vec{x}}{dt^2}$
- Kraft: $\vec{F} \in \mathbb{R}^3$, ist additiv: $\vec{F} = \vec{F}_1 + \vec{F}_2 + \dots$

1.2 Arbeit, konservative Kraft, Potential

Im Allg., $\vec{F}(\vec{r}(t), \dot{\vec{r}}(t), t)$
 (falls \vec{F} nicht von $\dot{\vec{r}}$ abhängt, nennt man $\vec{F}(\vec{r}(t), t)$ Kraftfeld)
 def Arbeit $dW = \vec{F} \cdot d\vec{r}$ infinit. Ugelement

- Summation entlang einer Kurve C \rightarrow Kurvenintegral
- Parametrisierung von C: oft Zeit t als Par. beschreibe C durch $\vec{r}(t)$ für $t \in [t_1, t_2]$ $\Rightarrow d\vec{r} = \dot{\vec{r}} dt$
 \rightarrow Kurvenintegral ist gewöhnliches Integral, und Arbeit $W = \int_{t_1}^{t_2} dt \vec{v} \cdot \vec{F}$

Bsp (auf zwei verschiedenen Wegen von \vec{F} zulesete Arbeit)



Sei $\vec{F} = \begin{pmatrix} y \\ x^2/2m \\ x+z \end{pmatrix} \frac{N}{m}$
 Gebege Potential von $\vec{F}_1 = \begin{pmatrix} 2m \\ 0 \\ 0 \end{pmatrix}$ und $\vec{F}_2 = \begin{pmatrix} 2m \\ 0 \\ 4m \end{pmatrix}$

(C1) auf Gerade // z-Achse
 $d\vec{r} = \dot{z} \vec{e}_z \Rightarrow W_1 = \int_{\vec{r}_1}^{\vec{r}_2} d\vec{r} \cdot \vec{F} = \int_0^{4m} dz \vec{e}_z \cdot \vec{F} = \int_0^{4m} dz (2m+z) \frac{N}{m} = 16 Nm$

(C2) auf Schraubenlinie im z-Abse

$\vec{r}(\varphi) = \begin{pmatrix} 2m \cdot \cos \varphi \\ 2m \cdot \sin \varphi \\ 4m \cdot \varphi/2\pi \end{pmatrix}$ mit $\varphi \in [0, 2\pi]$ ist Par-Darst v. C2
 $\Rightarrow W_2 = \int_0^{2\pi} d\varphi \frac{d\vec{r}}{d\varphi} \cdot \vec{F} = \int_0^{2\pi} d\varphi \begin{pmatrix} -2m \sin \varphi \\ 2m \cos \varphi \\ 2m/\pi \end{pmatrix} \cdot \begin{pmatrix} 2m \sin \varphi \\ 2m \cos^2 \varphi \\ 2m \cos \varphi + 2m \varphi/\pi \end{pmatrix} \frac{N}{m}$
 $= \int_0^{2\pi} \left[-4 \left(\frac{\varphi}{2} - \frac{1}{4} \sin(2\varphi)\right) + 4 \left(\sin \varphi - \frac{1}{2} \sin^2 \varphi\right) + \frac{2}{\pi} (2.5m\varphi + \frac{\varphi^2}{\pi}) \right] d\varphi = 16 Nm$

($\Rightarrow W_1 \neq W_2$, \vec{F} war nicht konservativ, s.a.)

Bsp (Wurf mit Luftreibung)

wir betrachten einen Massenpunkt im homogenen Schwerefeld mit Luftreibung:

$$\vec{F} = \vec{F}_S + \vec{F}_R = \begin{pmatrix} -m\alpha \vec{v} \\ m_3 \vec{g} \end{pmatrix}, \quad \alpha = \text{konstant}, \quad \text{"Stokes'sche Reibung"}$$

$m_3 =$ "Schwere Masse";
 expt.: $m_3 \ll m$ (da alle Körper gleich fallen) \rightarrow wähle $m_3 = m$
 dann (auf der Erdoberfl.) $|\vec{g}| \approx 9.8 \frac{m}{s^2}$

Bewegungsgl.: $m\ddot{\vec{x}} - \alpha \dot{\vec{x}} = m\ddot{\vec{x}}$
 $\Leftrightarrow \dot{\vec{v}} + \frac{\alpha}{m} \vec{v} = \vec{g}$ lin in h Dgl 1.0.

Lösung:

(1) allg. Lsg der hom. Dgl. (\vec{v}_h)
 $\frac{d\vec{v}_h}{dt} = -\frac{\alpha}{m} \vec{v}_h$, Ansatz $\vec{v}_h = v_h \cdot \vec{e}$
 $\frac{dv_h}{v_h} = -\frac{\alpha}{m} dt \Rightarrow \ln v_h = -\frac{\alpha}{m}(t-t_0) \Leftrightarrow v_h = c e^{-\frac{\alpha}{m}t}$

(2) spez. Lsg der inhom. Dgl. (\vec{v}_s)
 $\dot{\vec{v}}_s + \frac{\alpha}{m} \vec{v}_s = \vec{g}$, versuche $\vec{v}_s = \vec{0}$ $\Rightarrow \vec{v}_s = \frac{m}{\alpha} \vec{g}$ ✓

(3) allg Lsg der inhom Dgl
 $\vec{v} = \vec{v}_h + \vec{v}_s = c \vec{e} e^{-\frac{\alpha}{m}t} + \frac{m}{\alpha} \vec{g}$

(4) Konstanten durch Anfangsbedingung festlegen (bei $t=0$)
 $\vec{v}(0) = c \vec{e} + \frac{m}{\alpha} \vec{g} \Leftrightarrow c \vec{e} = \vec{v}(0) - \frac{m}{\alpha} \vec{g}$
 $\Rightarrow \vec{v}(t) = \vec{v}(0) e^{-\frac{\alpha}{m}t} + \frac{m}{\alpha} \vec{g} (1 - e^{-\frac{\alpha}{m}t})$

Anfangsgeschw. $\vec{v}(0)$
 verschwindet wg Reibung $\vec{v}(t) \rightarrow \frac{m}{\alpha} \vec{g}$
 Endzustand $\vec{v}(t) \rightarrow \frac{m}{\alpha} \vec{g}$
 unabh. v. Anfangsbed.

(5) Bahnkurve: $\vec{x}(t) = \vec{x}(0) + \int_0^t dt' \vec{v}(t') = \dots$

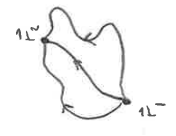
Bsp (von Lorentzkraft verrichtete Arbeit)
bewegte Ladung (q, \vec{v}) im Magnetfeld \vec{B}

→ es wirkt die Lorentzkraft $\vec{F} = q \vec{v} \times \vec{B}$
 ⇒ Arbeit $W = \int_{t_1}^{t_2} dt \vec{v}(t) \cdot \underbrace{(q \vec{v}(t) \times \vec{B}(\vec{r}(t)))}_{=0} = 0$

((CERN: Geschw. geladener T. lassen sich nur mit \vec{E}_z nicht mit \vec{B} -Feldern erhitzen! \vec{B} ändert Richtung, aber nicht Betrag der Geschw.))

Def em zeitunabh. Kraftfeld $\vec{F}(\vec{r})$ heißt konservativ, wenn es ein Potential $V(\vec{r})$ gibt, mit $\vec{F} = -\nabla V$

- $V(\vec{r})$ heißt auch potentielle Energie (s.a.)
- für konservative Kräfte ist die Arbeit wegunabhängig:
 $W = \int_{\vec{r}_1}^{\vec{r}_2} dt \cdot \vec{F}(\vec{r}) = - \int_{\vec{r}_1}^{\vec{r}_2} dt \cdot \nabla V(\vec{r}) = - [V(\vec{r}_2) - V(\vec{r}_1)]$
- $V(\vec{r})$ ist bis auf eine additive Konstante eindeutig.



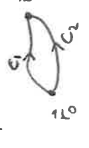
Beh. es gilt \vec{F} konservativ $\Leftrightarrow \nabla \times \vec{F} = \vec{0}$
 (für einfach zusammenhängende Gebiete, d.h. solche in denen sich jede geschlossene Kurve auf einem Punkt zusammenziehen lässt.)



Beweis: " ⇒ " : $\vec{F} = -\nabla V \Rightarrow -\nabla \times (\nabla V) = 0$
 ((denn $(\nabla \times (\nabla V))^i = \sum_{j,k} \epsilon^{ijk} \partial_j \partial_k V = 0$))
symmetrisch, antikommutativ

"⇐": sei \vec{r}_0 beliebig, def $V(\vec{r}) = - \int_{\vec{r}_0}^{\vec{r}} d\vec{s} \cdot \vec{F}(\vec{s})$
 diese Def. ist wegunabhängig, denn:

$\int_{C_1} d\vec{s} \cdot \vec{F} - \int_{C_2} d\vec{s} \cdot \vec{F} = \oint_C d\vec{s} \cdot \vec{F} = \int_A d\vec{A} \cdot \nabla \times \vec{F} = 0$
 (da einfach zus.häng.)



⇒ also $\int_{C_1} d\vec{s} \cdot \vec{F} = \int_{C_2} d\vec{s} \cdot \vec{F}$

wähle nun $C_1 = \int_{\vec{r}_0}^{\vec{r}+\vec{e}} d\vec{s} \cdot \vec{F}$, $C_2 = \int_{\vec{r}_0}^{\vec{r}} d\vec{s} \cdot \vec{F}$

dann $(C_1) \int_{\vec{r}_0}^{\vec{r}+\vec{e}} d\vec{s} \cdot \vec{F} = \vec{e} \cdot \vec{F}(\vec{r}) + O(\vec{e}^2)$

$(C_2) - \int_{\vec{r}_0}^{\vec{r}} d\vec{s} \cdot \vec{F} + \int_{\vec{r}_0}^{\vec{r}+\vec{e}} d\vec{s} \cdot \vec{F} = V(\vec{r}) - V(\vec{r}+\vec{e}) = -\vec{e} \cdot \nabla V + O(\vec{e}^2)$

dies gilt für beliebige $\vec{e} \Rightarrow \vec{F} = -\nabla V$ qed

Bsp (Arbeit von konservativen Kräften) s. Ü5, Ü6

- Gravitationskraft, Coulombkraft, Federkraft: konservativ
- Reibungskraft nicht konservativ: Reibungsarbeit hängt von Länge des Wegs ab (s.a. S.5, S.6)

Def kinetische Energie $T = \frac{m}{2} \dot{\vec{r}}^2 = \frac{m}{2} \dot{\vec{r}}^2$ ($m = \text{const}$)

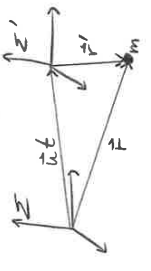
damit ist $\int_{t_1}^{t_2} dt \dot{\vec{r}} \cdot \ddot{\vec{r}} = \int_{t_1}^{t_2} dt \dot{\vec{r}}(t) \cdot m \ddot{\vec{r}} = \int_{t_1}^{t_2} dt \partial_t T = T(t_2) - T(t_1)$
 (Newton)
 anderss, für konservative Kräfte $= - \int_{\vec{r}_1}^{\vec{r}_2} d\vec{r} \cdot \nabla V = V(\vec{r}_1) - V(\vec{r}_2)$

⇒ $T_1 + V_1 = T_2 + V_2 = E$ Energieerhaltungssatz
 für konservative Kräfte ist die Summe aus kinetischer und potentieller Energie konstant!

1.3 Beschleunigte Bezugssysteme / Scheinkräfte

Newton ($\vec{F} = \dot{\vec{p}}$) gilt in (allen) Inertialsystemen, vgl. S.4; ist invariant unter Galileitransformationen ("Boost")

Σ, Σ' bewegen sich mit konstanter Geschw. \vec{u} relativ zueinander, wähle $\Sigma = \Sigma'$ bei $t=0$

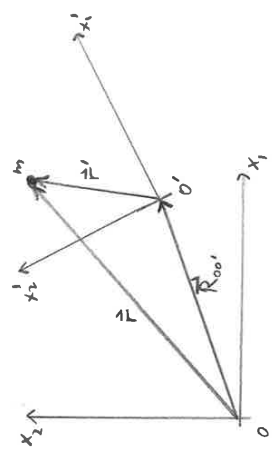


Koordinaten des Massenpunktes m: $\vec{r}(t) = \vec{u}t + \vec{r}'(t)$

$\Rightarrow \ddot{\vec{r}}(t) = \ddot{\vec{r}}'(t)$, Newton invariant gegl

\rightarrow betrachte nun Koord.-Trafo, die keine Galileitrafo ist.

Σ sei Inertialsystem, Σ' sei beschleunigtes Bezugssystem



Transformationen: Bewegung des Ursprungs O', \vec{R}_{00}

Rotationen: System Σ' rotiert um seinen Ursprung O' , mit Winkelgeschwindigkeit $\vec{\omega}$

\rightarrow wie lautet die Bwgl. in Σ' , also für \vec{r}' ?

laut Abb.: $\vec{r}(t) = \vec{R}_{00'}(t) + \vec{r}'(t)$ in Vektor-Form

bzw. $(\sum_{i=1}^3 x_i(t) \vec{e}_i = \vec{R}_{00'}(t) + (\sum_{i=1}^3 x'_i(t) \vec{e}'_i(t))$ in Komponenten

$\partial_t \Rightarrow \dot{x}_i \vec{e}_i = \dot{\vec{R}}_{00'} + \dot{x}'_i \vec{e}'_i + x'_i \dot{\vec{e}}'_i$ (hier mit Einstein'scher Summenkonvention)

z.B. Σ' rotiert um x_3 -Achse, $\vec{\omega} = \begin{pmatrix} 0 \\ 0 \\ \omega \end{pmatrix}$

dann ist $\dot{\vec{e}}'_i(t) = \begin{pmatrix} \cos(\omega t) \\ \sin(\omega t) \\ 0 \end{pmatrix}$

$\Rightarrow \dot{\vec{e}}'_i(t) = \begin{pmatrix} -\omega \sin(\omega t) \\ \omega \cos(\omega t) \\ 0 \end{pmatrix} = \begin{pmatrix} 0 \\ 0 \\ \omega \end{pmatrix} \times \begin{pmatrix} \cos \\ \sin \\ 0 \end{pmatrix} = \vec{\omega} \times \vec{e}'_i(t)$

allg. gilt $\dot{\vec{e}}'_i = \vec{\omega} \times \vec{e}'_i$

also $\dot{x}_i \vec{e}_i = \dot{\vec{R}}_{00'} + \dot{x}'_i \vec{e}'_i + \vec{\omega} \times x'_i \vec{e}'_i$

bzw. $\dot{\vec{r}} = \dot{\vec{R}}_{00'} + \dot{\vec{r}}' + \vec{\omega} \times \vec{r}'$

\vec{v} in Σ Relativ- \vec{v} in Σ' gesehen der Ursprünge in Σ gemessene Geschw. eines Stars mit Σ' verbundenen Punktes

$\partial_t \Rightarrow \dot{x}_i \vec{e}_i = \dot{\vec{R}}_{00'} + \dot{x}'_i \vec{e}'_i + \dot{x}'_i \dot{\vec{e}}'_i + \vec{\omega} \times x'_i \vec{e}'_i + x'_i \dot{\vec{\omega}} \times \vec{e}'_i + \vec{\omega} \times \dot{x}'_i \vec{e}'_i$
 $= 2 \vec{\omega} \times x'_i \vec{e}'_i$

bzw. $\ddot{\vec{r}} = \ddot{\vec{R}}_{00'} + \ddot{\vec{r}}' + 2 \vec{\omega} \times \dot{\vec{r}}' + \dot{\vec{\omega}} \times (\vec{\omega} \times \vec{r}') + \dot{\vec{\omega}} \times \vec{r}'$
 $\vec{F} = \vec{F}'_{in}$ (nach Newton im Inertialsystem Σ)

$$m \ddot{\vec{r}} = \vec{F} - m \ddot{\vec{R}}_{00'} - m \dot{\vec{\omega}} \times (\vec{\omega} \times \vec{r}') - 2m \vec{\omega} \times \dot{\vec{r}}' - m \dot{\vec{\omega}} \times \vec{r}'$$

Bewegungsgleichung im beschleunigten ($\vec{R}_{00'}, \vec{\omega}$) Bezugssystem

Bem.: • Bwgl. in Σ' hat Form wie in Σ , aber haben \vec{F} + "Scheinkräfte" als Ursache auf RHS

• $m \dot{\vec{r}}' \neq 0$, auch wenn $\vec{F} = \vec{0} \Rightarrow \Sigma'$ kein Inertialsystem

• ① von Beschleunigung des Ursprungs \rightarrow z.B. spürbar bei Flugzeugstart etc.

• ② heisst Zentrifugalkraft (auch: Fliehkraft); ist $\perp \vec{v}$ \rightarrow Kurvenfahrt, Kraft nach außen

• ③ heisst Corioliskraft; geschwindigkeitsabhängig; $\perp \vec{v}, \vec{\omega}$ \rightarrow wichtig für Meteorologie, Artillerie, Fluiddynamik, ...
 ↳ Passatwinde, Unbestände

• ④ von nichtgleichförmiger Rotation eher unimportant, da meist $\dot{\vec{\omega}} = \vec{0}$

U8 \rightarrow

1.4 Mehrteilchensysteme; Erhaltungsgrößen

- hier: Systeme mit $N \geq 2$ Masspunkten (s. auch 'starrer Körper' in §3)
- z.B. Atome eines Gases durch Federn gekoppelte Massen Planeten im Sonnensystem
- je mehr Erhaltungsgrößen (vgl. §1.2, S.8) bekannt sind, desto genauer kennt man die System-Dynamik (auch ohne explizite Lsg der Bwgl!)

• Impulserhaltung

$N=1: (\dot{\vec{p}} = \dot{m\vec{v}}), \dot{\vec{p}} = \vec{F}$ ↙ ($\vec{F}_{ii} = 0$)

N Teilchen: Kraft auf i -tes T. $\vec{F}_i = \vec{F}_i^{ext} + \sum_{j=1}^N \vec{F}_{ij}$

externe Kräfte (z.B. $m_i \vec{g}$) interne Kräfte

→ $\dot{\vec{p}} = \sum_{i=1}^N \dot{\vec{p}}_i = \sum_{i=1}^N \vec{F}_i^{ext} + \underbrace{\sum_{i=1}^N \sum_{j=1}^N \vec{F}_{ij}}_{= \frac{1}{2} \sum_{i,j=1}^N (\vec{F}_{ij} + \vec{F}_{ji}) = 0}$ (Newt. III: $\vec{F}_{ij} = -\vec{F}_{ji}$)

→ Gesamtimpuls $\vec{p} \equiv \sum_{i=1}^N \vec{p}_i$ ist erhalten, falls keine externen Kräfte wirken.

bzw. mit Gesamtmasse $M \equiv \sum_{i=1}^N m_i$, Schwerpunkt $\vec{R} \equiv \frac{1}{M} \sum_{i=1}^N m_i \vec{r}_i$

→ $M \ddot{\vec{R}} = \sum_{i=1}^N \vec{F}_i^{ext} \equiv \vec{F}^{ext}$ ($m_i = \text{const.}$)

→ Schwerpunkt bewegt sich wie ein Teilchen mit Masse M , an dem alle externen Kräfte angreifen (Schwerpunktsatz)

• Drehimpulserhaltung

$N=1: (\vec{L} = \vec{r} \times \vec{p} = m \vec{r} \times \dot{\vec{r}})$

$\dot{\vec{L}} = m \dot{\vec{r}} \times \dot{\vec{r}} + m \vec{r} \times \ddot{\vec{r}} = \vec{0} + \vec{r} \times \vec{F}$ Drehmoment

N Teilchen: $\vec{L} \equiv \sum_{i=1}^N \vec{r}_i \times \vec{p}_i = \sum_{i=1}^N m_i \vec{r}_i \times \dot{\vec{r}}_i$ Gesamt Drehimpuls

→ $\dot{\vec{L}} = \sum_{i=1}^N m_i \dot{\vec{r}}_i \times \dot{\vec{r}}_i + \sum_{i=1}^N \vec{r}_i \times \vec{F}_i^{(ext)} = \sum_{i=1}^N \vec{r}_i \times \vec{F}_i^{(ext)} + \sum_{i,j=1}^N \vec{r}_i \times \vec{F}_{ij}$

$= \sum_{i=1}^N \vec{r}_i \times \vec{F}_i^{ext} + \sum_{i=1}^N \sum_{j=1}^N \vec{r}_i \times \vec{F}_{ij}$

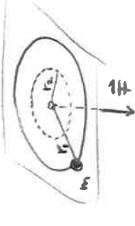
Drehmoment der externen Kräfte

$\frac{1}{2} \sum_{i,j=1}^N (\vec{r}_i \times \vec{F}_{ij} + \vec{r}_j \times \vec{F}_{ji})$
 $= \frac{1}{2} \sum_{i,j=1}^N (\vec{r}_i - \vec{r}_j) \times \vec{F}_{ij}$
 $= \vec{0}$ ← messbar; da $\vec{F}_{ij} \parallel (\vec{r}_i - \vec{r}_j)$

z.B. für Schwerkraft, Coulomb, ... nicht für z.B. Reibung...

→ Gesamt Drehimpuls $\vec{L} \equiv \sum_{i=1}^N \vec{L}_i$ ist erhalten, falls keine externen Kräfte wirken (und interne Kräfte \parallel Verbindungsvektoren)

Bem.: • Drehimpuls (und Drehmoment) hängen von Wahl des Coord.-Ursprungs ab (da $\sim \vec{r}_i$); die Gln. oben gelten natürlich für alle Ursprünge bzw. Inertialsysteme.



Bsp.:

T. mit Masse m , rotiert mit ω auf Tischplatte, Radius r_1 (ideal, reibungsfrei...)

(nach Ziehen am Faden:) Geschw. v_2 bei Radius r_2 ?

Lsg: Ursprung in Mitte $\Rightarrow \vec{F}_{Faden} \parallel$ Ortsvektor $\vec{r} \Rightarrow$ kein Drehmoment
 also $\dot{\vec{L}} = \vec{0}$, $L = |\vec{L}| = \text{const} = m r_1 v_1 = m r_2 v_2$

$\Leftrightarrow v_2 = \frac{r_1}{r_2} v_1$

($v_2 > v_1$, E-Gewinn?! ja: Ziehen am Faden verrücktet Abt.)

Ortsvektor des N-ten T. im Inertialsystem (3)

Def: eine Funktion $f(\vec{r}_1, \vec{r}_2, \dots, \vec{v}_1, \vec{v}_2, \dots, \dot{\varphi}, \dot{\psi}, \dots, t)$

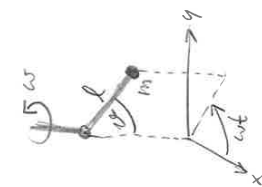
heißt Erhaltungsgröße (bzw. 'Konstante der Bewegung'), wenn sie für alle $\vec{r}_i(t)$ der Bewegung konstant ist:

$$\frac{d}{dt} f(\vec{r}_1, \dots, \vec{r}_N, \dot{\vec{r}}_1, \dots, \dot{\vec{r}}_N, \dot{\varphi}, \dot{\psi}, \dots, t) = 0$$

(Bsp: reibungsfreier Schwingen auf $E(\vec{r}, \dot{\vec{r}}) = T + V = \frac{m}{2} \dot{\vec{r}}^2 + mgz$)

→ jede Erhaltungsgröße erleichtert das Lösen der Bewegung (verringert Anzahl der nötigen Integrationen um eins)

Bsp: Pendel (m, l) auf angetriebener Achse (ω konstant)



(a) Bzgl. aufstellen:

im mitrotierenden System Σ' ,

$$\vec{r}' = l(\sin\varphi, 0, -\cos\varphi)$$

$$\Rightarrow \dot{\vec{r}}' = l\dot{\varphi}(c, 0, s), \quad \ddot{\vec{r}}' = l\ddot{\varphi}(s, 0, -c)$$

Beschleunigung in tang. Richtung

→ tangentielle Komp. der Gewichtskraft: $-mg \sin\varphi$

→ Zentrifugalkraft $-m\vec{v}' \times (\vec{\omega} \times \vec{r}') = ml\dot{\varphi}^2(\sin\varphi, 0, 0)$

(vgl. S.13, S.10) → $\vec{a} = (0, 0, \omega)$

hat tang. Komp. $+ ml\omega^2 \sin\varphi \cos\varphi$

$$\Rightarrow ml\ddot{\varphi} = -mg \sin\varphi + ml\omega^2 \sin\varphi \cos\varphi$$

(b) Erhaltungsgröße (oft angewandter Trick: Bzgl. * (Funktion)°):

Bzgl. * $l\dot{\varphi}$: $ml\dot{\varphi}^2 \dot{\varphi} = -mg l \dot{\varphi}^2 \sin\varphi + ml\omega^2 \dot{\varphi}^2 \sin\varphi \cos\varphi$

$$\Leftrightarrow \frac{d}{dt} \left(\frac{m}{2} (l\dot{\varphi})^2 - \frac{m}{2} (l\omega \sin\varphi)^2 - mgl \cos\varphi \right) = 0$$

$$\Leftrightarrow f(\varphi, \dot{\varphi}) = \text{Erhaltungsgröße} = \text{const} \equiv C$$

(c) Bzgl. lösen durch eine Integration:

$$\dot{\varphi} = \frac{d\varphi}{dt} = \pm \frac{1}{l} \sqrt{\frac{2C}{m} + (l\omega \sin\varphi)^2 + 2gl \cos\varphi}$$

$$\Leftrightarrow t = \pm l \int_{\varphi_0}^{\varphi(t)} d\varphi' \left(\frac{2C}{m} + (l\omega \sin\varphi')^2 + 2gl \cos\varphi' \right)^{-1/2}$$

((hier Stammfkt nicht als elementare Fkt darstellbar))

Spezialfall: $N=2$

betrachte 2 T. mit Ortsvektoren $\vec{r}_i, i=1,2$ ohne externe Kräfte ("abgeschlossenes System")

Bzgl: $m_1 \ddot{\vec{r}}_1 = \vec{F}_{2,1}$

$$m_2 \ddot{\vec{r}}_2 = \vec{F}_{1,2} = -\vec{F}_{2,1}$$

$$\text{Schwerpunkt } \vec{R} = \frac{m_1 \vec{r}_1 + m_2 \vec{r}_2}{m_1 + m_2}$$

$$\text{Relativkoord. } \vec{r} = \vec{r}_1 - \vec{r}_2$$

$$\Leftrightarrow \vec{F}_1 = \vec{R} + \frac{m_2}{m_1+m_2} \vec{r}, \quad \vec{F}_2 = \vec{R} - \frac{m_1}{m_1+m_2} \vec{r}$$

$$\Rightarrow \ddot{\vec{R}} = \frac{m_1 \ddot{\vec{r}}_1 + m_2 \ddot{\vec{r}}_2}{m_1 + m_2} = \frac{\vec{F}_{2,1} - \vec{F}_{2,1}}{m_1 + m_2} = \vec{0} \quad (\text{Impulserhaltung!})$$

$$\ddot{\vec{r}} = \ddot{\vec{r}}_1 - \ddot{\vec{r}}_2 = \left(\frac{1}{m_1} + \frac{1}{m_2} \right) \vec{F}_{2,1} = \frac{m_1 + m_2}{m_1 m_2} \vec{F}_{2,1}$$

$\vec{F}_{2,1}$ = reduzierte Masse μ

• wenn $\vec{F}_{2,1}$ nur von \vec{r} abhängt, folgt die Bzgl.

$$\mu \dot{\vec{r}} = \vec{F}_{2,1}(\vec{r})$$

große Vereinfachung: 2-Teilchen-System zurückgeführt auf Bewegung eines Teilchens, mit Masse μ .

Bsp: U9

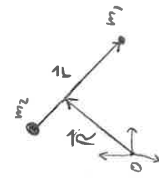
(oft ist $m_2 \gg m_1$; dann $\mu \approx m_1, \vec{R} \approx \vec{r}_2, \vec{r} \approx \vec{r}_1 - \vec{r}_2$, d.h. Partikel 2 ruht auf Position \vec{R} .)

• wenn zusätzlich $\vec{F}_{2,1}(\vec{r}) \parallel \vec{r}$ ist (Gravitation / Coulomb V, \dots), spricht man von einem Zentralkraftproblem.

→ schreibe $\vec{F}_{2,1}(\vec{r}) = f(r)\vec{r}, r=|\vec{r}|$ (vgl. U5)

→ $\vec{L} = \mu \vec{r} \times \dot{\vec{r}}$ bleibt erhalten (da $\vec{F} \parallel \vec{r}$, s. S.12)

→ Bewegung findet in Ebene $\perp \vec{L}$ statt ((da $\dot{\vec{r}} \cdot \vec{L} \sim \dot{\vec{r}} \cdot (\vec{r} \times \dot{\vec{r}}) = 0$))



- benutze Erhaltungsgrößen zur Bestimmung der Bahnkurve $r(\varphi)$
- s. auch Drehimpulserhaltung $\mu r^2 \dot{\varphi} = L = \text{const.}$

U10 Energieerhaltung $T + V = \frac{1}{2} \dot{r}^2 + V(r) = \frac{1}{2} (\dot{r}^2 + r^2 \dot{\varphi}^2) + V(r) = E = \text{const.}$

$\Rightarrow E = \frac{1}{2} \dot{r}^2 + \frac{L^2}{2\mu r^2} + V(r) = V_{\text{eff}}(r)$ effektives Potential

$\Rightarrow \dot{r} = \pm \sqrt{\frac{2}{\mu} [E - \frac{L^2}{2\mu r^2} - V(r)]}$

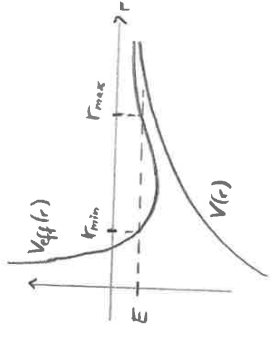
$\rightarrow [\dots] \geq 0$

\rightarrow Umkehrpunkte folgen aus "":

$\dot{r} = 0 \Leftrightarrow E = V_{\text{eff}}(r)$

\rightarrow unterscheid 2 Arten von Bewegungen:

- "gebunden": $r_{\text{max}} < \infty$ ($E < 0$)
- "ungebunden": $r_{\text{max}} = \infty$ ($E > 0$)



\rightarrow Drehimpulserhaltung für $dt \rightarrow d\varphi$ benutzen:

$\dot{r} = \frac{dr}{dt} = \frac{dr}{d\varphi} \frac{d\varphi}{dt} = \frac{dr}{d\varphi} \frac{L}{\mu r^2}$

$\Rightarrow \frac{dr}{d\varphi} = \frac{\mu r^2}{L} \dot{r} = \frac{r^2}{L} \sqrt{2\mu [E - V(r)] - \frac{L^2}{r^2}}$

(V2. für 'auslaufende Bewegung', d.h. $\dot{r} > 0$)

$\Leftrightarrow d\varphi = \frac{dr L}{r^2 \sqrt{2\mu [E - V(r)] - \frac{L^2}{r^2}}}$

$\Leftrightarrow \varphi - \varphi_0 = \int_{r_0}^r \frac{dr L}{r^2 \sqrt{2\mu [E - V(r)] - \frac{L^2}{r^2}}}$ ($r_0 \geq r_{\text{min}}, r \leq r_{\text{max}}$)

1.5 Anwendung: Kepler

(als wichtigstes Bsp. eines Zentralkraftproblems) \swarrow für $V = -\frac{\gamma}{r}$

Kepler-Problem: $\vec{F} = -\vec{\nabla} V(r)$ mit $V(r) = -\gamma \frac{m_1 m_2}{r}$ (Gravitationspot.)

((Newton'sche Gravitationskonstante $\gamma = 6.673 \dots \cdot 10^{-11} \frac{\text{m}^3}{\text{kg s}^2}$))

dies ist - Zentralkraft \Rightarrow Drehimpulserhaltung

- konservative Kraft \Rightarrow Energieerhaltung

\rightarrow können (drei) Kepler'sche Gesetze aus Erhaltungsgrößen herleiten.

• geeignete Koordinaten: Zylinderkoordin.

$\vec{L} = \mu \vec{r} \times \dot{\vec{r}}$

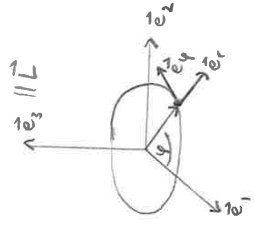
$\Rightarrow \dot{r} \perp \vec{L}$ und $\dot{\varphi} \perp \vec{L}$

$\rightarrow \vec{r}(t)$ bleibt ($\forall t$) in Ebene $\perp \vec{L}$

\rightarrow Bahnkurve läuft sich durch Zylinderkoordin.

Parameterisieren

$\left(\begin{array}{l} \vec{e}_r = \cos \varphi \vec{e}_1 + \sin \varphi \vec{e}_2 \\ \vec{e}_\varphi = -\sin \varphi \vec{e}_1 + \cos \varphi \vec{e}_2 \end{array} \right. \left. \begin{array}{l} \vec{e}_r \cdot \vec{e}_\varphi = 0 \\ \dot{\vec{e}}_r = \dot{\varphi} (-\sin \varphi \vec{e}_1 + \cos \varphi \vec{e}_2) \\ \quad = \dot{\varphi} \vec{e}_\varphi \end{array} \right)$

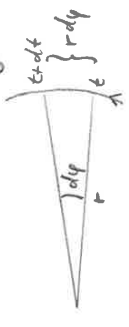


$\vec{r}(t) = r(t) \vec{e}_r(t) = r(t) \begin{pmatrix} \cos \varphi(t) \\ \sin \varphi(t) \\ 0 \end{pmatrix}$

• mit $\vec{r} = r \vec{e}_r$, $\dot{\vec{r}} = \dot{r} \vec{e}_r + r \dot{\vec{e}}_r = \dot{r} \vec{e}_r + r \dot{\varphi} \vec{e}_\varphi$

wird $\vec{L} = \mu \vec{r} \times \dot{\vec{r}} = \mu r \dot{\varphi} r \vec{e}_r \times \vec{e}_r + \mu r \dot{\varphi} r \vec{e}_r \times \vec{e}_\varphi = \mu r^2 \dot{\varphi} \vec{e}_3$

Drehimpulserhaltung $\Rightarrow L = |\vec{L}| = \mu r^2 \dot{\varphi} = \text{const.}$



überstrichenes Flächenelement:

$dA = \frac{1}{2} r^2 d\varphi = \frac{r^2}{2} \dot{\varphi} dt = \frac{L}{2\mu} dt$

$\Rightarrow \frac{dA}{dt} = \frac{L}{2\mu} = \text{const.}$

"II" \rightarrow dies ist der Kepler'sche Flächensatz: Ortsvektor überstricht in gleichem Zeitintervall gleiche Flächen. $\frac{dA}{dt}$

- müssen nun $V(r)$ spezifizieren, um Idr' zu lösen

Sei $V(r) = -\frac{\mu}{r}$

($\mu = \gamma m_1 m_2 > 0$ für Gravitationskraft; $\mu < 0$ möglich, für abstoßende Kraft, z.B. Coulomb)

$\Rightarrow \varphi - \varphi_0 = \int_{r_0}^r \frac{dr'}{r'^2} L \left(2\mu (E + \frac{\mu}{r'}) - L^2 \frac{1}{r'^2} \right)^{-\frac{1}{2}}$

neue Integrationsvariable: $u = \frac{1}{r}$, $\Rightarrow du = -\frac{dr'}{r'^2}$

$-\int_{u_0}^u du L \left(2\mu (E + \mu u) - L^2 u^2 \right)^{-\frac{1}{2}}$

$-\int_{u_0}^u du \left(\frac{2\mu E}{L^2} + 2\frac{\mu}{L^2} u - u^2 \right)^{-\frac{1}{2}}$

Integral hat elementare Lsg; choice Brennstern/Nachbrennen/oder:

$\int \frac{dx}{\sqrt{a+2bx-x^2}} = \int \frac{dx}{\sqrt{a+b^2-(x-b)^2}} = \frac{1}{\sqrt{a+b^2}} \int \frac{dx}{\sqrt{1-\left(\frac{x-b}{\sqrt{a+b^2}}\right)^2}}$

$= \int \frac{dy}{\sqrt{1-y^2}} = c + \arcsin(y) = \varphi, dy = \frac{dx}{\sqrt{a+b^2}}$

$= \arccos \left(\frac{\frac{1}{r} - \frac{\mu}{L^2}}{\sqrt{\frac{2\mu E}{L^2} + \left(\frac{\mu}{L^2}\right)^2}} \right) \Big|_{r=r_0}$

mit $\varphi = \varphi_0$ bei $r = r_0 \Rightarrow \cos \varphi = \frac{\frac{1}{r} - \frac{\mu}{L^2}}{\sqrt{\frac{2\mu E}{L^2} + \left(\frac{\mu}{L^2}\right)^2}}$

Zur Vereinfachung: Def $e = \frac{\sqrt{1 + \frac{2LE^2}{\mu \alpha^2}}}{\frac{\mu \alpha}{L^2}}$ Exzentrizität $p = \frac{L^2}{\mu \alpha}$

$\Rightarrow e \cos \varphi = \frac{r}{p} - 1 \Leftrightarrow r(\varphi) = \frac{p}{1 + e \cos \varphi}$ Bahnkurve

- Bem.: • haben geometrisch Form der Bahn $r(\varphi)$ erhalten; explizite Lsg $r(t), \varphi(t)$ komplexiert [Goldstein/Booh/Saifko]
- $r(\varphi)$ sind Kegelschnitte: Kreis/Ellipse/Parabel/Hyperbel für $e=0/\alpha e < 1/e=1/e > 1$
- haben geschlossene Bahnen erhalten; Spezifität des Grav-Pot. (für andere $V(r)$ i.A. ∞)

- Analyse der Bahnkurve

z.B. $E < 0 \Rightarrow e < 1$

\rightarrow Planetenbahnen sind

Ellipsen mit Sonne in einem Brennpunkt ($r=0$)

\rightarrow Perihelidistanz $= r_{min} = \frac{p}{1+e}$

Aphelidistanz $= r_{max} = \frac{p}{1-e}$

große Halbachse $a = \frac{r_{max} + r_{min}}{2} = \frac{p}{1-e^2}$

kleine Halbachse b , in kartes. Koord $\rightarrow x$

oben $0 = \partial_\varphi \varphi = \frac{e + \cos \varphi}{(1 + e \cos \varphi)^2} \Leftrightarrow \cos \varphi = -e \Leftrightarrow b = \frac{p \sqrt{1-e^2}}{1-e^2}$

\rightarrow für die Umlaufzeit T gilt (S.15: $\frac{df}{dt} = \frac{L}{2\mu}$)

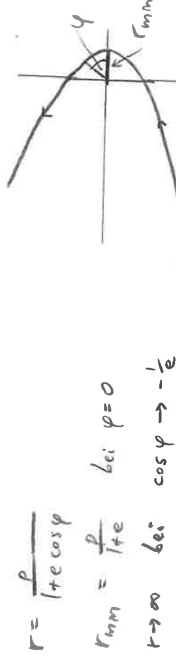
$T = \frac{2\mu f}{L}$, wobei $f = \text{Flächeninhalt Ellipse} = \pi a b$

$\Rightarrow T^2 = \frac{4\mu^2 f^2}{L^2} = \frac{4\mu^2 \pi^2 a^3}{L^2} = \frac{4\mu^2}{\alpha} a^3 = \frac{4\pi^2}{\gamma(m_1+m_2)} a^3$

\rightarrow Quadrate der Umlaufzeiten von Planeten sind proportional zur dritten Potenz der großen Bahnhalbachse

- ungebundene Bewegung

$\rightarrow \alpha > 0$ (anziehende Kraft), $E > 0 \Rightarrow e \geq 1$



$r = \frac{p}{1 + e \cos \varphi}$

$r_{min} = \frac{p}{1+e}$ bei $\varphi=0$

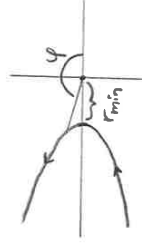
$r \rightarrow \infty$ bei $\cos \varphi \rightarrow -\frac{1}{e}$

$\rightarrow \alpha < 0$ (abstoßende Kraft), Lösung wie oben,

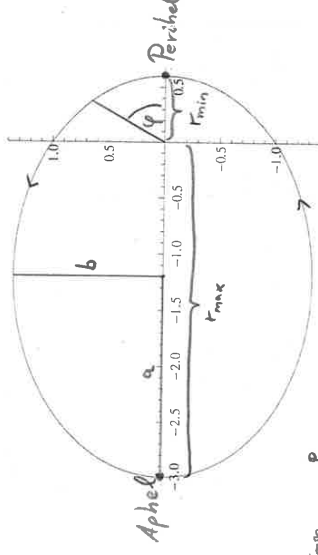
mit $p = \frac{L^2}{\mu \alpha} < 0$; $p = -|p|, E > 0 \Rightarrow e > 1$

$r = \frac{-|p|}{1 + e \cos \varphi}$

$r_{min} = \frac{-|p|}{1-e} > 0$ bei $\varphi = \pi$



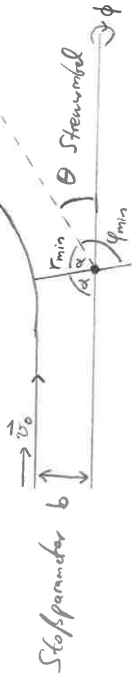
PolarPlot $(1 + \sqrt{2/3} \cos[\phi])$, {phi, 0, 2 Pi.}



1.6 Streuung im Zentralkraftfeld

historisch: Planetenbahnen \rightarrow Interesse an Zentralkräften
 heute: wichtig auch wenn Planeten \rightarrow Teilchen: "Streuung"
 z.B. Atome (aber: Quasikristalle?!)
 \rightarrow klass. Missagen bleiben in guter Näherung richtig
 \rightarrow Beschreibung von Streuung direkt; hier "Spitze Kerne"

• betrachte ungebundene Bewegung (§1.5, S.18)
 ((anziehende Kraft, $E > 0$; abstoßende Kraft, $E > 0$))
 aus Sicht des "Kometen"



\rightarrow Stöße bzw. Streuung-

wichtig z.B. in Teilchenphysik: Positron-Proton-Streuung etc.
 \rightarrow Strukturuntersuchung!

\rightarrow aus Skizze: $2\alpha + \theta = \pi$, $\alpha + \varphi_{min} = \pi \Rightarrow \theta = 2\varphi_{min} - \pi$

\rightarrow Annahme: $\lim_{r \rightarrow \infty} V(r) = 0$

$\Rightarrow E = T + V = \frac{1}{2} \mu v_0^2$, $L = \mu b v_0 = \int_{r_0}^{\infty} \frac{dL}{r^2} \mu v_0 \sqrt{2\mu[E - V(r)] - \frac{L^2}{r^2}}$

damit wird (allg. Lsg §1.5, S.16: $\varphi - \varphi_0 = \int_{r_0}^{\infty} \frac{d\varphi}{r^2} \mu v_0 \sqrt{2\mu[E - V(r)] - \frac{L^2}{r^2}}$)

$$\varphi < 0 \rightarrow -(\varphi_{min} - \pi) = \int_{r_{min}}^{\infty} \frac{dr}{r^2} \mu b v_0 \sqrt{2\mu[\frac{1}{2} v_0^2 - V(r)] - (\mu b v_0)^2}$$

$$\varphi(r=0) = \varphi_{min}$$

$$\varphi(r_{min}) = \pi$$

$$\int_{r_{min}}^{\infty} \frac{dr}{r^2} \sqrt{1 - \frac{2V(r)}{\mu v_0^2} - \frac{b^2}{r^2}}$$

r_{min} aus $\frac{2V(r_{min})}{\mu v_0^2} + \frac{b^2}{r_{min}^2} = 1$

• definiere einen Streu- oder Wirkungsquerschnitt

Anfangszustand: z.B. Teilchenstrahl in Kern / Teilchenphysik



\rightarrow alle T. haben gleichen Impuls \vec{p}
 \rightarrow T. sind gleichförmig über Querschnitt A verteilt

Endzustand: ∇ Detektor



\rightarrow # der gestreuten Teilchen

\rightarrow # der Teilchen im Strahl

def. Wirkungsquerschnitt σ : $N_S = \frac{\sigma}{A} N_{ein}$

$\Rightarrow \sigma = \frac{N_S}{N_{ein}/A} = \frac{(N_S_{gest})}{(N_{ein}/A_{gest})} = \frac{\text{Ereignisrate}}{\text{Teilchenstrahldichte}}$

\hookrightarrow oft "Luminosität"

\rightarrow zähle (Detektor) gestreute Teilchen mit $\theta_1 < \theta < \theta_2$,

schreibe $\sigma = \int_{\theta_1}^{\theta_2} d\theta \left(\frac{d\sigma}{d\theta}\right) \leftarrow$ "differentialer Wirkungsquerschnitt"

(können bei ϕ -Abhängigkeit noch $\frac{d\sigma}{d\Omega}$ definieren, $d\Omega = d\phi d\theta \sin\theta$)

• für $E, V(r)$ gegeben $\Rightarrow \theta$ ist Funktion von b (S.5.19)

$(\theta = 2\varphi_{min} - \pi = \pi - 2(\pi - \varphi_{min}) = \pi - 2 \int_{r_{min}}^{\infty} \frac{dr}{r^2} \mu v_0 \sqrt{2\mu[E - V(r)] - \frac{L^2}{r^2}}$, r_{min} aus $V(r=0)$)



alle T. mit Stoßparameter zwischen $b, b + db$
 werden in den Winkelbereich zwischen $\theta, \theta + d\theta$ gestreut.



Flächenelement $d\sigma = 2\pi b db = 2\pi b \left| \frac{db}{d\theta} \right| d\theta$

$\Leftrightarrow \frac{d\sigma}{d\theta} = 2\pi b \left| \frac{db}{d\theta} \right|$

Bsp.: (Streuung harter Kugeln)

Sei $V(r) = \begin{cases} \infty & \text{für } r < R \\ 0 & \text{für } r > R \end{cases}$

(z.B. zwei Billiardkugeln, Masse m , Radius $a \Rightarrow \mu = \frac{m}{2}, R = 2a$)
 betrachte $b < R$ (da keine Streuung / Stoße bei $b > R$)

$r_{min} = R$:

$\Rightarrow \theta = \pi - 2 \int_R^\infty \frac{dr}{r^2} \frac{b}{\sqrt{1 - \frac{b^2}{r^2}}}$ Subst: $u = \frac{b}{r}, du = -\frac{b dr}{r^2}$
 $= \pi - 2 \int_{\frac{b}{R}}^0 \frac{du}{\sqrt{1 - u^2}} = \pi - 2 \left[\arccos u \right]_{\frac{b}{R}}^0 = \pi - 2 \left[\frac{\pi}{2} + 2 \arccos \frac{b}{R} \right]$ (s. Bsp 5.17)

$\Rightarrow b(\theta) = R \cos\left(\frac{\theta}{2}\right)$

$\Rightarrow \frac{d\sigma}{d\theta} = 2\pi b \left| \frac{db}{d\theta} \right| = 2\pi R \cos\frac{\theta}{2} \left(\frac{R}{2} \sin\frac{\theta}{2} \right) = \frac{\pi R^2}{2} \sin\theta$

Bem: haben also (totalen) Wirkungsquerschnitt

$\sigma = \int_0^\pi d\theta \frac{d\sigma}{d\theta} = \frac{\pi R^2}{2} [-\cos\theta]_{\theta=0}^\pi = \pi R^2$ \checkmark Sinnvoll!

$b(\theta)$ hätten wir auch geometrisch herleiten können,



$b = R \sin\alpha, 2\alpha + \theta = \pi$

Freie Streuung:

- haben nur E, \vec{p} -Erhaltung benutzt \Rightarrow elementare Herleitung; weitreichende Gültigkeit
- Erhaltungssätze gelten auch in Quantenmechanik \Rightarrow Einzelheit des Streuprozesses unwichtig
- nur einlaufende / auslaufende T von Interesse betrachte Umgebung des Streuzentrums als "black box"
- Herleitung ist also auch für z.B. Neutron-Proton-Streuung gültig (für kleine E ; haben relativistische Effekte vernachl.)

2. Lagrange-Formalismus

\rightarrow s. z. B. [Goldstein / Poole / Safko, §2]

bisher: sehr einfache Systeme

\rightarrow Koordinaten, Kräfte \rightarrow Newton II \rightarrow Lsg

(wir haben meist holonome Randbedingungen vorliegen:

Bewegung eingeschränkt durch Gleichungen $f(\vec{r}_1, \vec{r}_2, \dots, t) = 0$

\rightarrow konnten dies durch verallgemeinerte Koordinaten,

z.B. Polarkoordinaten, Umkehr etc. berücksichtigen)

oft: Systeme mit komplizierteren Einschränkungen

z.B. nicht-holonome Randbedingungen

(Bsp: Kugel rutscht von Kegel herunter $\vec{p} \cdot \vec{R} = 0$)

(Bsp: Körper rollt, ohne zu rutschen $\vec{v} = 0$ am Berührungspunkt)

\rightarrow Zwangskräfte a priori unbekannt

\rightarrow Umformulierung der Mechanik, die ohne

Zwangskräfte in den Bgln. auskommt

2.1 Variationsrechnung

(brauchen wir für diese Umformulierung; die Methode ist (s. §2.2) die folgende)

Beh: Passpunkt bewegt sich via $m\ddot{\vec{r}} = -\nabla V$

\Leftrightarrow Passpunkt bewegt sich auf Bahnkurve, welche den Wert eines Integrals ("Lagrange") extremiert (meist: minimiert)

→ benötigen neue Methode zur mathematischen Formulierung dieses Prinzips: Variationsrechnung

Funktion: Abbildung $R \rightarrow R ; x \mapsto y(x)$

Functional: Abbildung $V \rightarrow R ; y \mapsto F[y]$

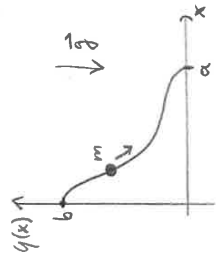
↑ Funktionsraum mit best. Eigenschaften, meist: reell, stetig, diff'bar

Bsp: • $F[y] = y(x_0) = \int_{-\infty}^{\infty} dx y(x) \delta(x-x_0)$

- $F[y] = \int_{x_1}^{x_2} dx f(y(x), y'(x), x)$ mit Funktion f
- Länge einer Bahnkurve

$$L = \int_{x_1}^{x_2} ds = \int_{x_1}^{x_2} \sqrt{(dx)^2 + (dy)^2} = \int_{x_1}^{x_2} dx \sqrt{1 + (y'(x))^2} = L[y]$$


- Brachistochronen-Problem kürzeste (Lauf) Zeit in homogenen Gravitationsfeld (Johann Bernoulli, 1667-1748 → Variationsrechnung)



Passpunkt ruht am Anfang; reibungsfreie Bewegung von $b \rightarrow a$

$$t_{ba} = \int dt = \int \frac{dl}{v} = \int_0^a dx \frac{\sqrt{1 + (y'(x))^2}}{v(x)}$$

aus E-Erhaltung: $\frac{1}{2} m v^2 = mg(b-y) \Leftrightarrow v = \sqrt{2g(b-y)}$

$$= \frac{1}{\sqrt{2g}} \int_0^a dx \frac{\sqrt{1 + (y'(x))^2}}{\sqrt{b-y(x)}} = t_{ba}[y]$$

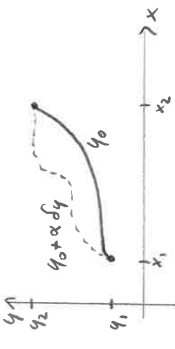
Extremierung eines Funktionals $F[y] = \int_{x_1}^{x_2} dx f(y, y', x)$

Anm: Sei die Funktion y_0 ein Extremum (z.B. Minimum) von $F[y]$: $F[y] \geq F[y_0] \forall$ Funktionen y mit $y(x_1) = y_1, y(x_2) = y_2$

Sei $Sy(x)$ eine beliebige (stetige, diff'bare) Fkt mit $Sy(x_1) = Sy(x_2) = Sy(x_0) = 0$

→ betrachte $F[y_0 + \alpha Sy]$ als Funktion von $\alpha \in R$

$$\Rightarrow \partial_\alpha F[y_0 + \alpha Sy] \Big|_{\alpha=0} \stackrel{!}{=} 0 \quad (\text{NPA})$$



es ist $\partial_\alpha F \Big|_{\alpha=0} = \partial_\alpha \int_{x_1}^{x_2} dx f(y_0 + \alpha Sy, y_0' + \alpha Sy', x) \Big|_{\alpha=0}$

$$= \int_{x_1}^{x_2} dx [Sy(x) f_y + Sy'(x) f_{y'}] \Big|_{y=y_0} \stackrel{!}{=} 0$$

(totale Ableit.: $\frac{d}{dx}$)

$$= \int_{x_1}^{x_2} dx Sy [\partial_y f - \partial_{y'} f] \Big|_{y=y_0} = 0$$

→ da $Sy(x_{1,2}) = 0$

muss (s.o.) für alle $Sy(x)$ gelten; z.B. insbesondere für solche:

$$\Rightarrow \frac{\partial f}{\partial y} - \frac{d}{dx} \frac{\partial f}{\partial y'} = 0 \quad \forall x, \quad \text{Euler-Gleichung}$$


(oder $\partial_y f - \partial_{y'} f = 0$)

Vollgemeinerung: für N Funktionen $y_n, n=1, \dots, N$

bestimmt man N Gleichungen $\frac{\partial f}{\partial y_n} - \frac{d}{dx} \frac{\partial f}{\partial y_n'} = 0 \quad \forall x, n$

(Beweis: wähle $Sy_n \neq 0$ nur für bestimmte Werte n , etc.)

2.2 Prinzip der kleinsten Wirkung

bzw. (Fermat-, Pappertius-, d'Alembert-) Hamilton-Prinzip

Beschreibe ein System (mit s Freiheitsgraden)

durch verallgemeinerte Koordinaten (müssen nicht kartesisch sein) q_1, \dots, q_s .

z.B.: N Masspunkte, $s = 3N$

$$\{q_i\} = \{x_1, y_1, z_1, x_2, y_2, z_2, \dots, x_N, y_N, z_N\}$$

$$\text{oder } \{q_i\} = \{r, \theta, \varphi, r_2, \theta_2, \varphi_2, \dots, r_N, \theta_N, \varphi_N\}$$

Die Zustahlen q_1, \dots, q_s heißen verallgemeinerte Geschwindigkeiten.

Def: $q = (q_1, \dots, q_s)$, $\dot{q} = (\dot{q}_1, \dots, \dot{q}_s)$

$L(q, \dot{q}, t) \in \mathbb{R}$ Lagrange-Funktion

$$S[q] = \int_{t_1}^{t_2} dt L(q, \dot{q}, t) \quad \text{Wirkung}$$

vgl. § 2.1, mit $\begin{pmatrix} \dot{x} \\ \dot{y} \\ \dot{z} \\ f \end{pmatrix} \rightarrow \begin{pmatrix} \dot{q} \\ L \end{pmatrix}$

Das Hamiltonsche Prinzip: S ist extremal, bzw $\delta S = 0$

\rightarrow mit Euler-Gly folgen dann die

Euler-Lagrange-Gleichungen

$$\frac{d}{dt} \frac{\partial L}{\partial \dot{q}_n} - \frac{\partial L}{\partial q_n} = 0 \quad \forall n$$

Bem.: dies sind Dglh 2. Ordnung (wie Newton II!)

L ist nicht erdientig:

Sei $\tilde{L} = L + \frac{d}{dt} g(q(t), t)$

dann $\tilde{S} = \int_{t_1}^{t_2} dt \tilde{L} = S + \int_{t_1}^{t_2} dt \partial_t g = S + g(q_2, t_2) - g(q_1, t_1)$

aber bei Variation $q \rightarrow q + \delta q$, $\delta g(t) = 0 = \delta g(t_2)$

bleiben die Randterme unverändert

\Rightarrow haben keinen Einfluss auf Euler-Lagrange-Gln!

Bsp: Brachistochronen-Problem (S. 5. 23: $f = \frac{\sqrt{1+(y')^2}}{b-y}$)

$\partial_y f = +\frac{1}{2} \frac{\sqrt{1+(y')^2}}{(b-y)^{3/2}}$, $\partial_{y'} f = \frac{y'}{\sqrt{1+(y')^2} \sqrt{b-y}}$, $\partial_x \partial_y f = \text{lang} \dots$

aber $\partial_x [y' \partial_y f - f] = y'' \partial_y f + y' \partial_x \partial_y f - y' \partial_y f - y'' \partial_y f - y' \partial_x f - (-f)'$
 $= y'' (\partial_y f - \partial_x f) + y' (\partial_x \partial_y f - \partial_x f)$
 $= 0$ wegen Euler-Gly.

$\Rightarrow [\dots]$ ist eine Konstante (in x)

folgt (s.o.), da f nicht explizit von x abhng!

([...]) wird oft als erstes Integral der Euler-Gly bezeichnet)

$$\Leftrightarrow \frac{(y')^2}{\sqrt{1+(y')^2} \sqrt{b-y}} - \frac{\sqrt{1+(y')^2}}{\sqrt{b-y}} = \text{const.}$$

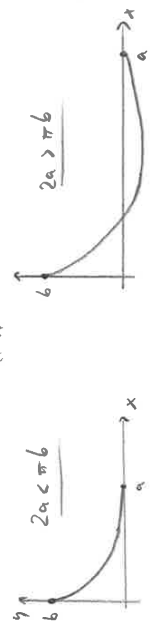
$$\Rightarrow \sqrt{1+(y')^2} \sqrt{b-y} = -\frac{1}{\text{const.}} \Rightarrow (1+(y')^2)(b-y) = \frac{1}{(\text{const.})^2} = 2A$$

Bem.: \cos ist Zykloide:

$x(\varphi) = A(\varphi - 5m\varphi)$, $y(\varphi) = b + A(\cos\varphi - 1)$

check: $y' = \frac{dy}{dx} = \frac{dy/d\varphi}{dx/d\varphi} = \frac{-A \sin\varphi}{A(1 - \cos\varphi)}$

$(1+(y')^2)(b-y) = \frac{(1-\cos\varphi)^2 + \sin^2\varphi}{(1-\cos\varphi)^2} A(1-\cos\varphi) = 2A \cos\varphi$



\rightarrow Darstellung z.B. von Plancherel,

Parametric Plot [$\{A(\varphi - 5m\varphi), b + A(\cos\varphi - 1)\}, \{0, 2\pi\}$]

wählen, z.B. = 1

- bisher keine Annahmen über die Form von L .
- sehr allg. Prinzip / haben noch viel Willkürfreiheit
- Passpunkte in konservativem Kraftfeld:

wähle $L = T - V$ (mit $\vec{r}_n \leftrightarrow q, \dot{\vec{r}}_n \leftrightarrow \dot{q}$)

$$= \sum_n \frac{m_n}{2} \dot{\vec{r}}_n^2 - V(\vec{r}_n)$$

$$\Rightarrow \frac{\partial L}{\partial \dot{x}_n^i} = \frac{\partial T}{\partial \dot{x}_n^i} = m_n \dot{x}_n^i ; \frac{\partial L}{\partial x_n^i} = -\frac{\partial V}{\partial x_n^i}$$

(hier keine Summe über n)

(Euler-Lag.) $\Rightarrow \frac{d}{dt} \frac{\partial L}{\partial \dot{x}_n^i} - \frac{\partial L}{\partial x_n^i} = m_n \ddot{x}_n^i + \frac{\partial V}{\partial x_n^i} = 0 \quad \forall n$

$\Leftrightarrow m_n \ddot{\vec{r}}_n = -\vec{\nabla}_n V$ (vgl. Behauptung S.22)

→ Newton II folgt aus Extremierung der Wirk S = ∫(T-V)

2.3 Randbedingungen / Zwangsbedingungen

Einschränkung der Bewegung durch Gleichungen der Form

$$f_\alpha(\vec{r}_1, \vec{r}_2, \dots, t) = 0, \quad \alpha = 1, \dots, k$$

(keine $\dot{\vec{r}}$) \Rightarrow holonome Zwangsbedingungen (vgl. S.22)

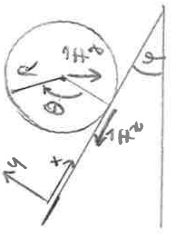
(„Scleronom“ / „rheonom“ \Rightarrow ohne / mit Zeitabhängigkeit)

starr / fließend

Bsp (Pendel) wähle Ursprung im Gelenk



Bsp (Rollen) Rollen auf schiefer Ebene mit Reibung



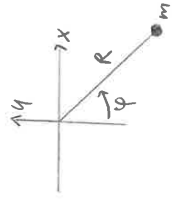
$$\{x = R\theta\} \Leftrightarrow \{f_i = x - R\theta\}$$

→ Zwangskräfte \vec{F}_Z erzwingen die Rand/Zwangsbedingungen; Behandlung mit Newtonschen Gesetzen kann sehr mühsam sein!

→ Im Lagrange-Formalismus geht man nach „Rezept“ vor:

- (a) Führe $S = 3N - k$ verallgemeinerte Coord. q_1, \dots, q_s ein, welche die Konfigurationen des Systems parametrisieren, die die Zwangsbedingungen erfüllen
- (b) Drücke die Lagrange-Funktion $L = T - V$ durch q, \dot{q} aus; V enthält nur die Beiträge, die nicht Zwangskräfte verursachen
- (c) Löse die Euler-Lagrange-Gln. $\frac{\partial L}{\partial q_n} = \frac{d}{dt} \frac{\partial L}{\partial \dot{q}_n}, n = 1, \dots, s$

Bsp (Pendel)



- (a) $q = \varphi \quad (s=1)$
- $$(x, y) = R(\sin \varphi, -\cos \varphi)$$
- (b) $T = \frac{m}{2} \dot{\vec{r}}^2 = \frac{m}{2} (\dot{x}^2 + \dot{y}^2) = \frac{m}{2} R^2 \dot{\varphi}^2 (\cos^2 \varphi + \sin^2 \varphi) = \frac{m}{2} R^2 \dot{\varphi}^2$
- $$V = mgy = -mgR \cos \varphi$$
- $$\Rightarrow L = T - V = \frac{m}{2} R^2 \dot{\varphi}^2 + mgR \cos \varphi$$
- (c) $\frac{\partial L}{\partial \varphi} = -mgR \sin \varphi, \quad \frac{\partial L}{\partial \dot{\varphi}} = mR^2 \dot{\varphi} \Rightarrow \ddot{\varphi} = -\frac{g}{R} \sin \varphi$

Bsp (Reifen)

(a) $q = x$; $\theta = \frac{x}{R}$ lin. u. Drehung

(b) $T = \frac{m}{2} \dot{x}^2 + \frac{m}{2} R^2 \dot{\theta}^2 = m \dot{x}^2$

kin. u. Schwerkraft $V = mg(R-x) \sin \varphi$

$\Rightarrow L = T - V = m \dot{x}^2 - mg(R-x) \sin \varphi$

(c) $\frac{\partial L}{\partial x} = mg \sin \varphi$, $\frac{\partial L}{\partial \dot{x}} = 2m\dot{x} \Rightarrow \ddot{x} = \frac{g}{2} \sin \varphi$

Bem.: • die (holonomen) Zwangsbedingungen sind also per 'Rezept' eliminiert
 • zur Begründung des 'Rezepts':

Schreibe alle 3N Koord. des Systems wie folgt:



es gilt $f_\alpha(q_1, \dots, q_5, q_{3N+1}, \dots, q_{3N+2}) = 0 \quad \forall \alpha = 1, \dots, k$
 $\Rightarrow \frac{\partial f_\alpha}{\partial q_n} = 0$ für $n=1, \dots, 5$

def $\tilde{L} = L + \sum_{\alpha=1}^k \lambda_\alpha f_\alpha$ (λ_α heißen Lagrange-Multiplikatoren)

betrachte $\lambda_\alpha \in \mathbb{R}$ als neue Koord. \rightarrow insgesamt $3N+k$ verallg. Koord. dann folgt (EL = Euler-Lagrange):

(1) EL mit $\lambda_\alpha \Rightarrow \frac{\partial \tilde{L}}{\partial \lambda_\alpha} = f_\alpha = \frac{d}{dt} \frac{\partial \tilde{L}}{\partial \dot{\lambda}_\alpha} = 0 \quad \forall \alpha$

(2) EL mit $q_{3N+1}, \dots, q_{3N} \Rightarrow \frac{d}{dt} \frac{\partial L}{\partial \dot{q}_n} - \frac{\partial L}{\partial q_n} - \sum_{\alpha=1}^k \lambda_\alpha \frac{\partial f_\alpha}{\partial q_n} = 0, \quad n=3N+1, \dots, 3N$

\rightarrow ermöglicht die Bestimmung der λ_α .

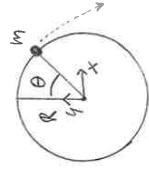
\rightarrow könnte daraus Zwangsbedingungen ableiten:

" $m \ddot{q}_n$ " $\Rightarrow \frac{\partial V}{\partial q_n} + \frac{\partial V}{\partial q_n} - \text{Zwangsbedingung} = 0$

(3) EL mit $q_1, \dots, q_5 \Rightarrow \frac{d}{dt} \frac{\partial L}{\partial \dot{q}_n} - \frac{\partial L}{\partial q_n} = 0, \quad n=1, \dots, 5$

(wegen $\frac{\partial q_n}{\partial q_n} f_\alpha(q_1, \dots, q_5, 0, \dots, 0) = 0$)

Bsp



Bei welchem Winkel θ_{escape} verlässt der Massenpunkt die Kugeloberfläche?

Koordinatenwahl: $r, \theta \Rightarrow (x, y) = r(\sin \theta, \cos \theta)$

Zwangsbedingung: $f = r - R = 0$ (auf Oberfläche)

$T = \frac{m}{2} (\dot{r}^2 + \dot{\theta}^2) = \frac{m}{2} (r^2 \dot{\theta}^2)$

$V = mgy = mgr \cos \theta$

$\Rightarrow \tilde{L} = T - V + \lambda f = \frac{m}{2} (r^2 \dot{\theta}^2) - mgr \cos \theta + \lambda(r - R)$

(1) $f = 0 \Rightarrow r = R$

(3) $\frac{\partial \tilde{L}}{\partial \theta} = mR^2 \dot{\theta}, \quad \frac{\partial \tilde{L}}{\partial \theta} = -mgR \sin \theta \Rightarrow \dot{\theta} = \frac{g}{R} \sin \theta$

(2) $\frac{d}{dt} \frac{\partial \tilde{L}}{\partial \dot{r}} - \frac{\partial \tilde{L}}{\partial r} = 0 \Rightarrow \frac{d}{dt} (mr\dot{\theta}) - (mr\dot{\theta}^2 - mg \cos \theta + \lambda) = 0$

betrachte (3) $\cdot \dot{\theta} \Rightarrow \frac{d}{dt} \frac{1}{2} \dot{\theta}^2 = -\frac{g}{R} \dot{\theta} \cos \theta$

$\Leftrightarrow \frac{1}{2} \dot{\theta}^2 = -\frac{g}{R} \cos \theta + \text{const. } E$

AB $\dot{\theta} = 0$ bei $\theta = 0 \Rightarrow \dot{\theta}^2 = \frac{2E}{R} (1 - \cos \theta)$

betrachte (2): $\dot{r} = 0$ (wegen $r = R$)

$\Rightarrow \lambda = -mR\dot{\theta}^2 + mg \cos \theta = mg(3 \cos \theta - 2)$

Zwangsbedingung $= \lambda \frac{\partial f}{\partial r} = \lambda = mg(3 \cos \theta - 2)$

\rightarrow Massenpt. verlässt Oberfläche wenn $\tilde{F}_r = 0$

$\Leftrightarrow \cos \theta_{\text{escape}} = \frac{2}{3}$

2.4 Symmetrien + Erhaltungssätze

→ wichtiger Vorteil des Lagrange-Formalismus (vgl. Newton):
Zusammenhang zwischen Symm. ↔ Erh. Sätzen verdeutlichen

• Invarianz unter Zeittranslationen ⇒ Energieerhaltung
(bzw. Homogenität der Zeit)

L hängt nicht explizit von t ab: $L = L(q, \dot{q})$

$$\Rightarrow \frac{d}{dt} L = \sum_n \left(\frac{\partial L}{\partial q_n} \dot{q}_n + \frac{\partial L}{\partial \dot{q}_n} \ddot{q}_n \right)$$

$\left[\frac{d}{dt} \frac{\partial L}{\partial \dot{q}_n} \right]$ wegen Euler-Lagrange Gl.

$$= \frac{d}{dt} \left(\sum_n \frac{\partial L}{\partial \dot{q}_n} \dot{q}_n \right)$$

$$\Rightarrow \frac{d}{dt} E = 0 \quad \text{mit} \quad E = \sum_n \frac{\partial L}{\partial \dot{q}_n} \dot{q}_n - L$$

→ die so definierte Energie E ist also erhalten;
stimmt dies mit der üblichen Def überein?

sei $L = T - V$, $T = \frac{1}{2} \sum_{a,b} f_{ab}(q) \dot{q}_a \dot{q}_b$

$(T = \frac{1}{2} \sum_n m_n \dot{x}_n^2 \text{ ist Spezialfall})$

$$\Rightarrow \frac{\partial L}{\partial \dot{q}_n} = \frac{\partial T}{\partial \dot{q}_n} - \frac{\partial V}{\partial \dot{q}_n} = \frac{\partial}{\partial \dot{q}_n} \left[\frac{1}{2} \sum_{a,b} f_{ab}(q) \dot{q}_a \dot{q}_b \right]$$

$$= \frac{1}{2} \sum_{a,b} f_{ab}(q) (\delta_{an} \dot{q}_b + \dot{q}_a \delta_{bn})$$

$$\Rightarrow E = \sum_n \dot{q}_n \left[\frac{1}{2} \sum_{a,b} f_{ab}(q) (\delta_{an} \dot{q}_b + \dot{q}_a \delta_{bn}) \right] - T + V$$

$$= \sum_{a,b} f_{ab}(q) \dot{q}_a \dot{q}_b - \frac{1}{2} \sum_{a,b} f_{ab}(q) \dot{q}_a \dot{q}_b + V = T + V$$

OK

• räumliche Translationsinvarianz ⇒ (verallg.) Impulserhaltung

L hängt nicht von einer bestimmten vorlängewählten Koordinate q_i ab: $L = L(q_1, \dots, q_s, \dot{q}_1, \dots, \dot{q}_s, t)$

→ dieses q_i nennt man zyklische Koordinate

L ist also invariant unter $q_i \rightarrow q_i + l$; $\frac{\partial L}{\partial q_i} = 0$

def $p_i = \frac{\partial L}{\partial \dot{q}_i}$ bzw zu q_i kanonisch konjugierte Impuls
(Euler-Lagrange) $\frac{d}{dt} \frac{\partial L}{\partial \dot{q}_i} = \frac{\partial L}{\partial q_i} = 0$
damit ist $\dot{p}_i = 0$ (g. zyklisch)

→ kanonisch konj. Impuls ist erhalten!

Bsp: betrachte N Massenpunkte mit

$$\text{Zentralkraften } V = \sum_{a,b} V_{ab}(\vec{r}_a - \vec{r}_b)$$

→ wähle verallg. Coord.: $\vec{r}_i, \vec{r}_{a1} = \vec{r}_a - \vec{r}_1 \quad (a=2, \dots, N)$

$$L = \frac{m_1}{2} \dot{\vec{r}}_1^2 + \sum_{a=2}^N \frac{m_a}{2} (\dot{\vec{r}}_1 + \dot{\vec{r}}_{a1})^2 - \sum_{a,b=2}^N V_{ab}(\vec{r}_{a1} - \vec{r}_{b1})$$

$$\Rightarrow \frac{\partial L}{\partial \dot{\vec{r}}_1} = m_1 \dot{\vec{r}}_1 + \sum_{a=2}^N m_a (\dot{\vec{r}}_1 + \dot{\vec{r}}_{a1}) = m_1 \dot{\vec{r}}_1 + \sum_{a=2}^N m_a \dot{\vec{r}}_{a1}$$

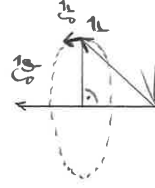
= Gesamt \vec{p} erhalten, da \vec{r}_1 zyklisch: $L(\vec{r}_1)$

• Isotropie des Raumes ⇒ Drehimpulserhaltung

d.h. Invarianz unter Drehungen

Betrachte kleine Drehung

$$\delta \vec{r} = \delta \vec{q} \times \vec{r}$$



(vgl. §1.3, S.9: $\dot{\vec{e}} = \vec{\omega} \times \vec{e}$)

$$0 = \delta L = \sum_{n,i} \left(\frac{\partial L}{\partial \dot{x}_n^i} \delta \dot{x}_n^i + \frac{\partial L}{\partial x_n^i} \delta x_n^i \right)$$

$$(EL) \stackrel{!}{=} \frac{d}{dt} \frac{\partial L}{\partial \dot{x}_n^i} = \dot{p}_n^i$$

$$\sum_n (\dot{p}_n^i \cdot \delta \dot{x}_n^i + \dot{p}_n^i \cdot \delta x_n^i) = \frac{d}{dt} \sum_n \dot{p}_n^i \cdot \delta x_n^i$$

$$\frac{d}{dt} \sum_n \dot{p}_n^i \cdot (\delta \dot{q}^i \times \dot{p}_n^i) \approx \frac{d}{dt} \sum_n \delta \dot{q}^i \cdot (\dot{p}_n^i \times \dot{p}_n^i)$$

$\delta \dot{q}^i \cdot \frac{d}{dt} \sum_n \dot{p}_n^i \times \dot{p}_n^i$ (zeitunabh.) Drehungen $\delta \dot{q}^i$

$$\Leftrightarrow \frac{d}{dt} \sum_n \dot{p}_n^i \times \dot{p}_n^i = \dot{L}_{\text{gesamt}} = 0$$

\rightarrow all diese Erhaltungssätze sind Spezialfälle des Noether-Theorems:
 (hier: quantitative Herleitung) [Emmy Noether, 1915]

• beschreibe globale Invarianten mit Hilfe von Generatoren (Q_n)
 einer Koord.-Transform. in lokaler Form,
 $q_n \rightarrow q_n' = q_n + \epsilon Q_n$, $\epsilon \ll 1$.

• def. $\delta L \equiv L(q', \dot{q}', t) - L(q, \dot{q}, t) = \epsilon \frac{df}{dt} \leftarrow$ (erhält, vgl. 5.26)

aber $\delta L = \sum_n \frac{\partial L}{\partial q_n} \epsilon Q_n + \sum_n \frac{\partial L}{\partial \dot{q}_n} \epsilon \dot{Q}_n = \epsilon \frac{d}{dt} \sum_n \frac{\partial L}{\partial \dot{q}_n} Q_n$
 (EL) $\leftarrow \frac{d}{dt} \frac{\partial L}{\partial \dot{q}_n}$

also ist $\epsilon \frac{d}{dt} \left[f - \sum_n \frac{\partial L}{\partial \dot{q}_n} Q_n \right] = 0 \quad \forall \epsilon$
 $\equiv \dot{J}$ Noether-Strom

Bsp: (räumliche Translationen) Sei q_a zylindrisch $\Rightarrow Q_n = \delta_{na}$, $\dot{Q}_n = 0$, $f = 0$
 $\Rightarrow J = - \sum_n \frac{\partial L}{\partial \dot{q}_n} \delta_{na} = -p_a$

Bsp: (zeitliche Translationen) $q_n' = q_n(t + \epsilon) = q_n + \epsilon \dot{q}_n \Rightarrow Q_n = \dot{q}_n$
 es gilt $\delta L = L(q', \dot{q}') - L(q, \dot{q}) = \epsilon \frac{dL}{dt} \Rightarrow f = 0$
 $\Rightarrow J = \sum_n \frac{\partial L}{\partial \dot{q}_n} \dot{q}_n - L = -E$

Bem. • Erhaltungsgrößen sind additiv:

für $L = L_A + L_B$ (A, B : nicht miteinander wechselwirkend Untersysteme)

folgt $J = J_A + J_B$ (da J linear in L , s.o.)

• betrachte Booster (vgl. §1.3, S. 9):

$$q_n' = q_n - \epsilon u_n t \Rightarrow Q_n = -u_n t, \quad \dot{q}_n' = \dot{q}_n - \epsilon u_n$$

f ist nun nicht-erhalt.

Bsp: freie Massenpunkte

$$\delta L = \sum_n \frac{m_n}{2} (\dot{q}_n')^2 - \sum_n \frac{m_n}{2} \dot{q}_n^2$$

$$= \sum_n \frac{m_n}{2} (-2\epsilon u_n \dot{q}_n + \epsilon^2 u_n^2) \stackrel{!}{=} \epsilon \frac{df}{dt} + O(\epsilon^2)$$

$$\Rightarrow f = - \sum_n m_n u_n q_n$$

$$\Rightarrow J = f - \sum_n \frac{\partial L}{\partial \dot{q}_n} Q_n = \sum_n (-m_n u_n q_n - m_n \dot{q}_n (-u_n t)) = \sum_n m_n u_n (\dot{q}_n t - q_n)$$

$\rightarrow J = \text{const.}$ ($\dot{J} = 0$), aber abhängig vom Anfangs-Ertswektor

• für eine allgemeine Verteilung des Noether-Theorems

(s. z.B. Goldstein/Poole/Sa/60, § 13.7)

betrachtet man auch $t \rightarrow t' = t + \epsilon X$,

$$q_n(t) \rightarrow q_n'(t') = q_n(t) + \epsilon Q_n \quad \left(q_n'(t') - q_n(t) \neq q_n'(t) - q_n(t) \right)$$

Ausgangspunkte der allg. Verteilung sind

Forminvarianz $L'(q'(t'), \dot{q}'(t'), t') = L(q(t), \dot{q}(t), t)$

Skaleninvarianz $S' = \int_{t_1}^{t_2} dt' L'(q'(t'), \dot{q}'(t'), t') = \int_{t_1}^{t_2} dt L(q(t), \dot{q}(t), t)$

und es folgt der allg. Noether-Strom

$$J = \left(\sum_n \frac{\partial L}{\partial \dot{q}_n} \dot{q}_n - L \right) X - \sum_n \frac{\partial L}{\partial q_n} Q_n$$

2.5 Beschreibung dissipativer Systeme
(Zerstreuung)

Bilder: EL Gl'n $\frac{d}{dt} \frac{\partial L}{\partial \dot{q}_n} - \frac{\partial L}{\partial q_n} = 0$, $n = 1, \dots, s$

beschreibt mit $L = T - V$ die Bewegung von Massenpunkten unter dem Einfluss konservativer Kräfte

berücksichtige auch nichtkonservative Kräfte $F_n^{(nc)}$
 via $\frac{d}{dt} \frac{\partial L}{\partial \dot{q}_n} - \frac{\partial L}{\partial q_n} = F_n^{(nc)}$ (vgl. § 1.2: verrichtete Arbeit entlang geschlossener Kurven)

wichtigste Ursache: Reibungskräfte

sind meist proportional zur Geschwindigkeit, $F_n^{(nc)} = -k_n \dot{q}_n$
 (keine Reibung bei $\dot{v} = 0$; Taylor für kleine \dot{v} startet linear)

def $F = \frac{1}{2} \sum_n k_n \dot{q}_n^2$ Rayleighsche Dissipationsfunktion

dann ist $F_n^{(nc)} = -\frac{\partial F}{\partial \dot{q}_n}$

als $\frac{d}{dt} \frac{\partial L}{\partial \dot{q}_n} - \frac{\partial L}{\partial q_n} = -\frac{\partial F}{\partial \dot{q}_n}$

- Son:
- diese Variante der EL Gl'n folgt nicht aus einem Wirkungsprinzip; kann nicht 'first principle' sein
 - bekommen Bezug aus zwei skalaren Funktionen L, F
 - kartesische Reibungskräfte $F_n^{(nc)}$ ($a=1..N$) umrechnen in generalisierte Reibungskräfte $F_n^{(nc)}$:

$F_n^{(nc)} = \sum_{a=1}^N \vec{F}_a \cdot \frac{\partial \vec{r}_a}{\partial \dot{q}_n}$

meist ist $\vec{F}_a^{(nc)} = -h_a(v_a) \frac{\vec{v}_a}{v_a}$, $a = 1..N$, $v_a = |\vec{v}_a|$
 (z.B. Haft-/Gleit-/Roll-Reibung; $h = \text{const}$)

in Fluids: $h = \nu$ (kleine v), $h = \nu^2$ (\rightarrow Wirbel, Turbulenzen)

dann ist $F = \sum_{a=1}^N \int_0^{v_a} dv_a h_a(v_a)$

3. Wichtige Anwendungen

\rightarrow zu den wichtigsten Anwendungen der Physik gehören

- Zentralstöße / Bewegungen: Planeten, Satelliten; einige (da weniger) exakt lösbar Probleme klassische Streutheorie
- Bewegung starrer Körper: Kreisel, Trägheitsmomente, Drehbewegungen
- wichtig in Rotationsmechanik: rotierende Maschinen (Kette), Unwuchten, ...
- Schwingungen

(a) kleine/lineare: harmonischer Oszillator (wichtigste Modell der Physik)

Elektrotechnik; Kontinuum \rightarrow Wellenleitungen

(b) groß/nichtlinear: Näherungsmethoden, Störungsrechnung, nichtlinear - Resonanzerscheinungen

3.1 Kleine Schwingungen

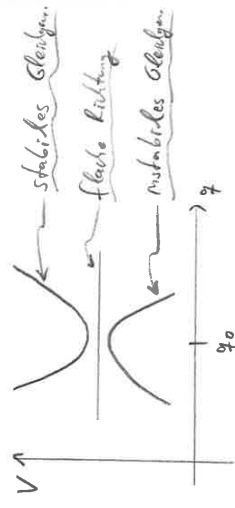
\rightarrow sind oft interessant am Verhalten von Systemen "in der Nähe" ihrer Ruhelage

Sei z.B. q_0 eine Lsg der EL Gl'n: $\left(\frac{d}{dt} \frac{\partial L}{\partial \dot{q}} - \frac{\partial L}{\partial q} \right)_{q=q_0} = 0$

\rightarrow gilt es Lsg "in der Nähe" von q_0 ?

Sei q_0 insbesondere die Lsg in der Ruhelage: $\dot{q}_0 = 0$

\rightarrow was passiert bei kleinen Auslenkungen aus der Ruhelage?



• betrachte einen Freiheitsgrad: $s=1$

Sei $L = \frac{1}{2} f(\dot{q})^2 - V(q)$

das Potential V habe Extremum bei q_0 , d.h. $V'(q_0) = 0$

diese Lsg sei der Ruhezustand, d.h. $\dot{q}_0 = 0$

→ schreibe nun $q = q_0 + \delta q \rightarrow \dot{q} = \dot{\delta q}$

entwickle bis 2. Ordnung in kleiner Auslenkung δq

$$L = \frac{1}{2} f(q_0) \dot{\delta q}^2 + \frac{1}{2} \dot{\delta q} f'(q_0) \dot{\delta q}^2 + \dots$$

$$- V(q_0) - \delta q \underbrace{V'(q_0)}_{=0} - \frac{1}{2} \delta q^2 V''(q_0) + O(\delta q^3)$$

$$\approx \frac{1}{2} f(q_0) \dot{\delta q}^2 - V(q_0) - \frac{1}{2} V''(q_0) \delta q^2$$

→ Euler-Lagrange Gl für $\delta q, \dot{\delta q}$

$$0 = \left(\frac{\partial}{\partial \dot{\delta q}} - \frac{\partial}{\partial \delta q} \right) L = f(q_0) \ddot{\delta q} + V''(q_0) \delta q$$

$$\Leftrightarrow \ddot{\delta q} = - \frac{V''(q_0)}{f(q_0)} \delta q \quad \text{harmonischer Oszillator (H.O.)}$$

(a) $\frac{V''(q_0)}{f(q_0)} > 0$: def $\frac{V''(q_0)}{f(q_0)} = \omega^2$, $\ddot{\delta q} = -\omega^2 \delta q$,

allg Lsg $\delta q = A \cos(\omega t) + B \sin(\omega t)$
ist beschränkt bzw. stabil

(b) $\frac{V''(q_0)}{f(q_0)} < 0$: def $\frac{V''(q_0)}{f(q_0)} = -\omega^2$, $\ddot{\delta q} = \omega^2 \delta q$,

allg Lsg $\delta q = A e^{\omega t} + B e^{-\omega t}$
ist unbeschränkt bzw. instabil

• betrachte mehrere Freiheitsgrade: $s > 1$

Sei $L = \frac{1}{2} \sum_{\alpha, \beta=1}^s f_{\alpha\beta}(q) \dot{q}_\alpha \dot{q}_\beta - V(q)$

Rechenge sei bei $q_0 = (q_{10}, \dots, q_{s0})$, d.h. $\partial_{q_\alpha} V(q_0) = 0 \quad \forall \alpha = 1 \dots s$

→ $\delta q_\alpha = q_\alpha - q_{\alpha 0}$, Entwicklung zur 2. Ordnung in δq_α

$$L = \frac{1}{2} \sum_{\alpha, \beta} \frac{f_{\alpha\beta}(q_0)}{2 q_\alpha \partial q_\beta} \delta q_\alpha \delta q_\beta - V(q_0) - \frac{1}{2} \sum_{\alpha, \beta} \frac{\partial^2 V(q_0)}{2 q_\alpha \partial q_\beta} \delta q_\alpha \delta q_\beta + O(\delta q^3)$$

$= m_{\alpha\beta} = m_{\beta\alpha}$ (symmetrisch) $\leftarrow k_{\alpha\beta} = k_{\beta\alpha}$
 (wegen $\sum_{\alpha, \beta} = \frac{1}{2} \sum_{\alpha, \beta} + \frac{1}{2} \sum_{\beta, \alpha}$)

Schreibe Summen als Matrixmultiplikation: $\delta q = \begin{pmatrix} \delta q_1 \\ \vdots \\ \delta q_s \end{pmatrix}$

$$m = (m_{\alpha\beta}), \quad k = (k_{\alpha\beta}), \quad \delta q^T = (\delta q_1, \dots, \delta q_s)$$

$$= \frac{1}{2} \delta q^T m \delta \dot{q} - \frac{1}{2} \delta q^T k \delta q - V(q_0) + O(\delta q^3)$$

irrelevant für EL-Gl! (Konstante)

→ lin. Algebra: symmetrische Matrizen (wie m, k)

können mit orthogonalen Transformations diagonalisiert werden, aber geht das auch gleichzeitig?

(1) $m_D = \begin{pmatrix} m_1 & & 0 \\ & \ddots & \\ 0 & & m_s \end{pmatrix} = R^T m R, \quad R^T = R^{-1}$

$\Leftrightarrow m = R^T m_D R$ (da $R^T R = \mathbb{1}$)

$\Rightarrow L = \frac{1}{2} \dot{\delta q}^T R^T m_D R \dot{\delta q} - \frac{1}{2} \delta q^T k \delta q$

def. $R \delta q = \delta q' \Leftrightarrow \delta q = R^T \delta q'$

$\frac{1}{2} \dot{\delta q}'^T m_D \dot{\delta q}' - \frac{1}{2} \delta q'^T R k R^T \delta q'$

$= \frac{1}{2} \sum_{\alpha=1}^s m_\alpha (\dot{\delta q}'_\alpha)^2 - \frac{1}{2} \delta q'^T R k R^T \delta q'$

(2) neue Variablen: $Q'_a \equiv \sqrt{m_a} \varphi'_a$
 $\Rightarrow Q' = m_0^{\frac{1}{2}} \varphi'_1, \dots, m_0^{\frac{1}{2}} \varphi'_s$, wobei $m_0^{\frac{1}{2}} \equiv \begin{pmatrix} \sqrt{m_1} & \dots & 0 \\ 0 & \dots & \sqrt{m_s} \end{pmatrix}$
 $\Rightarrow \varphi'_1 = m_0^{-\frac{1}{2}} Q'_1$
 $\Rightarrow L = \frac{1}{2} \dot{Q}'^T Q' - \frac{1}{2} Q'^T \begin{pmatrix} m_0^{-1} & & \\ & \ddots & \\ & & m_0^{-1} \end{pmatrix} R^T R^T m_0^{-\frac{1}{2}} Q' \equiv K$

(3) die Matrix K ist auch symmetrisch, denn
 $K^T = (m_0^{-1})^T R^T R^T m_0^{-\frac{1}{2}} \equiv K$ (da K symmetrisch, d.h. $K^T = K$)
 K kann also diagonalisiert werden
 $K = \tilde{R}^T \tilde{L}_0 \tilde{R}$ mit $\tilde{L}_0 \equiv \begin{pmatrix} \tilde{l}_1 & & 0 \\ & \ddots & \\ 0 & & \tilde{l}_s \end{pmatrix}$
 def $\tilde{R} Q' = Q \Leftrightarrow Q' = \tilde{R}^T Q$

$$\Rightarrow L = \frac{1}{2} \dot{Q}'^T K Q' - \frac{1}{2} Q'^T K Q'$$

$$\stackrel{\substack{\tilde{R}^T \tilde{R} \\ \tilde{R}^T \tilde{R}}}{=} \frac{1}{2} \dot{Q}^T \tilde{Q} - \frac{1}{2} Q^T \tilde{L}_0 Q$$

$$= \frac{1}{2} \sum_{a=1}^s (\dot{Q}_a^2 - \tilde{l}_a Q_a^2)$$

\rightarrow kleine Schwingungen werden von s unabhängigen H.O.S. beschrieben! (vgl. S.37)

- (a) $\tilde{l}_a > 0$: Schwingung mit Eigenkreisfrequenz $\omega_a = \sqrt{\tilde{l}_a}$
- (b) $\tilde{l}_a < 0$: Instabilität der Koordinate!
 (negative Krümmung des Potentials in dieser Richtg.)
- (c) $\tilde{l}_a = 0$: die Koordinate Q_a ist zyklisch
 (die entsprechende Richtung ist "flach")
 \Rightarrow einfache Translationsbewegung in dieser Koordinate: $Q_a = Q_a^0 + \dot{Q}_a^0 t$

Bsp.: (Zwei gekoppelte Oszillatoren)
 Betrachte zwei identische 1-dim Systeme (Eigenkreisfrequenz ω_0),
 durch skr. gekoppelt:

$$L = \frac{1}{2} (\dot{x}_1^2 + \dot{x}_2^2) - V, \quad V = \frac{1}{2} c_0^2 (x_1^2 + x_2^2) + \alpha x_1 x_2$$

$$= \frac{1}{2} x^T \begin{pmatrix} c_0^2 & \alpha \\ \alpha & c_0^2 \end{pmatrix} x, \quad x = \begin{pmatrix} x_1 \\ x_2 \end{pmatrix}$$

Ersetze E ist bereits diagonal \rightarrow bei Schritt (3) beginnen:
 Eigenwerte? $\det \begin{pmatrix} c_0^2 - \tilde{l}_1 & \alpha \\ \alpha & c_0^2 - \tilde{l}_1 \end{pmatrix} = (c_0^2 - \tilde{l}_1)^2 - \alpha^2 = 0$
 $\Leftrightarrow c_0^2 - \tilde{l}_1 = \pm \alpha$

$\Rightarrow \tilde{l}_{1/2} = c_0^2 \pm \alpha$ Eigenkreisfreq. des gekoppelten Systems
 ($\tilde{l}_2 > 0$ für $\alpha < c_0^2$)

Eigenvektoren? $\begin{pmatrix} c_0^2 - \tilde{l}_1 & \alpha \\ \alpha & c_0^2 - \tilde{l}_1 \end{pmatrix} \begin{pmatrix} r \\ s \end{pmatrix} = \begin{pmatrix} \pm \alpha & \alpha \\ \alpha & \pm \alpha \end{pmatrix} \begin{pmatrix} r \\ s \end{pmatrix} = \begin{pmatrix} 0 \\ 0 \end{pmatrix}$
 $\Rightarrow \vec{EV}_1 = \frac{1}{\sqrt{2}} \begin{pmatrix} 1 \\ -1 \end{pmatrix}, \quad \vec{EV}_2 = \frac{1}{\sqrt{2}} \begin{pmatrix} 1 \\ 1 \end{pmatrix}$

Diagonalisierung: $R = \frac{1}{\sqrt{2}} \begin{pmatrix} 1 & 1 \\ -1 & 1 \end{pmatrix}$
 (dann: $\frac{1}{\sqrt{2}} \begin{pmatrix} 1 & 1 \\ -1 & 1 \end{pmatrix} \begin{pmatrix} c_0^2 - \alpha & 0 \\ 0 & c_0^2 + \alpha \end{pmatrix} \frac{1}{\sqrt{2}} \begin{pmatrix} 1 & -1 \\ 1 & 1 \end{pmatrix}$
 $= \frac{1}{2} \begin{pmatrix} 1 & 1 \\ -1 & 1 \end{pmatrix} \begin{pmatrix} c_0^2 - \alpha & -c_0^2 + \alpha \\ c_0^2 + \alpha & c_0^2 + \alpha \end{pmatrix} = \begin{pmatrix} c_0^2 & \alpha \\ \alpha & c_0^2 \end{pmatrix} \checkmark$)

def Normalkoordinaten: $Q = \begin{pmatrix} Q_1 \\ Q_2 \end{pmatrix} = R x = \frac{1}{\sqrt{2}} \begin{pmatrix} 1 & 1 \\ -1 & 1 \end{pmatrix} \begin{pmatrix} x_1 \\ x_2 \end{pmatrix}$
 $\Leftrightarrow x = \begin{pmatrix} x_1 \\ x_2 \end{pmatrix} = R^T Q = \frac{1}{\sqrt{2}} \begin{pmatrix} 1 & -1 \\ 1 & 1 \end{pmatrix} \begin{pmatrix} Q_1 \\ Q_2 \end{pmatrix}$
 \rightarrow Lsg: $x_1(t) = \frac{1}{\sqrt{2}} \{ Q_1(t) + Q_2(t) \} = \frac{1}{\sqrt{2}} \{ A \cos(\sqrt{c_0^2 - \alpha} t + \beta) + C \cos(\sqrt{c_0^2 + \alpha} t + D) \}$

modulierte Oszillation: $\cos x + \cos y = 2 \cos(\frac{x+y}{2}) \cos(\frac{x-y}{2})$

3.2 gedämpfte, erzwungene Schwingungen

→ mehr zum 1-dim harmonischen Oszillator

häufig werden Schwingungen erzwungen (äußere treibende Kraft); die meisten Oszillatoren sind gedämpft (Reibung)

Buigl $m\ddot{x} + \gamma\dot{x} + \beta x = F(t)$; $x(t) = ?$

↑ antriebende Kraft; nicht konservativ
 ↓ $\beta > 0$; von Feder; oder Pendel, $\gamma \approx x$ etc.
 ↑ $\gamma > 0$, Dämpfungskonstante

(a) homogene Lsg: $\ddot{x} + \frac{1}{\tau}\dot{x} + \omega_0^2 x = 0$ ($\omega_0 = \sqrt{\frac{k}{m}}$, $\tau = \frac{m}{\gamma}$)

Ansatz $x_{hom} = A e^{i\omega t} \Rightarrow (-\omega^2 + \frac{i}{\tau}\omega + \omega_0^2) A e^{i\omega t} = 0$

reell $\Leftrightarrow \lambda_{1/2} = \frac{1}{2\tau} \pm \omega$, $\omega = \omega_0 \sqrt{1 - \frac{1}{(2\tau\omega_0)^2}}$

$\Rightarrow x(t) = e^{-\frac{t}{2\tau}} (A e^{i\omega t} + A^* e^{-i\omega t})$ gedämpfte Schwingung
 ((typischerweise ist $\tau\omega_0 \gg 1$; dann $\omega \approx \omega_0$)

(b) Inhomogene Lsg: betrachte periodisch antriebende Kraft

$F(t) = m f e^{i\Omega t}$ (FER): $\ddot{x} + \frac{1}{\tau}\dot{x} + \omega_0^2 x = f e^{i\Omega t}$

Ansatz für spez. Lsg: $x_{inh} = A e^{i\Omega t} \Rightarrow (-\Omega^2 + \frac{i}{\tau}\Omega + \omega_0^2) A = f$

$\Leftrightarrow A = \frac{f}{\omega_0^2 - \Omega^2 + \frac{i}{\tau}\Omega} = f \frac{e^{i\varphi}}{\sqrt{(\omega_0^2 - \Omega^2)^2 + \frac{\Omega^2}{\tau^2}}}$

mit Phase φ , $\tan \varphi = -\frac{\Omega}{\omega_0^2 - \Omega^2}$

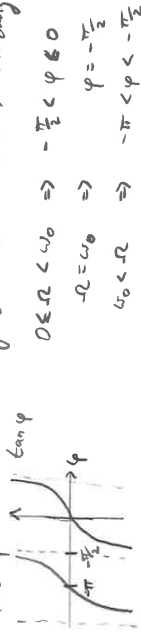
\Rightarrow allg. Lsg $x(t) = e^{-\frac{t}{2\tau}} (A e^{i\omega t} + B e^{-i\omega t}) + C e^{i(\Omega t + \varphi)}$

mit $C = \frac{f/\omega_0^2}{\sqrt{(1 - \frac{\Omega^2}{\omega_0^2})^2 + (\frac{\Omega}{\omega_0^2 \tau})^2}}$ (A, B per Anfangswert)

→ für $t \gg \tau$ geht $x(t) \rightarrow C e^{i(\Omega t + \varphi)}$

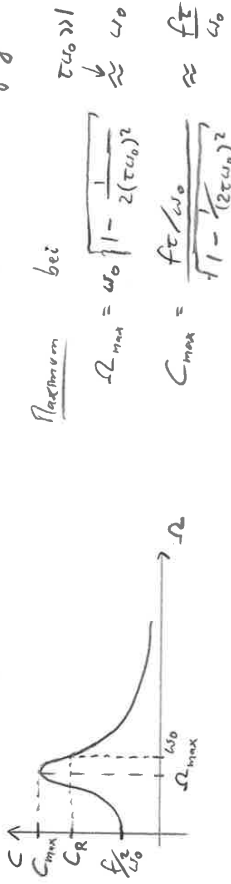
↑ (heißt man daher "Relaxationszeit")

→ Phase φ ist immer negativ: Ursache → Verdrängung; Kausalität



$0 \leq \Omega < \omega_0 \Rightarrow -\frac{\pi}{2} < \varphi \leq 0$
 $\Omega = \omega_0 \Rightarrow \varphi = -\frac{\pi}{2}$
 $\omega_0 < \Omega \Rightarrow -\pi < \varphi < -\frac{\pi}{2}$

→ betrachte Amplitude C über (eingeschränkten) Schwingung



für $\frac{f}{\omega_0} \gg 1$ geht $C \rightarrow 0$

bei $\Omega = \omega_0$ ist $C_R = \frac{f}{\omega_0}$ ("Resonanz")

→ für eine reelle antriebende Kraft

$F(t) = m f \sin(\Omega t) \rightarrow x_{inh}(t) = C \sin(\Omega t + \varphi)$

→ Resonanzfall ($\Omega \rightarrow \omega_0$) ohne Dämpfung? ($\tau\omega_0 \rightarrow \infty$)

(m liegt oben und dann $C = \infty$!)

$\ddot{x} + \omega_0^2 x = f \sin(\Omega t)$

Lsg (s.o.) für $\Omega \neq \omega_0$: $x(t) = A \sin(\omega_0 t) + B \cos(\omega_0 t) + \frac{f}{\omega_0^2 - \Omega^2} \sin(\Omega t)$

\downarrow
 $A \sin(\omega_0 t) + B \cos(\omega_0 t) + \frac{f}{\omega_0^2 - \Omega^2} [\sin(\Omega t) - \sin(\omega_0 t)]$
 \downarrow
 $A \sin(\omega_0 t) + B \cos(\omega_0 t) - \frac{f}{2\epsilon\omega_0} [\epsilon t \cos(\omega_0 t) + O(\epsilon^1)]$

\downarrow
 $A \sin(\omega_0 t) + (B - \frac{f}{2\omega_0} t) \cos(\omega_0 t)$

Amplitude divergiert für $t \rightarrow \infty$

Bem.: gedämpfte lineare Schwingungen mit $S \ll 1$:

$$F = \frac{1}{2} \sum_i \sum_j F_{ij} \dot{q}_j, \quad j = 1, \dots, s \quad (\text{Einheit!})$$

Normalcoord. / Bughn diagonalisieren (d.h. T, V, F gleichzeitig) geht nur in Sonderfällen...

- man kann auch kleine Schwingungen um eine zeitabhängige Referenzlsg $q_0(t)$ betrachten; ein mathematisch "interessanter" Fall

→ Bughl. für Sq mit dann "zeitabhängige Federkonstanten",

$$m \ddot{\delta q}_\alpha = - \frac{\partial^2 V}{\partial q_\alpha \partial q_\beta} \bigg|_{q_0(t)} \delta q_\beta$$

- in allen Systemen (späteres bei großen Amplituden) treten Nichtlinearitäten auf;

→ mathematisch erheblich schwieriger!
(Bsp: anharmonischer Oszillator $\ddot{x} + \omega_0^2 x = \epsilon x^n, n \in \{2, 3, \dots\}$)

→ Bughl. werden dann meist numerisch gelöst, oder näherungsweise analytisch.

- Kernproblem bei nichtlinearen Dgl'n: Superpositionsprinzip nicht mehr gültig!

→ Schwingungen überlagern sich nicht ungestört (→ z.B. Eigenfrequenz \approx Amplituden etc.)

→ (allg. Lsg. der inhom. Dgl.) \neq (allg. Lsg. der hom. Dgl.) + (spez. Lsg. der inhom. Dgl.)

→ auch neuartige Phänomene (z.B. Kippen; Resonanzumkehr)

das wichtigste Näherungsverfahren: Störansatz

falls z.B. nichtlineare Kräfte $\approx \epsilon$ mit $\epsilon \ll 1$

dann Ansatz als Potenzreihe $x(t, \epsilon) = x_0(t) + \epsilon x_1(t) + \dots$, $\epsilon = \epsilon_0 + \epsilon_1 + \dots$; ϵ -Potenzvergleich in Bughl. liefert Bughl. für x_0, x_1, \dots

→ Vorsicht bei chaotischem Verhalten!
5. Semester, Hamilton §4

3.3 Der starre Körper

(Sehr wichtiges Bsp der klassischen Mechanik)

Für makroskopische Festkörper ($\sim 10^{23}$ Teilchen/cm³) wird eine Betrachtung als Mehrteilchensystem (vgl. §1.4) fragwürdig.

→ Körper erscheinen (oft) als Kontinuum, wie beobachtet z.B. Verschiebung / Drehung / Deformation; dies hat nur bedingt mit mikroskopischer T-Schwingung $\vec{r}_i(t)$ zu tun!

→ Identifizierung: Starrer Körper \Leftrightarrow Passpunkte mit vorgegebenen Abständen



((d.h. nicht deformierbar; nicht bewahrbar z.B. für Elastizitätstheorie / Hydrodynamik / ...))

→ Anzahl der Freiheitsgrade?

2 Passpunkte: 1 Zwangsbedingung, $|\vec{r}_1 - \vec{r}_2| = l_{12}$

$$s = 3N - 1 = 6 - 1 = 5 \quad \text{Freiheitsgrade}$$

z.B. 3 Schwerpunkts-Koord. + 2 Winkel (Richtung von $\vec{r}_1 - \vec{r}_2$)



3 Passpunkte: 3 Zwangsbedingungen $|\vec{r}_1 - \vec{r}_2| = l_{12}$

$$|\vec{r}_2 - \vec{r}_3| = l_{23}$$

$$|\vec{r}_3 - \vec{r}_1| = l_{31}$$

5 = 3N - 3 = 9 - 3 = 6 Freiheitsgrade

z.B. 3 Schwerpunkts-Koord. + 3 ("Euler'sche") Winkel

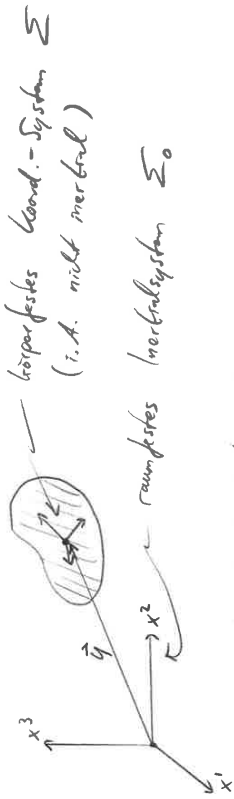
N ≥ 4 Passpunkte: 3 neue Abstände (z.B. l_{i1}, l_{i2}, l_{i3})

fixieren die Lage von Punkt i ($3 < i \leq N$)

⇒ $\Delta s = 0$ wenn $N \rightarrow N+1$

⇒ der starre Körper hat $s = 6$ Freiheitsgrade (z.B. 3 Schwerpunkts-Koord. + 3 Winkel)

Kinematik des starren Körpers



Körper hat 6 Freiheitsgrade; 3 beschreiben Schwerkrafts-Bewegung
 3 beschreiben Drehungen

→ Lagrange-Funktion $L = ?$ Bsp? Erhaltungsgrößen?

betrachte starren Körper aus kleinem Plattenstück (m_a)
 mit Ortsvektoren \vec{x}_{0a} zusammengesetzt

→ Gesamtmasse: $M = \sum_a m_a$

→ im kontinuierlichen schreiben wir $\Sigma \rightarrow \int$
 $\sum_a m_a f(\vec{x}_{0a}) \rightarrow \int d^3x_0 \rho(\vec{x}_0) f(\vec{x}_0)$
Massendichte

z.B. $\rho(\vec{x}_0) = \sum_a m_a \delta^{(3)}(\vec{x}_0 - \vec{x}_{0a})$

Schreibe

$\vec{x}_0 = \vec{q} + R \vec{x}$
 ↳ Koord. bzgl. Σ
 ↳ Rotation (Drehmatrix)
 ↳ Translation des Ursprungs
 ↳ Koord. bzgl. Σ_0
 $\Rightarrow \dot{\vec{x}}_0 = \dot{\vec{q}} + R(\dot{\vec{x}} \times \vec{x})$ (R $\dot{\vec{x}} + R \dot{\vec{x}}$ → starren Körper!)
 ↳ Winkelgeschwindigkeit (vgl. S.13, S.9)

(s. auch Einschub S. 45')

→ kin. Energie

$T = \sum_a \frac{m_a}{2} \dot{\vec{x}}_{0a}^2$
 $= \sum_a \frac{m_a}{2} (\dot{\vec{q}} + R(\dot{\vec{x}} \times \vec{x}_a))^2$
 $= \frac{1}{2} \underbrace{\sum_a m_a}_{=M} \dot{\vec{q}}^2 + \dot{\vec{q}} \cdot R \left[\sum_a m_a \vec{x}_a \right] + \sum_a \frac{m_a}{2} [R(\dot{\vec{x}} \times \vec{x}_a)]^2$
 (Gesamtmasse, s.o.)

③

Einschub: Drehungen



$\vec{x}_0 = R(t) \vec{x}$

↳ Drehmatrix, $R^T R = \mathbb{1}$

⇔ $R^T = R^{-1}$

⇔ $\dot{\vec{x}} = \dot{R}^T(t) \vec{x}_0$

→ $\dot{\vec{x}}_0 = \dot{R} \vec{x} + R \dot{\vec{x}}$
 $= 0$, da wir starren Körper betrachten;
 im System Σ alle fixiert.

$\dot{R}(t) = \lim_{\tau \rightarrow 0} \frac{R(t+\tau) - R(t)}{\tau}$

$= \lim_{\tau \rightarrow 0} \frac{1}{\tau} [R(t+\tau)R^T(t) - \mathbb{1}] R(t)$
 $= D(t)$

D ?

↳ Drehungen betrachten

⇒ D ist auch Drehung, $D^T D = \mathbb{1}$

bei $\tau = 0$ ist $D = R(t) \dot{R}^T(t) = -\mathbb{1}$

Taylor: $D(t) = \mathbb{1} + \tau \Omega(t) + O(\tau^2)$

$\lim_{\tau \rightarrow 0} \frac{1}{\tau} [\tau \Omega(t) + O(\tau^2)] R(t) = \Omega(t) R(t)$

$D^T = \mathbb{1} + \tau \Omega^T + O(\tau^2)$

$\mathbb{1} = D^T D = \mathbb{1} + \tau(\Omega^T + \Omega) + O(\tau^2)$

→ $\Omega = -\Omega^T$ ist antisymmetrisch $\forall t$;

→ parametrisiere $\Omega(t)$ durch 3 Funktionen $\omega_i, i=1,2,3$

z.B. $\Omega(t) = \begin{pmatrix} 0 & -\omega_3 & \omega_2 \\ \omega_3 & 0 & -\omega_1 \\ -\omega_2 & \omega_1 & 0 \end{pmatrix}$, def $\vec{\omega}(t) = \begin{pmatrix} \omega_1 \\ \omega_2 \\ \omega_3 \end{pmatrix}$

$\Omega(t) \vec{x}_0 = \begin{pmatrix} 0 & -\omega_3 & \omega_2 \\ \omega_3 & 0 & -\omega_1 \\ -\omega_2 & \omega_1 & 0 \end{pmatrix} \begin{pmatrix} x_0^1 \\ x_0^2 \\ x_0^3 \end{pmatrix} = \begin{pmatrix} \omega_2 x_0^3 - \omega_3 x_0^2 \\ \omega_3 x_0^1 - \omega_1 x_0^3 \\ \omega_1 x_0^2 - \omega_2 x_0^1 \end{pmatrix} = \vec{\omega} \times \vec{x}_0$

$R \vec{\omega} \times \vec{x}$

③: es gilt $(R\vec{a})^i = R^{ij} a^j$ $\Rightarrow R^{ij} R^{ik} a^k = (R^T)^{ji} R^{ik} a^k = \delta^{jk} a^k = a^j$
 = δ^{jk} , da R orthogonal: $R^T R = \mathbb{1}$

②: dieser Term verschwindet, falls
 • $\dot{q} = 0$, d.h. Koord.-Ursprung von Σ ruht
 • $\sum_a m_a \vec{x}_a = 0$, d.h. Koord.-Ursprung von Σ liegt im Schwerpunkt.
 \Rightarrow betrachte in Folgenden nur diese Fälle,
 (kannem Σ -Ursprung immer im Schwerpunkt $\vec{x} \equiv \frac{\sum_a m_a \vec{x}_a}{\sum_a m_a}$ legen)

$$T = \frac{M}{2} \dot{\vec{v}}^2 + \frac{1}{2} \sum_a m_a (\dot{\vec{x}}_a \times \vec{x}_a)^2, \text{ mit } \vec{v} \equiv \dot{\vec{q}}$$

$$= \frac{M}{2} \dot{\vec{v}}^2 + \frac{1}{2} \sum_a m_a (\dot{\vec{x}}_a \times \vec{x}_a)^2 = \sum_a m_a \left[\sum_{i,j,k} \dot{x}_a^i \dot{x}_a^j x_a^k \delta^{ik} - x_a^i x_a^j \dot{x}_a^k \delta^{ij} \right]$$

$$= \sum_a m_a \left[\sum_{i,j} \dot{x}_a^i \dot{x}_a^j x_a^i x_a^j - \sum_{i,j} \dot{x}_a^i \dot{x}_a^j x_a^i x_a^j \right] \text{ (vgl. U19)}$$

$$= \sum_a m_a \left[\sum_{i,j} \dot{x}_a^i \dot{x}_a^j x_a^i x_a^j - \sum_{i,j} \dot{x}_a^i \dot{x}_a^j x_a^i x_a^j \right] \text{ (kontin.)}$$

$$= \sum_a m_a \left[\sum_{i,j} \dot{x}_a^i \dot{x}_a^j x_a^i x_a^j - \sum_{i,j} \dot{x}_a^i \dot{x}_a^j x_a^i x_a^j \right] \text{ (Limes)}$$

I^{ij} heißt Trägheitstensor
Bem.: • I^{ij} ist bezüglich eines körperfesten Koord.-Systems definiert; hängt daher von Wahl des Ursprungs ab
 \rightarrow s. auch unten
 • I^{ij} sind Komponenten eines Tensors 2. Stufe; bezeichne Matrix mit Komponenten I^{ij} als \mathbb{I} ; dann ist $\omega^i I^{ij} \omega^j = \omega^T \mathbb{I} \omega$
 • \mathbb{I} ist symmetrisch, da $I^{ij} = I^{ji}$

\rightarrow Eigenschaften des Trägheitstensors
 • Transformationsverhalten bei Drehungen:
 $I'^{ij} = R^{ik} R^{jl} I^{kl} = R^{ik} I^{kl} (R^T)^{lj}$
 bzw. $\mathbb{I}' = R \mathbb{I} R^T$

• Eigenwerte / Eigenvektoren ($E\vec{v} / E\vec{v}$)
 \mathbb{I} ist symmetrische Matrix
 \Rightarrow Diagonalisierbar, per orthogonale Transformation (vgl. §3.1)
 \Rightarrow kann Koord.-System so drehen, dass $\mathbb{I} = \begin{pmatrix} I_1 & 0 & 0 \\ 0 & I_2 & 0 \\ 0 & 0 & I_3 \end{pmatrix}$
 \rightarrow diese $E\vec{v}_1, \vec{v}_2, \vec{v}_3$ heißen Hauptträgheitsmomente
 die entsprechenden $E\vec{v}$ sind Hauptträgheitsachsen

Trägheitsmoment bzgl. festen Achse:
 Sei $\vec{\omega} = \begin{pmatrix} \omega \\ 0 \\ 0 \end{pmatrix} = \omega \vec{e}_3$
 $\Rightarrow T = \frac{1}{2} \mathbb{I}^{33} \omega^2$, wobei $\mathbb{I}^{33} = \sum_a m_a [\delta^{33} x_a^2 - x_a^3 x_a^3]$
 $= \sum_a m_a [(x_a^1)^2 + (x_a^2)^2] = \sum_a m_a x_a^{\perp 2}$
 \Rightarrow km. E im Hauptachsen System
 $\vec{\omega} = \begin{pmatrix} \omega_1 \\ \omega_2 \\ \omega_3 \end{pmatrix}$, $T = \frac{1}{2} (I_1 \omega_1^2 + I_2 \omega_2^2 + I_3 \omega_3^2)$

Trägheitstensor in einem Σ' , welches um \vec{a} relativ zu Σ verschoben ist:
 $\vec{x}'_a = \vec{x}_a + \vec{a}$
 $I'^{ij} = \sum_a m_a [\delta^{ij} (\vec{x}'_a)^2 - x'^i_a x'^j_a]$
 $= \sum_a m_a [\delta^{ij} (\vec{x}_a + \vec{a})^2 - (x_a^i + a^i)(x_a^j + a^j)]$
 $= \sum_a m_a [\delta^{ij} x_a^2 - a^i a^j] + 2 \sum_a m_a x_a^i a^j - a^i \sum_a m_a x_a^j - a^j \sum_a m_a x_a^i$
 $= \sum_a m_a [\delta^{ij} x_a^2 - a^i a^j] + 2 \sum_a m_a x_a^i a^j - a^i \sum_a m_a x_a^j - a^j \sum_a m_a x_a^i$
 $= \sum_a m_a [\delta^{ij} x_a^2 - a^i a^j] + 2 \sum_a m_a x_a^i a^j - a^i \sum_a m_a x_a^j - a^j \sum_a m_a x_a^i$
 (SP im Ursprung)

$\mathbb{I}'^{ij} = I^{ij} + M [\delta^{ij} a^2 - a^i a^j]$ Steinercher Satz
 (s. auch U19c)
Bsp: $\mathbb{I}^{33} = I^{33} + M a^2$
 und $\int_0^R \int_0^{2\pi} \int_0^d \rho r^2 dr d\phi dz = \rho \int_0^d \int_0^{2\pi} \int_0^R r^2 dr d\phi dz = \rho \int_0^d 2\pi r^3 dz = \rho \pi d^2 \int_0^d z dz = \frac{1}{2} \rho \pi d^2 d^2 = \frac{1}{2} \rho \pi d^3$
 Zylinder-bew. um Achse!
 Platten-dicke

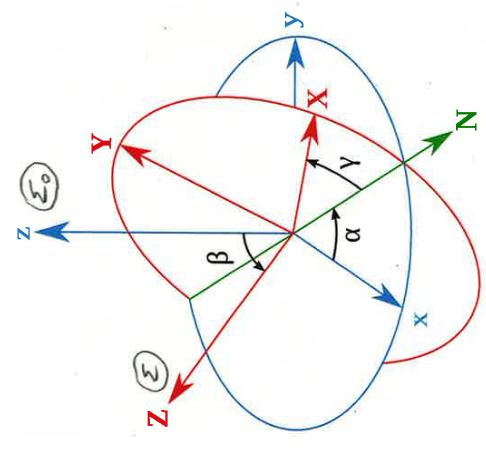
→ wähle nun als Verallg. Koord. $\varphi^i, \dot{\varphi}^i \Rightarrow v^i = \dot{\varphi}^i, w_i = \dot{\varphi}_i$
 dann ist $L = \frac{M}{2} \sum_{i,j=1}^3 (\dot{\varphi}^i)^2 + \frac{1}{2} \sum_{i,j=1}^3 \dot{\varphi}^i I^{ij} \dot{\varphi}^j - V(\varphi, \dot{\varphi})$

der zu $\dot{\varphi}$ kanonisch konjugierte Impuls: Gesamtimpuls
 $p^i = \frac{\partial L}{\partial \dot{\varphi}^i} = M \dot{\varphi}^i = M v^i \quad (\vec{p} = M \vec{v})$

der zu φ kanonisch konjugierte Impuls: Eigenwertimpuls
 $M^i = \frac{\partial L}{\partial \dot{\varphi}^i} = \sum_{j=1}^3 I^{ij} \dot{\varphi}^j = \sum_{j=1}^3 I^{ij} \omega^j \quad (\vec{M} = I \vec{\omega})$

→ Bogen (EL-Ges.):
 $\frac{d}{dt} p^i = \frac{\partial L}{\partial \varphi^i} = -\frac{\partial V}{\partial \varphi^i}, \quad \frac{d}{dt} M^i = \frac{\partial L}{\partial \varphi^i} = -\frac{\partial V}{\partial \varphi^i}$
 "Gesamtimpf" "Drehmoment"

→ Wahl der drei Winkel: Eulerwinkel
 (bestimme nun explizit die Drehung der Koord.-Systeme, vgl. S. 45)



Σ_0 : raumfestes Inertialsystem
 Σ : körperfestes Koord.-System
 \Leftrightarrow 3 Winkel $(\alpha, \beta, \gamma) \Leftrightarrow (\varphi, \theta, \gamma)$ Lit
 $\vec{x} = R^T \vec{x}_0, \quad R^T \equiv C B A$

mit $A = \begin{pmatrix} \cos \alpha & \sin \alpha & 0 \\ -\sin \alpha & \cos \alpha & 0 \\ 0 & 0 & 1 \end{pmatrix}$,
 $B = \begin{pmatrix} 1 & 0 & 0 \\ 0 & \cos \beta & \sin \beta \\ 0 & -\sin \beta & \cos \beta \end{pmatrix}, \quad C = \begin{pmatrix} \cos \gamma & \sin \gamma & 0 \\ -\sin \gamma & \cos \gamma & 0 \\ 0 & 0 & 1 \end{pmatrix}$
 // S, \dots etc.

$$\Rightarrow R^T = \begin{pmatrix} c_\alpha c_\beta - s_\alpha s_\beta c_\gamma & c_\alpha s_\beta + s_\alpha c_\beta c_\gamma & s_\alpha s_\beta \\ -s_\alpha c_\beta - c_\alpha s_\beta c_\gamma & -s_\alpha s_\beta + c_\alpha c_\beta c_\gamma & c_\alpha s_\beta \\ s_\alpha s_\beta & -s_\alpha c_\beta & c_\beta \end{pmatrix}$$

• betrachte nichtdiagonale Komponenten von I , z.B.

$$I^{12} = \int d^3x \rho(x^1, x^2, x^3) [-x^1 x^2]$$

$$= \frac{1}{2} \int d^3x \left\{ -\rho(x^1, x^2, x^3) x^1 x^2 - \rho(x^2, x^1, x^3) x^2 x^1 \right\}$$

$$= \frac{1}{2} \int d^3x \left\{ \rho(-x^1, x^2, x^3) - \rho(x^1, x^2, x^3) \right\} x^1 x^2$$

= 0 für symm. ρ , d.h. falls $\rho(-x^1, \dots) = \rho(x^1, \dots)$

→ die Hauptträgheitsachsen sind die Symmetrieachsen des st. Körpers
 (sieht man meist)



- m Hauptachsensystem: $I_i = \sum_a m_a [(x_a^j)^2 + (x_a^k)^2]$ ok.
- $I_1, I_2, I_3 \geq 0$ (Trägheitsmoment ist positiv definit)
- emige Spezialfälle:
 - em Massenpunkt, $\vec{x}_a = 0$ (da m SP) $\Rightarrow I^{ij} = 0$
 - 1-dm Stab $\parallel \vec{e}_3, x_a^1 = 0 = x_a^2 \Rightarrow I^{33} = 0, I^{11} = I^{22} > 0$
 - 2-dm Scheibe $\perp \vec{e}_3, x_a^3 = 0 \Rightarrow I^{11} = I^{22} = I^{33} > 0$

• Klassifikation der starren Körper:

- unsymmetrischer Kreis:
 $I_1 \neq I_2 \neq I_3 \neq I_1$
 Hauptträgheitsachsen sind eindeutig festgelegt.
- symmetrischer Kreis:
 $I_1 = I_2, I_3 \neq I_1$
 nur 3. Hauptträgheitsachse eindeutig festgelegt;
 in 1-2-Ebene beliebige Wahl möglich.
- Kugelkreis:
 $I_1 = I_2 = I_3$
 in jedem Koord.-System sind die 3 Achsen Hauptträgheitsachsen.

Bsp. Träg. eines Vektors auf der z-Achse in Σ_0

in körperfestem System Σ : $\vec{r} = R^T \vec{r}_0 = R^T \begin{pmatrix} 0 \\ 0 \\ r \end{pmatrix} = \begin{pmatrix} r \sin\theta \sin\varphi \\ r \sin\theta \cos\varphi \\ r \cos\theta \end{pmatrix}$

für sel bewegende Körper sind dann die Eulerwinkel

zeitabhängig: $\vec{r}_0(t) = R(t) \vec{r}$ zeitunabhängig

können nun aus Kenntnis von R die Winkelgeschw $\vec{\omega}$

explizit berechnen;

(vgl. S. 48, Lemma 1)

$$\Rightarrow \vec{\omega} = \begin{pmatrix} \dot{\varphi} \sin\theta \sin\varphi + \dot{\theta} \cos\varphi \\ \dot{\varphi} \sin\theta \cos\varphi - \dot{\theta} \sin\varphi \\ \dot{\varphi} \cos\theta + \dot{\psi} \end{pmatrix}$$

→ in Hauptachsensystem ist die kinetische Energie dann

(ohne Schwerefeld-Berücksichtigung)

$$T_{\text{rot}} = \frac{1}{2} \omega^i I^{ik} \omega^k = \frac{1}{2} [I_1 (\omega^1)^2 + I_2 (\omega^2)^2 + I_3 (\omega^3)^2] \quad (5.547)$$

(Eulerwinkel einsetzen) $\Rightarrow \frac{1}{2} \left\{ \dot{\varphi}^2 [I_1 \sin^2\varphi + I_2 \cos^2\varphi] \sin^2\theta + I_3 \cos^2\theta \right.$

$$+ 2\dot{\varphi}^2 [I_1 \cos^2\varphi + I_2 \sin^2\varphi]$$

$$+ \dot{\varphi}^2 I_3$$

$$+ 2\dot{\varphi} \dot{\theta} [I_1 - I_2] \sin\theta \sin\varphi \cos\varphi$$

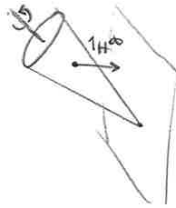
$$+ 2\dot{\varphi} \dot{\psi} I_3 \cos\theta \left. \right\}$$

→ haben nun explizit $L(\varphi, \theta, \psi)$

→ Lagh; Lsg i.A. aber sehr schwierig ...

z.B. Kreisell

Lsg aber möglich mit Vereinfachungen, z.B. § 3.4



3.4 Der Symmetrische Kreisell

betrachte nun das Fall $I_1 = I_2 = I_3 \equiv I$

$$\Rightarrow \text{kin. E: } T_{\text{rot}} = \frac{1}{2} [I (\omega^1)^2 + (\omega^2)^2] + I_3 (\omega^3)^2 \\ = \frac{I}{2} (\dot{\theta}^2 + \dot{\varphi}^2 \sin^2\theta) + \frac{I_3}{2} (\dot{\psi} + \dot{\varphi} \cos\theta)^2$$

Körperfestes Kreisell: $L = T$

→ φ und ψ kommen nicht vor (zyklische Variablen!)

→ zwei der Drehen sind Erhaltungssätze

$$\frac{d}{dt} \frac{\partial L}{\partial \dot{\varphi}} = 0, \quad \frac{d}{dt} \frac{\partial L}{\partial \dot{\psi}} = 0$$

in hermiteschen Σ_0 ist (wegen $V=0$) der

Drehimpuls \vec{L}_0 erhalten

→ wähle Σ_0 z.B. so dass $\vec{L}_0 = \begin{pmatrix} 0 \\ 0 \\ L_0 \end{pmatrix}$

in körperfestem System Σ ist dann (siehe Bsp 5.50)

$$\vec{L} = R^T \vec{L}_0 = \begin{pmatrix} L \sin\theta \sin\varphi \\ L \sin\theta \cos\varphi \\ L \cos\theta \end{pmatrix}$$

in Σ ist \vec{L} dreifach, also gilt auch

$$\begin{pmatrix} I \omega^1 \\ I \omega^2 \\ I_3 \omega^3 \end{pmatrix} = \begin{pmatrix} I (\dot{\varphi} \sin\theta \sin\varphi + \dot{\theta} \cos\varphi) \\ I (\dot{\varphi} \sin\theta \cos\varphi - \dot{\theta} \sin\varphi) \\ I_3 (\dot{\varphi} \cos\theta + \dot{\psi}) \end{pmatrix}$$

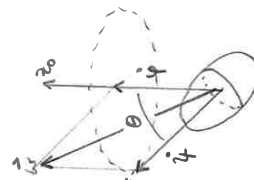
• $\cos\varphi$ (1. Zeile) - $\sin\varphi$ (2. Zeile) $\sim \dot{\theta} = 0$

⇒ Winkel zwischen z-Achsen in Σ_0, Σ ist zeitunabhängig
(1. Zeile) / $\dot{\theta} = 0 \Rightarrow \dot{\varphi} = \frac{L}{I} (= \text{const.})$

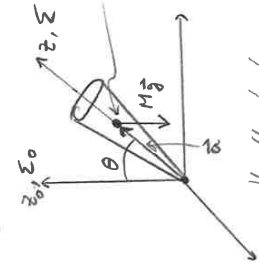
⇒ "Knotenlinie" (N auf S. 49) dreht sich mit konstanter Winkelgeschw um z-Achse um Σ_0 : "Präzession"

• (2. Zeile) $\Rightarrow \dot{\psi} = \left(\frac{L}{I_3} - \frac{1}{I}\right) L \cos\theta (= \text{const.})$

⇒ Drehung mit konst. Winkelgeschw. um z-Achse um Σ :
"Rotation um Figurenachse"



Kiporkreis: symm. Kreis im Erdschwerefeld,



Kreis-Spitze festgehalten

Schubst

wähle Σ_0 mit z_0 -Achse $\parallel \vec{g}$ (Schwerfeld)

wähle Ursprung Σ_0, Σ als Kreismitte

Hauptachsenträgheitsmomente in Σ ?

\rightarrow Sterns: $I_1 = I_2 = I_{cns} + \Pi a^2 = \tilde{I}$

$I_3 = I_{cns}$

Schwerkraft \rightarrow Potential $V = \Pi g z_0 = \Pi g a \cos \theta$

$\Rightarrow L = \frac{\tilde{I}}{2} (\dot{\theta}^2 + \dot{\varphi}^2 \sin^2 \theta) + \frac{I_3}{2} (\dot{\varphi} + \dot{\varphi} \cos \theta)^2 - \Pi g a \cos \theta$

φ, ψ wieder zyklisch \Rightarrow Erhaltungssätze

$\dot{p}_\varphi = 0$ mit $p_\varphi \equiv \frac{\partial L}{\partial \dot{\varphi}} = \dot{\varphi} (I_3 \sin^2 \theta + I_3 \cos^2 \theta) + \dot{\varphi} I_3 \cos \theta$

$\dot{p}_\psi = 0$ mit $p_\psi \equiv \frac{\partial L}{\partial \dot{\psi}} = I_3 (\dot{\psi} + \dot{\varphi} \cos \theta)$

$\Leftrightarrow \dot{\varphi} = \frac{p_\varphi - p_\psi \cos \theta}{I_3 \sin^2 \theta}, \dot{\psi} = \frac{p_\psi \cos^2 \theta - p_\varphi \cos \theta}{I_3 \sin^2 \theta} + \frac{p_\psi}{I_3}$

($V=0$, S. 51: hatten $\theta = \text{const} \Rightarrow$ konnten $\dot{\varphi}, \dot{\psi} - \text{Gln.}$ General integrieren; jetzt: $\theta(t) = ?$, dann $\varphi(t), \psi(t)$)

• Leichte Energieerhaltung (vgl. Zentralkraftprobleme, § 1)

$E = T + V = \frac{\tilde{I}}{2} (\dot{\theta}^2 + \dot{\varphi}^2 \sin^2 \theta) + \frac{I_3}{2} (\dot{\varphi} + \dot{\varphi} \cos \theta)^2 + \Pi g a \cos \theta$

jetzt $\dot{\varphi}(\theta), \dot{\psi}(\theta)$ einsetzen

$= \frac{\tilde{I}}{2} \dot{\theta}^2 + \frac{p_\varphi^2}{2I_3} + \Pi g a + V_{\text{eff}}(\theta)$

$\equiv E - \tilde{E}$

TdV: $t = \int \frac{d\theta}{\sqrt{\frac{\tilde{I}}{2} [E - V_{\text{eff}}(\theta)]}} \dots$ (elliptisches Integral) $\leadsto \theta(t)$



4. Hamilton-Formalismus

\rightarrow nach Newton- und Lagrange- der dritte Formalismus der klass. Mechanik; warum?

- wichtig beim Übergang zu Quantenmechanik (Theorie II)
- ist oft "eleganter", hat "ästhetische" Vorteile (Theorie III)

4.1 Hamiltonsche Bewegungsgleichungen

Erinnerung an Lagrange-Formalismus:

verallg. Koord. q_a , verallg. Geschwindigkeiten \dot{q}_a , $a=1, \dots, s$

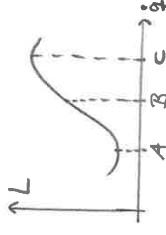
Lagrange-Funktion $L(q, \dot{q}, t) \Rightarrow$ verallg. Impulse $p_a = \frac{\partial L}{\partial \dot{q}_a}$

Neue Idee: nehme q_a, p_a (statt q_a, \dot{q}_a) als Koordinaten \rightarrow diese bilden einen $2s$ -dim. Phasenraum

• wollen in $L(q, \dot{q}, t)$ die \dot{q}_a durch p_a ersetzen

\Rightarrow müssen die Def $p_a = \frac{\partial L}{\partial \dot{q}_a} L(q, \dot{q}, t)$ invertieren!

aber z.B.:



d.h. $p \leftrightarrow q$ nicht eindeutig;

Jedoch: $p \leftrightarrow q$ eindeutig, falls $\dot{q} < B$ oder $\dot{q} > B$

\Rightarrow Invertieren nur möglich in einem Bereich mit $\frac{\partial^2 L}{\partial \dot{q}^2} \neq 0$

• auch nach Beschränkung auf z.B. $\dot{q} < B$

enthält $L(q, \dot{q}(p), t)$ weniger Information als $L(q, \dot{q}, t)$!

z.B. $L = \frac{m}{2} \dot{q}^2, p = \frac{\partial L}{\partial \dot{q}} = m \dot{q}, L = \frac{1}{2m} p^2$

vs. $\tilde{L} = \frac{m}{2} (\dot{q} - f(q))^2, \tilde{p} = m(\dot{q} - f(q)), \tilde{L} = \frac{1}{2m} \tilde{p}^2$

verschiedene Physik (EL-Ges.)

dieselbe Funktion?! ψ

die Lösung des Problems: Legendre-Transformations

Behauptung: Die Hamilton-Funktion, def. durch

$$H(q, p, t) \equiv \sum_{a=1}^s \dot{q}_a \frac{\partial L}{\partial \dot{q}_a} - L = \sum_{a=1}^s \dot{q}_a p_a - L$$

enthält dieselbe Information wie $L(q, \dot{q}, t)$,

d.h. aus gegebenem $H(q, p, t)$ kann $L(q, \dot{q}, t)$

rekonstruiert werden (solange $\det(\frac{\partial^2 L}{\partial \dot{q}_a \partial \dot{q}_b}) \neq 0$ ist).

Bem: • in H muss \dot{q} durch p ersetzt werden; H formal \dot{q} -unabh.:

$$\frac{\partial H}{\partial \dot{q}_b} = \frac{\partial}{\partial \dot{q}_b} \left[\sum_{a=1}^s \dot{q}_a p_a - L \right] = p_b - \frac{\partial L}{\partial \dot{q}_b} = p_b - p_b = 0$$

- die Transformation von $L \rightarrow H$ heißt Legendre-Transf. bzgl. \dot{q}
- physikalisch entspricht H der Energie des Systems

Beweis: (durch explizite Konstruktion: inverse Leg-Transf.)

sei H gegeben; def $\dot{Q}_b \equiv \frac{\partial H}{\partial p_b} = \frac{\partial}{\partial p_b} \left[\sum_{a=1}^s \dot{q}_a p_a - L(q, \dot{q}, t) \right]$

$$= \dot{q}_b + \sum_{a=1}^s \frac{\partial \dot{q}_a}{\partial p_b} p_a - \sum_{a=1}^s \frac{\partial L}{\partial \dot{q}_a} \frac{\partial \dot{q}_a}{\partial p_b} = \dot{q}_b$$

def $L^{new} \equiv \sum_{b=1}^s p_b \frac{\partial H}{\partial p_b} - H = \sum_{b=1}^s p_b \dot{q}_b - \left[\sum_{a=1}^s \dot{q}_a p_a - L \right] = L$ qed

Bsp sei: $L \equiv \frac{m}{2} \dot{q}^2 - V(q)$

$$\Rightarrow p = \frac{\partial L}{\partial \dot{q}} = m \dot{q}, \quad H = p \dot{q} - L = m \dot{q}^2 - \left(\frac{m}{2} \dot{q}^2 - V(q) \right) = \frac{m}{2} \dot{q}^2 + V(q)$$

inverse Transf: $\dot{q} = \frac{\partial H}{\partial p} = \frac{p}{m}, \quad L^{new} = p \dot{q} - H = \frac{p^2}{m} - \left(\frac{p^2}{2m} - V(q) \right) = \frac{p^2}{2m} - V(q) = \frac{m}{2} \dot{q}^2 - V(q) \quad \checkmark$

Bsp (Thermodynamik): innere Energie $U(S, V, N)$

Temperatur $T = \frac{\partial U}{\partial S}$

freie Energie $F(T, V, N) = U(S, V, N) - S \frac{\partial U}{\partial S} = U - TS$

(d.h. $-F \Leftrightarrow U$ ist Legendre Transf.)



\rightarrow wissen nun, dass im Prinzip alle Informationen in der Hamilton-Funktion $H(q, p, t)$ enthalten ist.

\rightarrow wie beschreibt man nun die Dynamik des Systems (d.h. Zeitabläufe der Phasenraumkoord. q, p) ?

\Rightarrow Euler-Lagrange-Gleichungen durch H ausdrücken!

• wissen schon (S. 54), dass $\frac{dq_a}{dt} = \frac{\partial H}{\partial p_a}$ gilt

• betrachte nun noch $\frac{dp_a}{dt}$:

$$H = \sum_{b=1}^s p_b \dot{q}_b(q, p, t) - L(q, \dot{q}(q, p, t), t)$$

$$\Rightarrow \frac{dH}{dp_a} = \sum_{b=1}^s p_b \frac{\partial \dot{q}_b}{\partial p_a} - \frac{\partial L}{\partial p_a} = \sum_{b=1}^s \frac{\partial L}{\partial \dot{q}_b} \frac{\partial \dot{q}_b}{\partial p_a} - \frac{\partial L}{\partial p_a} = \frac{d}{dt} p_a$$

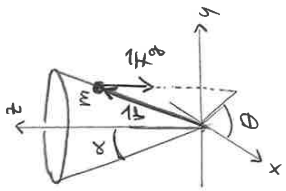
$$\Rightarrow \text{Hamiltonsche Bewegung} \quad \frac{dq_a}{dt} = \frac{\partial H}{\partial p_a}, \quad \frac{dp_a}{dt} = - \frac{\partial H}{\partial q_a}$$

Bem: • im Hamilton-Formalismus haben wir also 2 Dgl'n 1. Ordnung (statt 1 Dgl 2. Ordnung)

• es folgt $\frac{dH}{dt} = \sum_a \frac{dH}{dp_a} \frac{dp_a}{dt} + \sum_a \frac{\partial H}{\partial q_a} \frac{dq_a}{dt} = \frac{dH}{dt} = - \frac{dH}{dt} = 0$

falls $H(q, p, t)$ also nicht explizit von t abhängt, ist $\frac{dH}{dt} = 0 \Rightarrow H = \text{Energie}$ bleibt erhalten.

(vgl. Ü16: Massenpunkt gleitet reibungsfrei im Schwerkraftfeld auf einem Kreiskegel)



Wähle verallg. Koord.: $r = (r, \theta, z)$
 ((Öffnungswinkel des Kegels α bleibt konstant))

$$\vec{r} = \begin{pmatrix} r \sin \alpha \cos \theta \\ r \sin \alpha \sin \theta \\ r \cos \alpha \end{pmatrix}, \quad \dot{\vec{r}} = \begin{pmatrix} \dot{r} \sin \alpha \cos \theta - \dot{\theta} r \sin \alpha \sin \theta \\ \dot{r} \sin \alpha \sin \theta + \dot{\theta} r \sin \alpha \cos \theta \\ \dot{r} \cos \alpha \end{pmatrix}$$

$$\begin{aligned} T &= \frac{m}{2} \dot{\vec{r}}^2 = \frac{m}{2} (\dot{r}^2 + \dot{\theta}^2 r^2 \sin^2 \alpha) \\ V &= mgr \cos \alpha \\ L &= T - V = \frac{m}{2} (\dot{r}^2 + \dot{\theta}^2 r^2 \sin^2 \alpha) - mgr \cos \alpha \quad (s=2) \end{aligned}$$

verallg. Imp. $p_r = \partial_{\dot{r}} L = m \dot{r}$, $p_\theta = \partial_{\dot{\theta}} L = m \dot{\theta} r^2 \sin^2 \alpha$

\Rightarrow Hamilton-Funktion ist dann

$$\begin{aligned} H &= \dot{p}_r r + \dot{p}_\theta \theta - L \\ &= m \dot{r}^2 + m \dot{\theta}^2 r^2 \sin^2 \alpha - \frac{m}{2} (\dot{r}^2 + \dot{\theta}^2 r^2 \sin^2 \alpha) + mgr \cos \alpha \\ &= \frac{m}{2} \dot{r}^2 + \frac{m}{2} \dot{\theta}^2 r^2 \sin^2 \alpha + mgr \cos \alpha \\ &= \frac{p_r^2}{2m} + \frac{p_\theta^2}{2m r^2 \sin^2 \alpha} + mgr \cos \alpha \end{aligned}$$

\Rightarrow die Hamiltonischen Bewegungsgleichungen lauten also:

$$\begin{aligned} \frac{dr}{dt} &= \frac{\partial H}{\partial p_r} = \frac{p_r}{m}, & \frac{dp_r}{dt} &= -\frac{\partial H}{\partial r} = \frac{p_\theta^2}{m r^3 \sin^2 \alpha} - mg \cos \alpha \\ \frac{d\theta}{dt} &= \frac{\partial H}{\partial p_\theta} = \frac{p_\theta}{m r^2 \sin^2 \alpha}, & \frac{dp_\theta}{dt} &= -\frac{\partial H}{\partial \theta} = 0 \quad (\Rightarrow p_\theta \text{ erhalten}) \end{aligned}$$

$$\Rightarrow \frac{d^2 r}{dt^2} = \frac{1}{m} \frac{dp_r}{dt} = \frac{p_\theta^2}{m^2 \sin^2 \alpha r^3} - g \cos \alpha = \frac{c_1}{r^3} + c_2$$

((Gg. hängt nicht von θ ab \Rightarrow c_2 ist konst.))
 danach kann $\theta(t)$ aus $\frac{d\theta}{dt} = \frac{p_\theta}{m r^2 \sin^2 \alpha} = \frac{1}{r^2(t)}$ bestimmt werden))

4.2 kanonische Transformationen

wollen Hamiltonsche Bewegungsgleichungen (s. 5.5.5) $\frac{dq_\alpha}{dt} = + \frac{\partial H}{\partial p_\alpha}$, $\frac{dp_\alpha}{dt} = - \frac{\partial H}{\partial q_\alpha}$ noch eleganter / symmetrischer schreiben

betrachte eine beliebige im Phasenraum def. Funktion $f(q, p, t)$

$$\begin{aligned} \Rightarrow \frac{df}{dt} &= \sum_{\alpha=1}^n \frac{\partial f}{\partial q_\alpha} \frac{dq_\alpha}{dt} + \sum_{\alpha=1}^n \frac{\partial f}{\partial p_\alpha} \frac{dp_\alpha}{dt} + \frac{\partial f}{\partial t} \\ &= \sum_{\alpha=1}^n \left(\frac{\partial f}{\partial q_\alpha} \frac{\partial H}{\partial p_\alpha} - \frac{\partial f}{\partial p_\alpha} \frac{\partial H}{\partial q_\alpha} \right) + \frac{\partial f}{\partial t} \end{aligned}$$

def. Poisson-Klammer $\{f, g\} = \sum_{\alpha=1}^n \left(\frac{\partial f}{\partial q_\alpha} \frac{\partial g}{\partial p_\alpha} - \frac{\partial f}{\partial p_\alpha} \frac{\partial g}{\partial q_\alpha} \right)$

wobei $f(q, p, t)$, $g(q, p, t)$ beliebige reellwertige Fkt sind

$$= \{f, H\} + \frac{\partial f}{\partial t}$$

damit ist auch $\frac{dq_\alpha}{dt} = \{q_\alpha, H\}$, $\frac{dp_\alpha}{dt} = \{p_\alpha, H\}$

denn: $\{q_\alpha, H\} = \sum_{\beta=1}^n \frac{\partial q_\alpha}{\partial q_\beta} \frac{\partial H}{\partial p_\beta} - \sum_{\beta=1}^n \frac{\partial q_\alpha}{\partial p_\beta} \frac{\partial H}{\partial q_\beta} = \frac{\partial H}{\partial p_\alpha}$ ✓

$\{p_\alpha, H\} = \sum_{\beta=1}^n \frac{\partial p_\alpha}{\partial q_\beta} \frac{\partial H}{\partial p_\beta} - \sum_{\beta=1}^n \frac{\partial p_\alpha}{\partial p_\beta} \frac{\partial H}{\partial q_\beta} = - \frac{\partial H}{\partial q_\alpha}$ ✓

\Rightarrow Eigenschaften der Poisson-Klammer:

- $\{g, f\} = - \{f, g\}$ ist antisymmetrisch
- für eine Konstante c gilt: $\{f, c\} = 0$
- $\{c_1 f_1 + c_2 f_2, g\} = c_1 \{f_1, g\} + c_2 \{f_2, g\}$ ist bilinear
- $\{f, \{g, h\}\} + \{g, \{h, f\}\} + \{h, \{f, g\}\} = 0$ Jacobi-Identität

Beweis durch explizites Ausrechnen ...

$$\begin{aligned} \{h, \{f, g\}\} &= \sum_{\alpha, \beta} \frac{\partial h}{\partial q_\alpha} \left(\frac{\partial f}{\partial p_\beta} \frac{\partial g}{\partial q_\alpha} - \frac{\partial f}{\partial q_\beta} \frac{\partial g}{\partial p_\alpha} \right) + \frac{\partial f}{\partial p_\beta} \frac{\partial g}{\partial q_\alpha} \frac{\partial h}{\partial q_\alpha} - \frac{\partial f}{\partial q_\beta} \frac{\partial g}{\partial p_\alpha} \frac{\partial h}{\partial p_\alpha} \\ &\quad - \sum_{\alpha, \beta} \frac{\partial h}{\partial p_\alpha} \left(\frac{\partial f}{\partial q_\beta} \frac{\partial g}{\partial p_\alpha} - \frac{\partial f}{\partial p_\beta} \frac{\partial g}{\partial q_\alpha} \right) + \frac{\partial f}{\partial q_\beta} \frac{\partial g}{\partial p_\alpha} \frac{\partial h}{\partial p_\alpha} - \frac{\partial f}{\partial p_\beta} \frac{\partial g}{\partial q_\alpha} \frac{\partial h}{\partial q_\alpha} \end{aligned}$$

andere Terme addieren, Indizes umbenennen ... = 0 qed

• $\{q_1, q_2\} = 0 = \{p_1, p_2\}$
 denn z.B. $\{q_1, q_2\} = \sum \left(\frac{\partial q_1}{\partial q_c} \frac{\partial q_2}{\partial q_c} - \frac{\partial q_1}{\partial p_c} \frac{\partial q_2}{\partial p_c} \right) = 0$ w

• $\{q_1, p_2\} = \sum \left(\frac{\partial q_1}{\partial q_c} \frac{\partial p_2}{\partial q_c} - \frac{\partial q_1}{\partial p_c} \frac{\partial p_2}{\partial p_c} \right) = \sum \delta_{1c} \delta_{2c} = \delta_{12}$

→ sehr wichtiger Spezialfall; hat direktes Analogon in Quantenmechanik

→ betrachte nun Transformationen des Koordinaten

$Q_a = Q_a(q, t)$ ist Punkttrafo im Koord.-Raum ((z.B. $(x, y) \rightarrow (r, \varphi)$))

$\begin{cases} Q_a = Q_a(q, p, t) \\ P_a = P_a(q, p, t) \end{cases}$ ist Punkttrafo im Phasenraum (allgemeiner als Δ)

man spricht von einer kanonischen Transformationsfunktion, falls die neuen Koord. die Werte von Poisson-Klammern nicht ändern;

d.h. $\{f, g\}_{qp} = \{f, g\}_{QE}$, insbesondere $\{Q_a, Q_b\} = 0 = \{P_a, P_b\}$
 $\{Q_a, P_b\} = \delta_{ab}$

Beil (5=1) $\{f, g\}_{qp} = \frac{\partial f}{\partial q} \frac{\partial g}{\partial p} - \frac{\partial f}{\partial p} \frac{\partial g}{\partial q}$, $\{f, g\}_{QE} = \frac{\partial f}{\partial Q} \frac{\partial g}{\partial E} - \frac{\partial f}{\partial E} \frac{\partial g}{\partial Q}$

$$\left(\frac{\partial f}{\partial Q} \frac{\partial g}{\partial E} + \frac{\partial f}{\partial E} \frac{\partial g}{\partial Q} \right) \left(\frac{\partial f}{\partial q} \frac{\partial g}{\partial p} - \frac{\partial f}{\partial p} \frac{\partial g}{\partial q} \right) - \left(\frac{\partial f}{\partial q} \frac{\partial g}{\partial p} + \frac{\partial f}{\partial p} \frac{\partial g}{\partial q} \right) \left(\frac{\partial f}{\partial Q} \frac{\partial g}{\partial E} - \frac{\partial f}{\partial E} \frac{\partial g}{\partial Q} \right)$$

$$= \left(\frac{\partial f}{\partial q} \frac{\partial g}{\partial p} - \frac{\partial f}{\partial p} \frac{\partial g}{\partial q} \right) \left(\frac{\partial f}{\partial Q} \frac{\partial g}{\partial E} - \frac{\partial f}{\partial E} \frac{\partial g}{\partial Q} \right)$$

$\{f, g\}_{QE} \{Q, E\}_{qp}$

→ für kanon. Trafo $|\dot{A}| = \{Q, E\}_{qp} = \det \begin{pmatrix} \frac{\partial Q}{\partial q} & \frac{\partial Q}{\partial p} \\ \frac{\partial E}{\partial q} & \frac{\partial E}{\partial p} \end{pmatrix} = \frac{\partial(Q, E)}{\partial(q, p)}$

allg. lineare Trafo: $Q = a_{11}q + a_{12}p + b_1$, $E = a_{21}q + a_{22}p + b_2$
 $\Rightarrow \frac{\partial(Q, E)}{\partial(q, p)} = \det \begin{pmatrix} a_{11} & a_{12} \\ a_{21} & a_{22} \end{pmatrix} = \det A = 1$

→ die Matrix A muss unimodular sein;

z.B. $A = \begin{pmatrix} \cos \varphi & -\sin \varphi \\ \sin \varphi & \cos \varphi \end{pmatrix}$ Drehung

$A = \begin{pmatrix} \lambda & 0 \\ 0 & \frac{1}{\lambda} \end{pmatrix}$ Skalentransformation

$A = \begin{pmatrix} 0 & -1 \\ 1 & 0 \end{pmatrix}$ $Q \leftrightarrow p, E \leftrightarrow q$

→ allg. Fall (5.21):

$$\{f, g\} = \sum \left(\frac{\partial f}{\partial q_a} \frac{\partial g}{\partial q_a} - \frac{\partial f}{\partial p_a} \frac{\partial g}{\partial p_a} \right) = \left(\left\{ \frac{\partial f}{\partial q_a} \right\}, \left\{ \frac{\partial g}{\partial q_a} \right\} \right) - \left(\left\{ \frac{\partial f}{\partial p_a} \right\}, \left\{ \frac{\partial g}{\partial p_a} \right\} \right)$$

es gilt auch:

$$\left(\left\{ \frac{\partial f}{\partial q_a} \right\}, \left\{ \frac{\partial g}{\partial q_a} \right\} \right) = \left(\sum \left(\frac{\partial Q_1}{\partial q_a} \frac{\partial Q_2}{\partial q_a} + \frac{\partial P_1}{\partial q_a} \frac{\partial P_2}{\partial q_a} \right), \left\{ \frac{\partial f}{\partial q_a} \right\} \right)$$

$$\left(\left\{ \frac{\partial f}{\partial p_a} \right\}, \left\{ \frac{\partial g}{\partial p_a} \right\} \right) = \left(\sum \left(\frac{\partial Q_1}{\partial p_a} \frac{\partial Q_2}{\partial p_a} + \frac{\partial P_1}{\partial p_a} \frac{\partial P_2}{\partial p_a} \right), \left\{ \frac{\partial f}{\partial p_a} \right\} \right)$$

also ist $\{f, g\}_{qp} = \{f, g\}_{QE} \Leftrightarrow M^T J M = J$

solle Matrizen M bilden eine "symplektische" Gruppe $Sp(2s)$

((denn: $A^T J A = J$ und $B^T J B = J$)
 $\Rightarrow (AB)^T J AB = B^T A^T J AB = B^T J B = J$)

die $Sp(2s)$ ist Grundlage für "Mathematik der klassischen Mechanik"
 ((s. z.B. [V. Arnold, Mathem. Meth. der klass. Mech.]))

Bem.

• Zeitabhängigkeit kann auch als kanon. Trafo gesehen werden:
 $Q_a = Q_a(q, p, t)$, $P_a = P_a(q, p, t)$ mit Anfangsbed. q_0, p_0

denn: $Q_6 = q_6 + \Delta t \frac{dQ_6}{dt} = q_6 + \Delta t \frac{\partial H}{\partial p_6}$

$P_6 = p_6 + \Delta t \frac{dP_6}{dt} = p_6 - \Delta t \frac{\partial H}{\partial q_6}$

$\Rightarrow M = \begin{pmatrix} 1 + \Delta t \frac{\partial^2 H}{\partial q_a \partial p_b} & -\Delta t \frac{\partial^2 H}{\partial p_a \partial p_b} \\ \Delta t \frac{\partial^2 H}{\partial p_a \partial q_b} & 1 - \Delta t \frac{\partial^2 H}{\partial q_a \partial q_b} \end{pmatrix}$, $M^T J M = \dots = J + O(\Delta t^2)$ quad.

• Ziel: finde kanon. Trafo, so dass die Q_a zyklisch sind

dann: $H = H(P_a, t)$, $\frac{dQ_a}{dt} = -\frac{\partial H}{\partial P_a} = 0$, $\frac{dQ_a}{dt} = \frac{\partial H}{\partial P_a}$

falls $H(P_a, t) \Rightarrow Q_a(t) = \frac{\partial H}{\partial P_a} \cdot t + Q_a(0)$ System ist integrierbar

• wegen $M^T J M = J \Rightarrow |\det M| = 1$ gilt

$\int \delta(Q_1, \dots, \delta Q_s, \dots, \delta E) = \int \delta q_1 \dots \delta q_s \delta p_1 \dots \delta p_s \left| \det \frac{\partial(Q, E)}{\partial(q, p)} \right|$
 $= \int \delta q_1 \dots \delta q_s \delta p_1 \dots \delta p_s$

\Rightarrow Volumenelement im Phasenraum ist eine kanonische Invariante!

((Wichtig in statistischer Mechanik; s. auch § 4.3.2))

→ ein Punkt T im Phasenraum hat die Geschwindigkeit

$$\frac{dT}{dt} = \left(\frac{dq_1}{dt}, \dots, \frac{dq_s}{dt}, \frac{dp_1}{dt}, \dots, \frac{dp_s}{dt} \right)$$

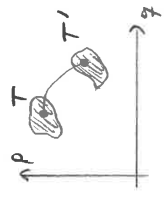
$$= \left(\frac{\partial H}{\partial p_1}, \dots, \frac{\partial H}{\partial p_s}, -\frac{\partial H}{\partial q_1}, \dots, -\frac{\partial H}{\partial q_s} \right) = \vec{\omega}(q, p, t)$$

$\vec{\omega}(q, p, t)$ ist 2s-dim Vektorfeld im Phasenraum;
falls $H(q, p, t) \Rightarrow$ auf $\vec{\omega}(q, p, t)$
(s. auch math. Phasenraum. pdf online)

for das Vektorfeld $\vec{\omega}$ gilt (vgl. Kontinuitätsgl. $\dot{s} + \vec{\nabla} \cdot \vec{j} = 0$)

$$\text{div } \vec{\omega} = \vec{\nabla} \cdot \vec{\omega} = \sum_{\alpha=1}^s \frac{\partial \omega_\alpha}{\partial q_\alpha} + \sum_{\alpha=1}^s \frac{\partial \omega_{s+\alpha}}{\partial p_\alpha}$$

$$= \sum_{\alpha=1}^s \left(\frac{\partial^2 H}{\partial q_\alpha \partial p_\alpha} - \frac{\partial^2 H}{\partial p_\alpha \partial q_\alpha} \right) = 0$$



für einen Teilbereich T des Phasenraums;
jeder Punkt $\in T$ verschiebt sich aufgrund
der Bewegung, also verschiebt sich $T \rightarrow T'$.

⇒ Satz von Liouville: das Volumen eines Teilbereichs des Phasenraums, der gemäß den Hamiltonschen Equat. verschieben wird, bleibt konstant, d.h. $\text{Vol}(T) = \text{Vol}(T')$.

Bem. die Form von T ändert sich i.A. bei der Verschiebung

- vgl. auch Bem. auf S. 59: Volumenelement invariant
- interpretiere T z.B. als Menge von nahe beieinander liegenden Nasepunkten mit ähnlichen Geschwindigkeiten (z.B. Teilvolumen einer strömenden Flüssigkeit)
- wichtige Anwendungen des Satzes v. Liouville z.B. in klassischer statistischer Mechanik

4.3 Phasenraum und Satz von Liouville

betrachte ein System mit s Freiheitsgraden;
vorbilg. Koord. q_α , kanonisch konj. Impulse p_α

⇒ die Punkte $T = (q_1, \dots, q_s, p_1, \dots, p_s)$ bilden ein 2s-dimensionales Phasenraum des Systems (vgl. S. 4.1)

- ein Punkt im Phasenraum \Leftrightarrow ein vollständig charakteristischer Zustand des Systems
- Zeitentwicklung des Systems definiert eine Kurve im Phasenraum, die Phasenraum-Trajektorie

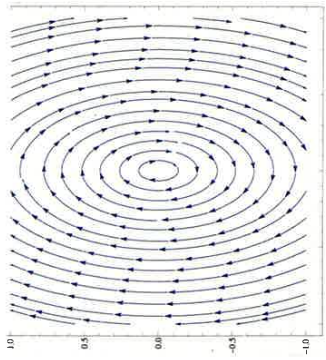
Bsp.: (1-dim H.O.) $H = \frac{p^2}{2m} + \frac{1}{2} k q^2$

$$\Rightarrow \frac{dq}{dt} = -\frac{\partial H}{\partial p} = -\frac{p}{m}, \quad \frac{dp}{dt} = \frac{\partial H}{\partial q} = kq$$

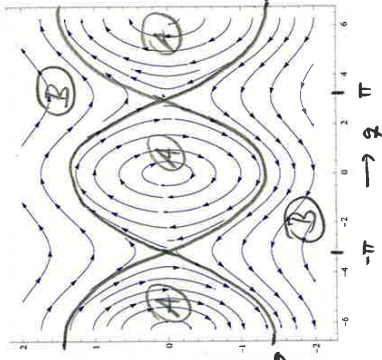
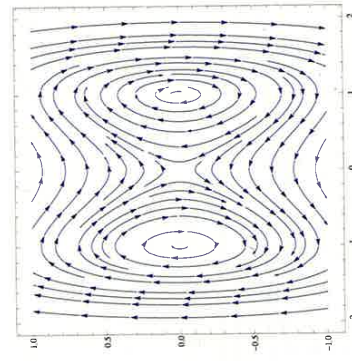
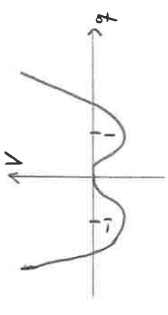
$$\Rightarrow \frac{d^2 q}{dt^2} = \frac{1}{m} \frac{dp}{dt} = \frac{1}{m} kq = -\omega^2 q$$

$$Lsg \quad q = A \cos(\omega(t-t_0))$$

$$p = -m\omega A \sin(\omega(t-t_0))$$



← Bsp.: (quantisches Rotations)



Bsp.: (Pendel; vgl. S. 2.3, S. 2.8)

$$q = \varphi, \quad L = \frac{1}{2} I \dot{\varphi}^2 + mgl \cos \varphi$$

$$p = \partial_{\dot{\varphi}} L = m l^2 \dot{\varphi}, \quad H = \frac{p^2}{2m l^2} - mgl \cos \varphi$$

- Schwünge \textcircled{A} Separatrix \rightarrow
Drehungen \textcircled{B}

→ zum Beweis des Satzes v. Liouville:

wähle eine (gleichmäßig verteilte) Menge von N Partikeln im als "Tracer" zum dem Teilbereich T zu folgen:



die Teilchendichte S genügt der Kontinuitätsgleichung

$$\partial_t S + \vec{v} \cdot \vec{\nabla} S = 0,$$

wobei $\vec{v} = \dot{\vec{q}}$ die Teilchenstromdichte ist

$$\left(\frac{\text{Teilchen}}{\text{Fläche} \cdot \text{Zeit}} \right) = \frac{\text{Teilchen}}{\text{Volumen}} \cdot \frac{\text{Dichte}}{\text{Zeit}}$$

$$\Rightarrow \vec{\nabla} \cdot (S \vec{v}) = (\vec{\nabla} S) \cdot \vec{v} + S (\vec{\nabla} \cdot \vec{v}) = 0 \quad (\text{Liouville Annahme: Teilchen gleichmäßig verteilt})$$

$\Rightarrow \partial_t S = 0$, Teilchendichte bleibt konstant

wegen $N(t) = \int \text{Vol}(T(t)) S(t)$, und da sowohl S als

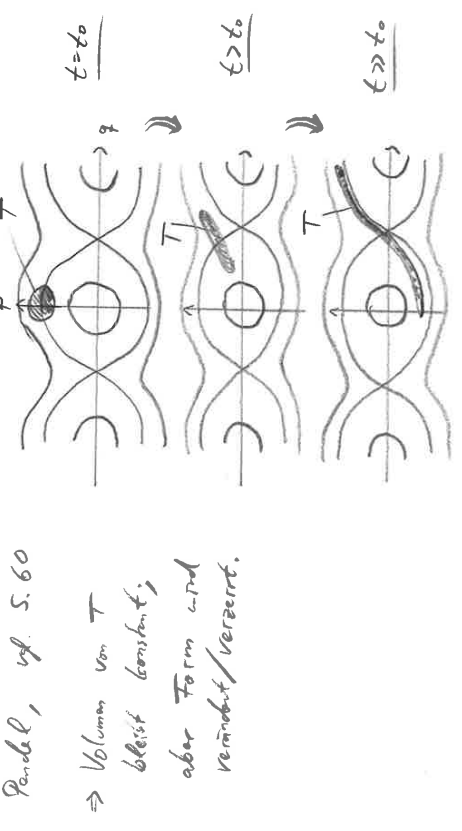
auch N (Liouville Annahme) konstant sind, muss das Volumen des

Bereichs T auch konstant bleiben. qed

→ Die Dynamik von Systemen ist deterministisch.

Phasenraum betrachtetungen machen deutlich, dass bei einigen Systemen kleine Änderungen der Anfangsbedingungen große Änderungen im Endergebnis herbeiführen können;

Bsp: Pendel, vgl. S. 60



⇒ Volumen von T bleibt konstant, aber Form wird verändert/verzerrt.

Bem.: • manchmal ist die Verzerrung sehr groß; aber für $t \rightarrow \infty$ besetzt Teilbereich (oft: Punkt, Linie) (Grenzzyklus / Attraktor)

kann dann auch einen seltsamen Bereich des Phasenraums fällen, sogar einen Bereich von nicht ganzzahligen Dimension \rightarrow man spricht dann von Chaos

• quantitatives Maß für das Auseinanderstreben der Linien:

$$S(t) = S(t_0) e^{\lambda(t-t_0)}$$

↳ Entfernung zweier Punkte im Phasenraum Lyapunov-Exponent

⇒ für $\lambda > 0$ ist die Bewegung chaotisch

• z.B. Himmelsmechanik / Stabilität des Sonnensystems

→ Dreikörperproblem, nicht analytisch lösbar, kann chaotische Bahnen haben

→ Sonnensystem: $\lambda \approx +3 \cdot 10^{-10} \frac{1}{\text{Jahr}}$

• neues Prinzip (Einstein, ca. 1905)
 für Licht gilt $c = \left| \frac{d\vec{x}}{dt} \right| = \left| \frac{d\vec{x}}{dt} \right|$ Messung durch Zuer
 Energie, z.B. Energy + beobachtet
 $\Rightarrow |d\vec{x}'| = c dt'$ $|d\vec{x}| = c dt$

$\Rightarrow c^2 dt'^2 - dx'^2 = c^2 dt^2 - dx^2 \equiv ds^2$ Abstand sei invariant.

lineare Transform (Lorentz) = $\Lambda_{4 \times 4} \begin{pmatrix} c dt \\ dx \end{pmatrix}$, die diese Bedingungen erfüllen, heißen Lorentz-Transformationen

Bsp: eine Drehung $\Lambda = \begin{pmatrix} 1 & 0 \\ 0 & R \end{pmatrix}$ mit $R^T R = \mathbb{1}_{3 \times 3}$ ist eine Lorentz-Transform, denn:

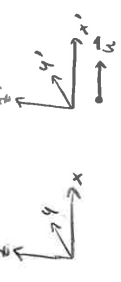
$\begin{pmatrix} c dt' \\ dx' \end{pmatrix} = \begin{pmatrix} c dt \\ R dx \end{pmatrix} \Rightarrow c^2 dt'^2 - dx'^2 = c^2 dt^2 - dx^2 = c^2 dt^2 - dx^2$

• Boosts müssen verallgemeinert werden:

betrachte Boost in Richtung \vec{u}

$\hat{=}$ Drehung von \vec{u} auf $|\vec{u}| \vec{e}_1$, dann Boost in \vec{e}_1 -Richtung, dann Rückdrehung

\Rightarrow oblt genügt es, Boosts in x-Richtung zu betrachten,



$\begin{pmatrix} c dt' \\ dx' \\ dy' \\ dz' \end{pmatrix} = \begin{pmatrix} A & B & 0 & 0 \\ C & D & 0 & 0 \\ 0 & 0 & 1 & 0 \\ 0 & 0 & 0 & 1 \end{pmatrix} \begin{pmatrix} c dt \\ dx \\ dy \\ dz \end{pmatrix}$

(in der Richtung $\perp \vec{u}$, d.h. y, z, passiert nichts $\rightarrow \begin{pmatrix} 1 & 0 \\ 0 & 1 \end{pmatrix}$ Richtungen \parallel und $\perp \vec{u}$ mischen nicht $\rightarrow \begin{pmatrix} 0 & 0 & 0 & 0 \\ 0 & 0 & 0 & 0 \end{pmatrix}$)

A, B, C, D $\in \mathbb{R}$ sind Fkt'n der Boost-Gesch. $u \equiv |\vec{u}|$

5. Spezielle Relativitätstheorie: erster Eindruck

\rightarrow bisher in klass. (nicht-relativistischer) Mechanik: absolute Zeit t (Existenz wurde vorausgesetzt)

\rightarrow nun: "Ereignisse" in der Raum-Zeit, (\vec{x}, t) vs (\vec{x}', t')

5.1 Lorentz-Transformation

betrachte Galilei-Transform (vgl. §1.3) zwischen Inertialsystemen

mit der Ereigniszeit $(\vec{x}, t) = (\vec{0}, 0) \Leftrightarrow (\vec{x}', t') = (\vec{0}, 0)$

\rightarrow d.h. Boosts $\vec{x}' = \vec{x} - \vec{u}t$ und Drehungen $\vec{x}' = R\vec{x}$

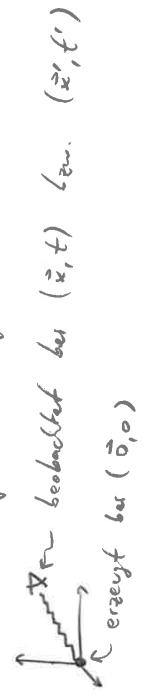


Ereignis \equiv physikalischer Prozess bei (\vec{x}, t) bzw. (\vec{x}', t')

• lautet Galilei-Transform gilt für einen Boost:

$\begin{cases} \vec{x}' = \vec{x} - \vec{u}t \\ t' = t \end{cases} \Rightarrow \vec{v}' = \partial_{t'} \vec{x}' = \partial_t (\vec{x} - \vec{u}t) = \vec{v} - \vec{u}$

dies würde auf für Licht gelten



$\Rightarrow v' \equiv c' \neq c = v$

\rightarrow dies steht im Widerspruch zu

- (a) Experimenten, z.B. Michelson/Morley (1887)
- (b) Maxwell-Gln. (s. Elektrodynamik; alle elektromagn. Wellen haben in allen Inertialsystemen dieselbe Geschwindigkeit $\equiv c$)

\rightarrow Galilei-Transform kann also nicht richtig sein!

→ müssen nur A, \dots, D bestimmen:

(a) wegen $\begin{pmatrix} c dt' \\ dx' \end{pmatrix} = \begin{pmatrix} A c dt + B dx \\ C c dt + D dx \end{pmatrix}$ gilt für den Abstand

$$ds^2 = (A c dt + B dx)^2 - (C c dt + D dx)^2$$

$$= (A^2 c^2 - C^2 c^2) dt^2 + (B^2 - D^2) dx^2 + 2(AB - CD) c dt dx$$

$$\stackrel{!}{=} c^2 dt^2 - dx^2$$

⇒ $A^2 - C^2 = 1, D^2 - B^2 = 1, AB - CD = 0$

nenne $A = \gamma, \gamma^2 = 1 + C^2 \geq 1$, m -dekomponiere $\gamma \neq 0$

$$B = \frac{CD}{\gamma}, D^2 - B^2 = D^2 \left(1 - \frac{C^2}{\gamma^2}\right) = \frac{D^2}{\gamma^2} = 1$$

$$\Rightarrow D = \pm \gamma$$

(b) für $u > 0$ muss notariell $\begin{pmatrix} A & B \\ C & D \end{pmatrix} = \begin{pmatrix} 1 & 0 \\ 0 & 1 \end{pmatrix}$ gelten.

also ist wegen $\gamma^2 \geq 1$ auch m und m $\gamma \geq 1$ (und m $\gamma \leq -1$).

ebenfalls $D = +\gamma$

Somit $B = \frac{CD}{\gamma} = C = \pm \sqrt{\gamma^2 - 1}$

(c) betrachte $dx = 0$ (zwei Ereignisse am Ursprung von Σ)

→ es gilt dann $dx' = -u dt'$ (da $\text{rel } \Sigma$ mit $-u$ bzgl Σ' läuft)

$$dx = 0: \begin{cases} c dt' = A c dt \\ dx' = C c dt \end{cases} \Rightarrow \frac{C}{A} = \frac{dx'}{c dt'} = -\frac{u}{c} = -\beta < 0$$

→ wegen (b) ist $(A = \gamma \geq 1)$ dann $C = -\sqrt{\gamma^2 - 1} < 0$

→ wegen $C = -\beta \gamma$ folgt $(C^2 = \gamma^2 - 1)$

$$\beta^2 \gamma^2 = \gamma^2 - 1 \Leftrightarrow 1 = \gamma^2 (1 - \beta^2) \Rightarrow \gamma = \frac{1}{\sqrt{1 - \beta^2}}$$

⇒ insgesamt also $(\beta = \frac{u}{c})$

$$A = \gamma = \frac{1}{\sqrt{1 - \beta^2}}$$

$$C = -\beta \gamma$$

$$B = C = -\beta \gamma$$

$$D = \gamma$$

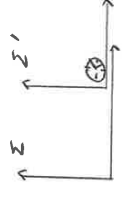
$$\Leftrightarrow \Lambda = \begin{pmatrix} \gamma & -\beta \gamma & 0 & 0 \\ -\beta \gamma & \gamma & 0 & 0 \\ 0 & 0 & 1 & 0 \\ 0 & 0 & 0 & 1 \end{pmatrix}$$

Bem.: • Drehmatrix $R = \begin{pmatrix} \cos \alpha & \sin \alpha \\ -\sin \alpha & \cos \alpha \end{pmatrix} \Rightarrow \det R = \cos^2 \alpha + \sin^2 \alpha = 1$

• Boostmatrix $B = \begin{pmatrix} \gamma & -\beta \gamma \\ -\beta \gamma & \gamma \end{pmatrix} \Rightarrow \det B = \gamma^2 - \beta^2 \gamma^2 = \frac{1 - \beta^2}{1 - \beta^2} = 1$

→ physikalische Konsequenzen:

• Zeitdilatation



eine Uhr ruhe am Σ' -Ursprung,

also $dx = 0$; wie lautet die Beziehung zwischen dt, dt' ?

$$\begin{pmatrix} c dt' \\ dx' \end{pmatrix} = \begin{pmatrix} \gamma & -\beta \gamma \\ -\beta \gamma & \gamma \end{pmatrix} \begin{pmatrix} c dt \\ dx \end{pmatrix}; \text{ es ist } \begin{pmatrix} \gamma & -\beta \gamma \\ -\beta \gamma & \gamma \end{pmatrix}^{-1} = \begin{pmatrix} \gamma & \beta \gamma \\ \beta \gamma & \gamma \end{pmatrix} \begin{pmatrix} c dt \\ dx \end{pmatrix}$$

$$\Leftrightarrow \begin{pmatrix} c dt \\ dx \end{pmatrix} = \begin{pmatrix} \gamma & \beta \gamma \\ \beta \gamma & \gamma \end{pmatrix} \begin{pmatrix} c dt' \\ dx' \end{pmatrix}$$

⇒ (i.z.) $c dt = \gamma c dt' + \beta \gamma dx'$ $\stackrel{v \geq 1}{\Leftrightarrow} dt = \gamma dt' \stackrel{v \ll 1}{\gg} dt'$

⇒ d.h. die bewegte Uhr geht von Σ aus gerade langsamer!

• Längenkontraktion

ein Stab ruhe in Σ' , mit Ruhelänge $L' = dx'$.

eine Messung der Stablänge bzgl. Σ , mit $dt = 0$ gibt:

$$dx' = \gamma dx \Leftrightarrow dx = \frac{dx'}{\gamma} = \frac{L'}{\gamma} \leq L'$$

⇒ d.h. der bewegte Stab scheint bzgl. Σ verkürzt!

Bem.: • Abstand mit $ds^2 = 0$ heissen "Lichtartig"

• Abstand mit $ds^2 = c^2 dt^2 - dx^2 > 0$ heissen "Zeitartig"

(wegen $|dx| < c dt$ kann man die Ereignisse mit Geschw. $\frac{|dx|}{dt} < c$ verbinden)

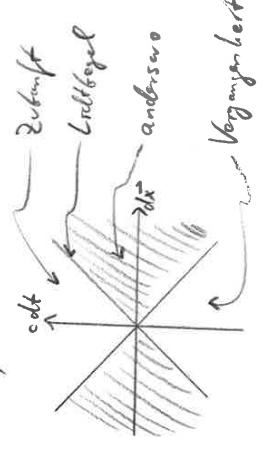
• Abstand mit $ds^2 < 0$

heissen "Raumartig"

(solche Ereignisse können

einander nicht kausal

beeinflussen)



5.2 Vierer Vektoren

→ brauche eine gute/elegante Notation für Spec Rel.

• def $dx = \begin{pmatrix} dx^0 \\ dx^1 \\ dx^2 \\ dx^3 \end{pmatrix}$ mit $dx^0 = c dt$

dx ist ein 4-Vektor, mit Komponenten dx^μ , $\mu \in \{0,1,2,3\}$

Vereinbarung: griechische Indizes laufen von 0...3
lateinische Indizes laufen von 1...3

• Schreibe Lorentz-Transform als

$dx'^\mu = \Lambda^\mu_\nu dx^\nu$, mit $\Lambda = \begin{pmatrix} \Lambda^0_0 & \Lambda^0_1 & \Lambda^0_2 & \Lambda^0_3 \\ \Lambda^1_0 & \Lambda^1_1 & \Lambda^1_2 & \Lambda^1_3 \\ \vdots & \vdots & \vdots & \vdots \end{pmatrix}$
(Matrixschreibweise)
(Komponentenschreibweise)

(Summenkonvention; jetzt für Indizes, die einmal unten und einmal oben vorkommen)

• allg.: $A = \begin{pmatrix} A^0 \\ \vdots \\ A^3 \end{pmatrix}$ ist ein 4-Vektor, falls sind die Komponenten von A^μ wie $A'^\mu = \Lambda^\mu_\nu A^\nu$ transformieren.

→ Frage: kann man 4-Stabre konstruieren, d.h. Größen, die unter Λ invariant sind?

(Erinnerung: für Drehungen: \vec{x} Vektor $\Rightarrow \vec{x} = \vec{x} \cdot \vec{x}$ Skalar; jetzt soll aber $ds^2 = (dx^0)^2 - dx^1 \cdot dx^1 - dx^2 \cdot dx^2 - dx^3 \cdot dx^3$ invariant (bleiben))

• def $A_0 = A^0$, $A_i = -A^i$ (für $i = 1,2,3$)

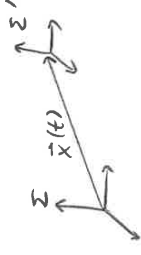
$A^2 = A^\mu A_\mu = (A^0)^2 - \vec{A} \cdot \vec{A}$ Vierer-Skalarprodukt

d.h. ds^2 ist ein 4-Skalar

i.A. sind 4-Skalarprodukte A^2 4-Skalar.

Bem.: das 4-Skalarprodukt ist nicht positiv definit!

Bsp (Eigenzeit eines Teilchens mit Bahnkurve $\vec{x}(t)$)



betrachte zwei Ereignisse; auf Teilchen-feste Uhr z.B. $\mathcal{O} \in \mathcal{E}_a$, $\mathcal{O} \in \mathcal{E}_b$
in Σ : Geschw. zwischen a,b sei konstant
Zeitintervall: Δt

Abstand: $d\vec{x} = \dot{\vec{x}}(t) dt = \vec{v}(t) dt$

in Σ' : Zeitintervall: $\Delta t'$, $\tau =$ "Eigenzeit"
Abstand: $d\vec{x}' = 0$

ds^2 ist invariant $\Rightarrow ds^2 = c^2 dt^2 = c^2 dt'^2 - d\vec{x}^2 = c^2 dt'^2 - \vec{v}^2 dt^2$
 $\Leftrightarrow dt = dt' \sqrt{1 - \frac{v^2(t)}{c^2}}$

\Rightarrow Eigenzeitintervall $dt' = \sqrt{\frac{ds^2}{c^2}}$ ist 4-Skalar

Bsp def. Vierergeschwindigkeit

$u^\mu = \frac{dx^\mu}{dt} = \frac{dx^\mu}{dt} \frac{dt}{dt'} = \frac{1}{\sqrt{1 - \frac{v^2}{c^2}}} \begin{pmatrix} c \\ v^1 \\ v^2 \\ v^3 \end{pmatrix}$

u^μ ist 4-Vektor, weil dx^μ 4-Vektor und dt' 4-Skalar ist.

Bsp $u^2 = u^\mu u_\mu = \frac{1}{1 - \frac{v^2}{c^2}} (c^2 - v^2) = c^2$ ist 4-Skalar

Bsp $(A+B)^2 = (A^\mu + B^\mu)(A_\mu + B_\mu) = A^2 + B^2 + A^\mu B_\mu + B^\mu A_\mu$

\uparrow $A^2 + B^2 + A^\mu B_\mu - \vec{A} \cdot \vec{B} + B^\mu A_\mu - \vec{B} \cdot \vec{A}$
 \uparrow $A^2 + B^2 + 2A \cdot B$
invariant

$\Rightarrow A \cdot B (= A^\mu B_\mu = A_\mu B^\mu)$ ist invariant \forall 4-Vektoren A, B

def A^μ heißt kontravarianter 4-Vektor

A_μ heißt kovarianter 4-Vektor

Verhalten unter Lorentz-Transf (vgl. 5.67): $A'^\mu = \Lambda^\mu_\nu A^\nu$

metrischer Tensor

def $\eta_{\mu\nu} = \eta^{\mu\nu} = \begin{pmatrix} 1 & 0 & 0 & 0 \\ 0 & -1 & 0 & 0 \\ 0 & 0 & -1 & 0 \\ 0 & 0 & 0 & -1 \end{pmatrix}$

- es ist $\eta_{\mu\nu} = \delta_{\mu\nu}$, $\eta^{\mu\nu} = \delta^{\mu\nu}$
- es gilt $A_\mu = \eta_{\mu\nu} A^\nu$, $A^\mu = \eta^{\mu\nu} A_\nu$, $A^2 = A^\mu \eta_{\mu\nu} A^\nu$
- betrachte L.-Trafo eines covar. Vektors (vgl. S. 69)

$A'_\mu = A_\alpha (L^{-1})^\alpha_\mu$

folgt $\eta_{\mu\nu} A'^\mu = \eta_{\mu\nu} A^\alpha (L^{-1})^\alpha_\mu = \eta_{\mu\beta} (L^{-1})^\beta_\alpha \eta^{\alpha\gamma} A_\gamma$

$\Leftrightarrow (L^{-1})^\alpha_\mu = \eta_{\mu\nu} (L^{-1})^\nu_\beta \eta^{\beta\alpha} = \eta^{\alpha\beta} (L^{-1})^\nu_\beta \eta_{\nu\mu}$

↳ Komponentensweise
Matrixschreibweise

$L^{-1} = \eta L^T \eta$

((könnten aber auch als Def. von L nehmen))

- vgl. mit Drehmatrix: $R^T R = \mathbb{1} \Rightarrow R^{-1} = R^T$
- d.h. $L = \begin{pmatrix} 1 & 0 \\ 0 & R \end{pmatrix}$ ist Lorentz-Trafo, denn:

$\eta \begin{pmatrix} 1 & 0 \\ 0 & R \end{pmatrix}^T \eta = \begin{pmatrix} 1 & 0 \\ 0 & -\mathbb{1} \end{pmatrix} \begin{pmatrix} 1 & 0 \\ 0 & R^T \end{pmatrix} \begin{pmatrix} 1 & 0 \\ 0 & -\mathbb{1} \end{pmatrix} = \begin{pmatrix} 1 & 0 \\ 0 & -\mathbb{1} \end{pmatrix} \begin{pmatrix} 1 & 0 \\ 0 & -R^T \end{pmatrix} = \begin{pmatrix} 1 & 0 \\ 0 & \mathbb{1} \end{pmatrix} = \eta^{-1}$

→ wie werden kovariante 4-Vektoren transformiert?

sei $A'_\mu = A_\alpha M^\alpha_\mu$

dann ist $A'_\mu B'^\mu = A'_\mu M^\alpha_\mu = A_\alpha M^\alpha_\mu M^\mu_\beta B^\beta$

(invariant) $\rightarrow A \cdot B = A_\alpha B^\alpha$ & $A'_\mu B'^\mu$

$\Rightarrow M^\alpha_\mu M^\mu_\beta = \delta^\alpha_\beta = \begin{cases} 1 & \text{für } \alpha = \beta \\ 0 & \text{für } \alpha \neq \beta \end{cases}$ (Kronecker-Delta)

↳ Komponentensweise
Matrixschreibweise

$M L = \mathbb{1} \Leftrightarrow M = L^{-1}$

\Rightarrow kovariante Vektoren transformieren sich als $A'_\mu = A_\nu (L^{-1})^\nu_\mu$

→ Vollgenerierung: Vierformatoren

- wenn $T^{\mu\nu}$ wie $A^\mu B^\nu$ transformiert, nennt man T einen konventionellen Tensor zweiter Stufe (vgl. S. 67)
- kovariante Tensoren werden wie kovariante Vektoren gebildet: $T'_{ij} = -T^k_j = -T^k_i \delta^j_k = -T^j_i$

↳ müssen im räuml. Teil

$T'_{0i} = T^0_i = -T^0_i = -T_{0i}$

- Symmetrischer Tensor $(T^{\mu\nu} = T^{\nu\mu})$ ist invariant:

$T'^{\mu\nu} = A^\mu_\alpha A^\nu_\beta T^{\alpha\beta} = \pm A^\mu_\alpha A^\nu_\beta T^{\alpha\beta} = \pm T^{\mu\nu}$

- Kontraktion T^μ_μ gibt einen 4-Skalar
- Kronecker-Delta ist ein invarianter Tensor, denn: $\delta'^{\mu\nu} = A^\mu_\alpha (L^{-1})^\beta_\nu \delta^\alpha_\beta = A^\mu_\alpha (L^{-1})^\alpha_\nu = (L L^{-1})^\mu_\nu = \delta^\mu_\nu$

5.3 Relativistische Mechanik

hier: tensor Erbleit in Umformulierung der klass. Mechanik mit 4-Vektoren etc.

Ziel: Vollstg., die auch für $v \approx c$ gültig ist:

Grundgesetze der Physik müssen in allen Inertialsystemen dieselbe Form haben (Relativitätsprinzip)

→ mehr: Theo II

z.B. $A^\mu = B^\nu \Leftrightarrow 0 = A^\mu - g^{\mu\nu} = \Lambda^\nu_\mu (A^\nu - g^\nu)$ $\Leftrightarrow A^\nu = g^\nu$

→ schreibe Grundgesetze als Gleichungen zwischen 4-Vektoren, 4-Skalaren etc.

Ausgangspkt z.B. Hamiltonsches Prinzip (s. §2.2, S.26):

• Wirkung S sei extremal

↳ reelle Zahl → sollte 4-Skalar sein

nichtred.: $S = \int_{t_1}^{t_2} dt L$ mit $L = \frac{m}{2} \dot{x}^2$ ($\dot{x} = \dot{x}$)

Raumzeit homogen → $S(x, \dot{x})$

wissen aus §5.2, dass $dt = \sqrt{1 - \frac{v^2}{c^2}} dt$ L -Invariant ist

↳ "Herzschlag" des Teilchens

Ansatz $S = -\alpha \int dt$, α eine (zu best.) Konstante

$= \int_{t_1}^{t_2} dt L$ mit $L = -\alpha \sqrt{1 - \frac{v^2}{c^2}} \approx -\alpha \left(1 - \frac{v^2}{2c^2} + O\left(\frac{v^4}{c^4}\right)\right)$

Ⓐ Konstante hat keinen Einfluss auf EL-Gln (vgl. 5.26)

Ⓑ muss nichtred. Limes ergeben! → $\alpha = mc^2$

→ $L = -mc^2 \sqrt{1 - \frac{v^2}{c^2}}$ ($= -mc^2 \Gamma$)

• betrachte kanonisch konjugierten Impuls (s. §2.4, S.32)

$$p^i = \frac{\partial x_i L}{\partial v_i} = -mc^2 \frac{\partial v_i}{\partial v_i} \sqrt{1 - \frac{v^2}{c^2}} = -mc^2 \frac{1}{\Gamma} \left(-\frac{1}{c^2} 2 v_i\right)$$

((check: nichtred. Limes $p^i \approx mv^i (1 + O(v^2/c^2))$))

• betrachte Energie (s. §2.4, S.31)

$$E = \sum_i p^i \dot{x}^i - L = \frac{m \dot{x}^2}{\Gamma} + mc^2 \Gamma = \frac{m}{\Gamma} (v^2 + c^2 - v^2)$$

((check: $E \approx mc^2 + \frac{m}{2} v^2 + O(v^4/c^2) \equiv E_{\text{ Ruhe}} + E_{\text{ kin}} + \dots$)

• basteln nun emm 4-Vektor aus E, p^i :

$u = \frac{1}{\Gamma} \left(\frac{c}{v}\right)$ war 4-Vektor (vgl. §5.2, S.68)

→ def $p = \left(\frac{E/c}{\vec{p}}\right) = \frac{m}{\sqrt{1 - \frac{v^2}{c^2}}} \left(\frac{c}{v}\right) = m u$
 ↳ 4-Vektor
 ↳ 4-Skalar (Relevanz)

Eigenrichtungen von p^μ

• $p^2 = \left(\frac{E}{c}\right)^2 - \vec{p}^2 = m^2 u^2 = m^2 c^2 \Leftrightarrow E^2 = m^2 c^4 + \vec{p}^2 c^2$

↳ $E = \sqrt{m^2 c^4 + \vec{p}^2 c^2} = mc^2 \sqrt{1 + \frac{\vec{p}^2}{m^2 c^2}} \approx mc^2 + \frac{\vec{p}^2}{2m} - \frac{(\vec{p}^2)^2}{8m^3 c^2} + O(p^6)$

• Geschw. \vec{v} aus p^μ berechnen?

aus p -def: $\vec{v} = \frac{\vec{p}}{p_0} = \frac{\vec{p} c}{E}$

Sowie $\vec{p} E = \sum_i \partial_i p^i \sqrt{m^2 c^4 + \vec{p}^2 c^2} = \sum_i \partial_i \frac{1}{2} \frac{2 p_i c^2}{E} = \frac{\vec{p} c^2}{E}$

→ $\vec{v} = \vec{p} E$ (und $|\vec{v}| \rightarrow c$ wenn $|\vec{p}| \rightarrow \infty$)

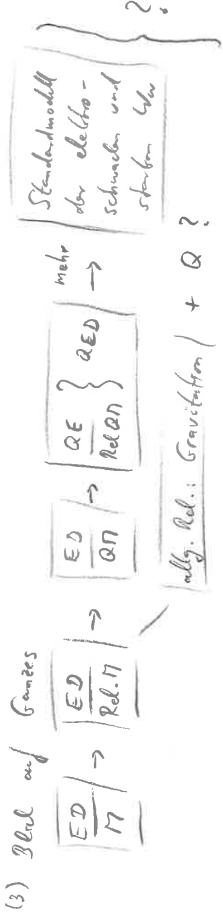
• E, \vec{p} erhalten $\Leftrightarrow p^\mu$ erhalten

(B) Elektrodynamik (ED)

- zwei Knäuel vorher:
- ED führt erstmalig zu einer vollständigen (1) Theorie, welche allerdings nur einen Teilbereich (2) der Natur regiert, und zwar falsch (2)
- ED enthält eine verborgene Symmetrie (relativistische Invarianz)

(1) genügend viele Gln. bzgl. die Zukunft fast
 (($m\vec{F} = \vec{F}$)? Gln. für \vec{F} ? "zweite Hälfte der Theorie")

(2) betrachte $\frac{ED}{T}$: ED + Temperatur = Unfang (oo)
 zB Kondensator im Standardmodell;
 ED ist Kernkraft der Wirklichkeit (falsch und gut)



6. Grundbegriffe der Elektrodynamik (ED)

(Postulate aus 1863)

$$\begin{aligned} \text{div } \vec{E} &= 4\pi\rho & (1) \quad \text{rot } \vec{E} + \dot{\vec{B}}/c &= \vec{0} & (2) \\ \text{div } \vec{B} &= 0 & (3) \quad \text{rot } \vec{B} - \dot{\vec{E}}/c &= 4\pi\vec{j}/c & (4) \\ m\vec{F} &= q(\vec{E} + \vec{v} \times \vec{B}) & &= \vec{F}_{Lorentz} \end{aligned}$$

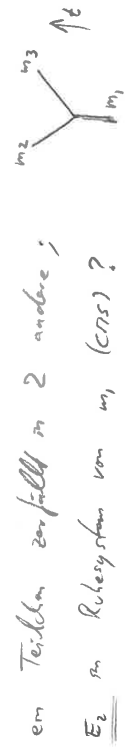
(kann man aus §1, 2, und §15)

"first principles" der emm Welt;
 (elektromagnetisch-mechanisch)

$c = \text{Konstante} = \text{"Lichtgeschwindigkeit"} \approx 299\,792\,458 \text{ m/s}$ (exakt, \approx Natur)

am LHC (Large Hadron Collider, CERN bei Genf)
 werden Protonen (Ruhemasse $m = 938 \frac{\text{TeV}}{c^2} = 1,67 \cdot 10^{-27} \text{ kg}$)
 auf Energie $\gg \text{TeV}$ beschleunigt; $v = ?$

$$\begin{aligned} E &= \frac{m_0 c^2}{\sqrt{1 - \frac{v^2}{c^2}}} \\ \Leftrightarrow \frac{v}{c} &= \sqrt{1 - \left(\frac{m_0 c^2}{E}\right)^2} \approx 1 - \frac{1}{2} \left(\frac{m_0 c^2}{E}\right)^2 + \dots \\ &= 1 - \frac{1}{2} \left(\frac{938 \cdot 10^6}{7 \cdot 10^{12}}\right)^2 \approx 1 - 8,99 \cdot 10^{-9} \\ &\approx 0,999\,999\,991 \dots \end{aligned}$$



E_2 im Ruhesystem von m_1 (CRS)?

4-Impulse: $P_1 = \begin{pmatrix} m_1 c \\ \vec{0} \end{pmatrix}$ $P_2 = \begin{pmatrix} E_2/c \\ \vec{p}_2 \end{pmatrix}$ $P_3 = \begin{pmatrix} E_3/c \\ \vec{p}_3 \end{pmatrix}$

(a) über E-p-Erhaltung:

$$P_1 = P_2 + P_3 \Rightarrow (\mu = 1, 2, 3) \quad \vec{0} = \vec{p}_2 + \vec{p}_3 \Rightarrow \vec{p}_3 = -\vec{p}_2$$

$$\Rightarrow (\mu = 0) \quad m_1 c = \sqrt{m_2^2 c^2 + \vec{p}_2^2} + \sqrt{m_3^2 c^2 + \vec{p}_2^2}$$

→ nach \vec{p}_2^2 auflösen ... dann in E_2 einsetzen...

(b) direkter Weg: $E_2 = \frac{1}{m_1} m_1 c \frac{E_2}{c} = \frac{1}{m_1} P_1 \cdot P_2$

$$= \frac{1}{2m_1} (P_1^2 + P_2^2 - (P_1 - P_2)^2) = \frac{1}{2m_1} (m_1^2 c^2 + m_2^2 c^2 - m_3^2 c^2)$$

(*) bisher (2012) erst 4 TeV
 $\Leftrightarrow \frac{v}{c} \approx 1 - 2,75 \cdot 10^{-8} \approx 0,999\,999\,97 \dots$

$k = 10^3$
 $M = 10^6$
 $G = 10^9$
 $T = 10^{12}$

6.1 Ladungen (elektrische): q, q', \vec{r}

- Teilchen (T.) in jedem T. sehr klein weiter; 2 T. beobachten einander, Wechselwirkung: Grav. schwache em starke Kraft $\sim 1/2$ kurzweil. $1/2$ langreichweitig
- man kann em Vorgänge isolieren.
- in Physik: T. idealisiert als Punktpunkte, Masse m additiv: T. zusammenkleben $M = m_1 + m_2$ $Q = q_1 + q_2$
- istot bekommt DP weitere Eigenschaften: elektrische Ladung q
- Ladungen erzeugen el. + magn. Felder \vec{E}, \vec{B} (via $\text{Flux } 1-4$) Felder üben Kräfte auf Ladungen aus (via \vec{F}_L)
- \rightarrow ED beschreibt gekoppeltes System aus DP + Feldern
- gehobene T. können strömen

def $g(\vec{r}, t) = \lim_{\Delta V \rightarrow 0} \frac{\text{Ladung (in } \Delta V \text{ bei } \vec{r}, t)}{\Delta V}$ Ladungsdichte

\hookrightarrow oft: (atomare Länge) $\ll \Delta V \ll$ (makroskopische Länge)

z.B. Punktladungen: $g(\vec{r}) = \sum q_n \delta^{(3)}(\vec{r} - \vec{r}_n)$

\Rightarrow Gesamtladung im Volumen V : $Q = \int d^3r g(\vec{r})$

def $\vec{j}(\vec{r}, t) = \lim_{\Delta t \rightarrow 0} \frac{\text{Ladung (in } \Delta t \text{ durch } \Delta f \text{ bei } \vec{r}, t)}{\Delta t \cdot \Delta f}$ Stromdichte

falls g die Dichte der Ladungen ist, die sind (bei \vec{r}, t) mit \vec{v} bewegend, dann

$= \lim_{\Delta t \rightarrow 0} \frac{\text{Ladung}(\dots)}{\Delta t \cdot v \cdot \Delta f} v \vec{e} = g(\vec{r}, t) \cdot \vec{v}(\vec{r}, t)$

\hookrightarrow Vol., das in Δt durch Δf geht

Bem. falls die Ladungen sich nicht \perp durch Δf bewegen, ist der Strom durch die \perp Komponente gegeben:

$\Delta I = \vec{j} \cdot \vec{e} \cdot \Delta f = \vec{j} \cdot d\vec{f}$

• d. Ladung ist erhalten (analog zum T.-Zahl)

\rightarrow Ladung in einem Volumen V kann sich nur durch Ab- (oder Zu-) Fluss durch die Oberfläche ∂V ändern.

Gesamtstrom durch Fläche F : $I = I(t) = \int_F d\vec{f} \cdot \vec{j}(\vec{r}, t)$

Ladung innerhalb einer geschlossenen Fläche wird entsprechend kleiner:

$\frac{dQ}{dt} = -I \Leftrightarrow \partial_t \int_V d^3r g(\vec{r}, t) = - \int_{\partial V} d\vec{f} \cdot \vec{j}(\vec{r}, t) = - \int_V d^3r \text{div } \vec{j}$ (Satz v. Gauss)

$\Leftrightarrow \int_V d^3r (\partial_t g + \text{div } \vec{j}) = 0$

dies gilt \forall Volumenelemente V , insbes. infinites. kleine

$\Rightarrow \partial_t g(\vec{r}, t) + \text{div } \vec{j}(\vec{r}, t) = 0$ Kontinuitätsgleichung

\uparrow Stromfeld \uparrow Vektorfeld $\forall \vec{r}, t$

Bsp (Lsg. Q auf Metallkugel, Radius R)

$g(\vec{r}) = \alpha \delta(r-R)$, $Q = \int d^3r g = 4\pi \int dr r^2 \alpha \delta(r-R) = 4\pi \alpha R^2$

$\Leftrightarrow \alpha = \frac{Q}{4\pi R^2}$

Bsp (Strom I durch ∞ dünnen Draht auf z-Achse)

$\vec{j}(\vec{r}) = \alpha \delta(x) \delta(y) \vec{e}_z$, $I = \int d\vec{f} \cdot \vec{j} = \int dx dy \alpha \vec{e}_z \cdot \alpha \delta(x) \delta(y) \vec{e}_z = \alpha$

Bsp (Punktladung q bei $\vec{r}_0(t)$)

$g = q \delta(\vec{r} - \vec{r}_0(t))$, $\vec{j} = g \cdot \vec{v} = q \dot{\vec{r}}_0(t) \cdot \delta(\vec{r} - \vec{r}_0(t))$

\rightarrow s. auch Ü 35

6.2 Maxwell-Gleichungen

die auf S. 74 angegebenen Maxwell-Gl. (1)-(4)

benutzen ein spezifisches Eichsystem:

Coulombs bzw. Lorenz (c, r, s) Eichsystem;

→ dabei werden keine neuen Einheiten für die ED eingeführt, sondern man def. Ladung durch die mechanischen Einheiten (cm, g, s):

(Max 1): $[\dot{E}] = \frac{[q]}{[x]^3} \Rightarrow [E] = \frac{[q]}{[x]^2}$

(Lorenz): $[\dot{E}] = [m \frac{x}{t^2}] = \frac{[q]}{[x]^2} \Rightarrow [q^2] = [m \frac{x^3}{t^2}]$
 $\Rightarrow [E^2] = [\frac{m}{x t^2}]$

es gibt andere (als das Coulombs) Eichsysteme;

allg. $E = \sqrt{k \epsilon_0} \vec{E}^*, \vec{B} = \sqrt{\frac{k}{\mu_0}} \vec{B}^*, (q, s, \dot{q}) = \frac{1}{\sqrt{k \epsilon_0}} (q^*, s^*, \dot{q}^*)$
 ↳ Gauß ↳ anderes Eichsystem

dann $\text{div } \vec{E}^* = \frac{4\pi}{k \epsilon_0} \rho^*, \text{rot } \vec{E}^* + \dot{\vec{B}}^* \sqrt{\frac{\epsilon_0 \mu_0 c^2}{k}} = 0$
 $\text{div } \vec{B}^* = 0, \text{rot } \vec{B}^* - \dot{\vec{E}}^* \sqrt{\frac{\epsilon_0 \mu_0}{k c}} = \frac{4\pi}{k c} \sqrt{\frac{\mu_0}{k \epsilon_0}} \dot{q}^*$
 $\vec{F}_{Lorenz} = q^* (\vec{E}^* + \frac{\vec{v}}{\sqrt{\epsilon_0 \mu_0 c^2}} \times \vec{B}^*)$

• em'ge Eichsysteme: [vgl. auch Jackson, Anhang !!]

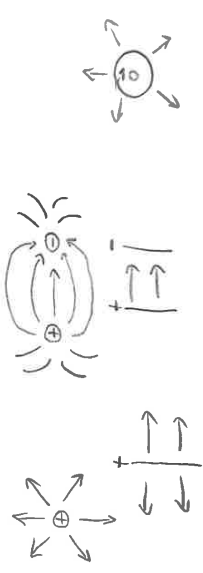
	ϵ_0	μ_0	k
Gauß	1	1	1
Heaviside-Lorenz	1	1	4π
SI	$\frac{1}{\mu_0^2}$	$\frac{4\pi N}{10^7 A}$	4π

↳ $N = \text{Newton} = \frac{kg}{m} = \frac{kg \cdot s}{m} = \frac{kg \cdot m}{s^2}$
 $W = \text{Volt} = VA = \text{Volt} \cdot \text{Ampere}$
 $(C = \text{Coulomb} = As)$

(ϵ_0 : "Dielektrizitätskonstante"
 μ_0 : "Vakuumpermeabilität")

anschaulicher Inhalt der Max

• (Max 1) $\text{div } \vec{E} = 4\pi \rho$: wo Ladung, da \vec{E} -Quellen



• (Max 2) $\text{rot } \vec{E} = -\dot{\vec{B}}/c$: wo \vec{B} -Änderung, da Wirbelstärke



• (Max 3) $\text{div } \vec{B} = 0$: keine \vec{B} -Quellen; \vec{B} -Feldlinien geschlossen!

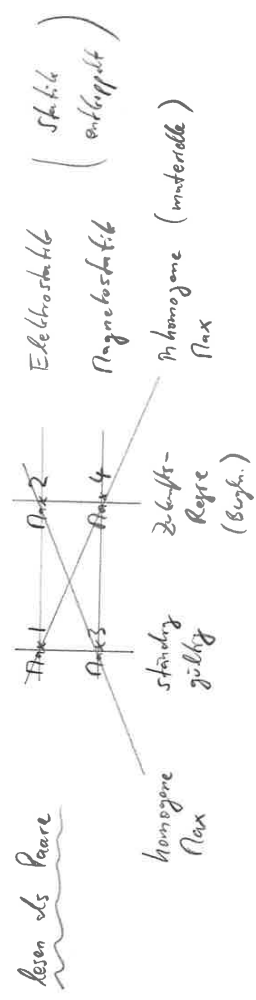
• (Max 4) $\text{rot } \vec{B} = \frac{4\pi}{c} \vec{j} + \dot{\vec{E}}/c$: wo \vec{j} und/oder \vec{E} -Zunahme, da \vec{B} -Wirbel



"em'ge" ED behandle in Folgenden (bis auf Wiederholung)

$S(\vec{r}, t), \vec{j}(\vec{r}, t)$ als bekannt und Max 1-4 als Gl. für \vec{E}, \vec{B}

(Newton außen vor: keine Rückwirkungen Felder → Ladungen)



erste Folgerungen aus Flux

- Flux \Rightarrow Kontinuitätsgly.
wenn (wie versprochen, s.S. 74) Theorie vollständig,
dann muss die Kontinuitätsgly. der emm Welt auf Flux folgen:

$$\text{div}(\text{Max 4}) : \text{div rot } \vec{B} = \frac{4\pi}{c} (\text{div } \vec{j} + \frac{1}{4\pi} \text{div div } \vec{E})$$

$$= \vec{\nabla} \cdot (\vec{\nabla} \times \dots) = 0 \quad (\text{Max 1}) \cdot \vec{\nabla} \cdot \vec{j} \quad \text{god}$$

- Welt-Anfangsbedingungen?

Max 1-4: 8 Gln. für 6 Unbekannte (\vec{E}, \vec{B}) ? 4

Max 1,3 herleitbar aus Max 2,4 ?

$$\text{div}(\text{Max 2}) : 0 = \text{div rot } \vec{E} = -\frac{1}{c} \partial_t \text{div } \vec{B}$$

$$\Rightarrow \text{div } \vec{B} = \text{const } \vec{e} = \text{div } \vec{B} \Big|_{\text{big bang}}$$

und bei Ladungsverhaltenen $\text{div } \vec{j} = 0$

$$\text{div}(\text{Max 4}) : 0 = \text{div rot } \vec{B} = \frac{1}{c} (4\pi \text{div } \vec{j} + \text{div } \vec{E})$$

$$= \frac{1}{c} \partial_t (\text{div } \vec{E} - 4\pi \rho)$$

$$\Rightarrow \text{const } \vec{e} = (\text{div } \vec{E} - 4\pi \rho) \Big|_{\text{big bang}}$$

- Eindeutigkeit von \vec{E}, \vec{B} aus Max 1-4 ?

Beh.: Ja, wenn keine Ursachen bei $t = \infty$

- Elektro/Magneto statik: $\text{div } \vec{A} = \text{gegeben}$, $\text{rot } \vec{A} = \vec{\nabla} \times \vec{A}$

\Rightarrow hat nur eine in ∞ verschwindende $\vec{C}_g \vec{A}$
(Theorem der Vektoranalysis)*

\Rightarrow Ansatz erlaubt beim Lösen von Max 1-4 !

- Dynamik (1/2: em Wellen entstehen), s. später

$$* \vec{A}(\vec{r}, t) = \int \frac{d^3 r'}{4\pi |\vec{r} - \vec{r}'|} (\text{rot } \vec{j}(\vec{r}', t) - \text{grad } \rho(\vec{r}', t)) + \vec{C}, \quad \Delta \vec{C} = \vec{0} \Rightarrow \vec{C} = \vec{0}$$

- Flux \Rightarrow Coulomb (wie man Flux per Ansatz löst)

$$Q \text{ auf Kugelhalbkugel } (R) : \oint S = \frac{Q}{4\pi R^2} \oint (r-R), \quad \vec{j} = 0 \quad (\text{s.S. 76})$$

"immer Max 1-4 abarbeiten!"

Statik \Rightarrow (Max 3,4) abgeleitet von (Max 1,2) $\Rightarrow \vec{B} = \vec{0}$

$$\text{Ansatz } \vec{E} = \vec{r} f(r) \Rightarrow (\text{Max 2}) ? \text{ (meh!)} \quad \vec{0} = \vec{0} \quad \checkmark$$

$$\text{in (Max 1) einsetzen: } \vec{\nabla} \cdot \begin{pmatrix} x f \\ y f \\ z f \end{pmatrix} = 3f + r f' \stackrel{!}{=} \frac{Q}{R^2} \int (r-R)$$

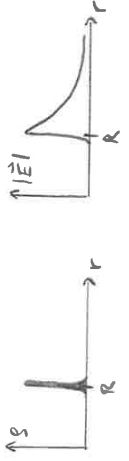
$$\left(\partial_x x = \frac{x}{x} \right)$$

$$\text{Ans } f(r) = r^\lambda g(r) \Rightarrow 3r^\lambda g + \lambda r^\lambda g + r^{\lambda+1} g' = \frac{Q}{R^2} \int (r-R)$$

$$\text{wähle } \lambda = -3 : g' = Q \int (r-R)$$

$$\Leftrightarrow g = Q \Theta(r-R) + \text{const}$$

$$\Rightarrow \vec{E} = \vec{e}_r \frac{Q}{r^2} \Theta(r-R) + \vec{e}_r \frac{\text{const}}{r^2} = 0, \text{ da am Ursprung keine Punktladung ist}$$



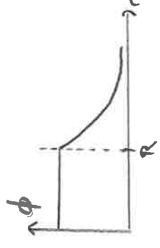
(es folgt die "Coulomb"-Kernf $\vec{F} = q(\vec{E} + \vec{v} \times \vec{B}) = \vec{e}_r \frac{qQ}{r^2} \Theta(r-R)$)
(auf Potential?)

\Rightarrow kann man $\vec{E} \equiv -\vec{\nabla} \phi(r) = -\vec{e}_r \phi'(r)$ schreiben?

(dann $\vec{F} = -\vec{\nabla} V(r)$, mit Potential $V(r) = q \phi(r)$)

\Rightarrow geht, mit

$$\phi(r) = \begin{cases} \frac{Q}{4\pi R} & \text{außen} \\ \frac{Q}{4\pi r} & \text{innen} \end{cases}$$



Coulomb-Potential

wegen Stetigkeit bei $r=R$, damit grad kein δ produziert (\vec{E} hat Kern!)

6.3 Potentiale, Eichfreiheit

→ unsere Beobachtung im letzten Bsp ist allgemein:
 (vgl. S. 12, S. 7) $\vec{F} = -\nabla V \Leftrightarrow \nabla \times \vec{F} = \vec{0}$
 ((auf S. 80 hatten wir (Max 2) $\nabla \times \vec{E} + \dot{\vec{B}} = \vec{0}$ spärlich!))
 → in Elektrostatik existiert wegen $\nabla \times \vec{E} = \vec{0}$
 stets ein "elektrostatisches Potential" oder "Skalarpotential"

ϕ , mit $\vec{E} = -\nabla \phi$ (für einfach zusammenhängende Gebiete)
 (analog zu S. 81) $\phi(\vec{r}) = \phi(\vec{r}_0) - \int_{\vec{r}_0}^{\vec{r}} d\vec{r}' \cdot \vec{E}(\vec{r}')$

Integral ist unabhängig von Integrationsweg!

• benutze dies in (Max 1):

$\nabla \cdot \vec{E} = 4\pi \rho \Rightarrow \nabla^2 \phi = -4\pi \rho$ Poisson-Gl.
 (manchmal $\nabla^2 \equiv \Delta$ "Laplace-Op.")

im Vakuum ($\rho = 0$): $\nabla^2 \phi = 0$ Laplace-Gl.

• für die Behauptung von S. 80:

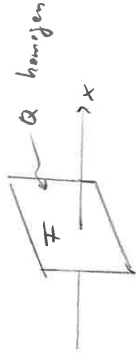
$\Delta \phi = -4\pi \rho \Leftrightarrow \int_{\mathcal{V}} d^3r' \frac{1}{4\pi R^2} \rho(\vec{r}') = 1$
 ist wegen $\int_{\mathcal{V}} d^3r' \rho(\vec{r}') = Q$ die Darstellung
 $\Rightarrow \Delta \frac{1}{r} = -4\pi \delta^{(3)}$

$\Leftrightarrow \Delta \left(-\frac{1}{4\pi R} \right) = \delta^{(3)}$ (für $\vec{r}' = \vec{r}$) ist Green'sche Fkt. von Δ (s. später)

• ϕ -Differenzieren nennt man auch "Spannung"

$[\phi] = [x][E]$; (im SI: $[\phi] = m \cdot \frac{C}{V} = V = Volt$)

Bsp (Kondensator)



1. Platte: $\rho = \frac{Q}{F} \delta(x)$

missen (Max 1) $\vec{D} \cdot \vec{e} = \frac{4\pi Q}{F} \delta(x)$ Lösung

Ansatz: $\vec{E} = \vec{e}_1 f(x) \Rightarrow f(x) = \frac{4\pi Q}{F} S(x)$

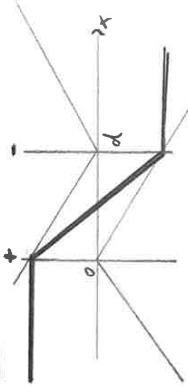
$\Rightarrow f = \frac{4\pi Q}{F} \theta(x) + const$; Symmetrie $\approx C = -\frac{2\pi Q}{F}$

$\Rightarrow \vec{E} = \frac{2\pi Q}{F} \text{sign}(x) \vec{e}_1 = -\partial_x \phi(x) \vec{e}_1$

$\Rightarrow \phi(x) = -\frac{2\pi Q}{F} |x|$



2. Platte:



im Superposition!

Spannung = $2 \cdot \frac{2\pi Q}{F} \cdot d$

Kapazität = $\frac{Q}{\text{Spannung}} = \frac{F}{4\pi d}$

• Superposition (alg.)

$\rho_{\text{ext}}(S_I, \vec{r}_I; \vec{E}_I, \vec{S}_I)$

$\rho_{\text{ext}}(S_{II}, \vec{r}_{II}; \vec{E}_{II}, \vec{S}_{II})$

$\rho_{\text{ext}} \text{ linear: } \rho_{\text{ext}}(S_I + S_{II}, \dots; \vec{E}_I + \vec{E}_{II}, \dots)$

z.B. $\phi(\vec{r}) = \sum_a \frac{q_a}{|\vec{r} - \vec{r}_a|} = \int_{\mathcal{V}} d^3r' \frac{\rho(\vec{r}')}{|\vec{r} - \vec{r}'|}$ (kont.-Lins)

$\vec{E}(\vec{r}) = \sum_a \frac{q_a}{|\vec{r} - \vec{r}_a|^3} \vec{r} - \vec{r}_a = \int_{\mathcal{V}} d^3r' \frac{\rho(\vec{r}')}{|\vec{r} - \vec{r}'|^3} (\vec{r} - \vec{r}')$

Skalarpot und abh. Feld von (viele) Punktlad.

- Potential (die immer existieren)
- schreibe $\vec{B} = \vec{\nabla} \times \vec{A}$ - "Vektorpotential" (nicht eindeutig, aber ex. (s.u. #))
- $\Rightarrow \vec{\nabla} \cdot \vec{B} = \vec{\nabla} \cdot (\vec{\nabla} \times \vec{A}) = \partial_i \epsilon^{ijk} \partial_j A^k = 0$ (Max 3) folgt!
- \Rightarrow (Max 2): $\vec{\nabla} \times (\vec{E} + \dot{\vec{A}}_E) = \vec{0} \Leftrightarrow \vec{E} + \dot{\vec{A}}_E = -\vec{\nabla} \phi$
- $\Rightarrow \vec{E} = -\vec{\nabla} \phi - \dot{\vec{A}}_E, \vec{B} = \vec{\nabla} \times \vec{A}$
- Freiheitsgrade? 6 Felder $(E_i, B_i) \rightarrow 4$ Potentiale (ϕ, A_i)
8 Maxwell-Gl. $\rightarrow 4$ Gl. (Max 1), (Max 4)
(denn Max 2,3 automatisch erfüllt)
- Potentiale in Max 1, 4 einsetzen

(Max 1) $-\Delta \phi - \frac{1}{c} \partial_t \vec{\nabla} \cdot \vec{A} = 4\pi \rho$

(Max 4) $\vec{\nabla} \times (\vec{\nabla} \times \vec{A}) + \frac{1}{c^2} (c \vec{\nabla} \dot{\vec{A}} + \ddot{\vec{A}}) = \frac{4\pi}{c} \vec{j}$

(Max 4) $\vec{\nabla} (\vec{\nabla} \cdot \vec{A}) - \Delta \vec{A}$

def $\square = \frac{1}{c^2} \partial_t^2 - \Delta$ d'Alembert-Op., Box, Quabla

$\Rightarrow \square \phi = 4\pi \rho + \frac{1}{c} \partial_t [\vec{\nabla} \cdot \vec{A} + \frac{1}{c} \dot{\phi}] \hat{=} (Max 1)$

$\square \vec{A} = \frac{4\pi}{c} \vec{j} - \vec{\nabla} [\vec{\nabla} \cdot \vec{A} + \frac{1}{c} \dot{\phi}] \hat{=} (Max 4)$

\Rightarrow können diese beiden Gl. noch vereinfachen, s.u. (S.86)

(*) ein mögliches \vec{A} ist ($\vec{\nabla} \cdot \vec{B}$ beachtet):

$$\vec{A}(\vec{r}) = \frac{1}{2} \left(\begin{aligned} & - \int_0^t dt' B_3(x, y, z) \\ & + \int_0^t dt' B_3(x', y, z) \\ & \int_0^t dt' [B_1(x, y, z) + B_1(0, y, z)] - \int_0^t dt' [B_2(x, y, z) + B_2(x, 0, z)] \end{aligned} \right)$$

(check: $\vec{\nabla} \times \vec{A}$ bilden, $\vec{\nabla} \cdot \vec{B} = 0$ ausrechnen, \vec{B} herausbekommen)

"ü?!"

\rightarrow Eindeutigkeit der Potentiale ϕ, \vec{A} ?

- Eichfreiheit
wegen $\vec{B} = \vec{\nabla} \times \vec{A}$ ist $\vec{A} \rightarrow \vec{A} + \vec{\nabla} \chi$ ohne Effekt auf \vec{B}
aber dann $\vec{E} \rightarrow -\vec{\nabla} \phi - \dot{\vec{A}}_E - \vec{\nabla} \dot{\chi}_E$
 $\Rightarrow \vec{E}, \vec{B}$ invariant gegenüber
- $\phi \rightarrow \phi - \dot{\chi}_E, \vec{A} \rightarrow \vec{A} + \vec{\nabla} \chi, \chi(\vec{r}, t)$ beliebig
- Bem.: • bei Variation von χ durchlaufen
 $\phi_{neu} = \phi_{alt} - \dot{\chi}_E, \vec{A}_{neu} = \vec{A}_{alt} + \vec{\nabla} \chi$ den "Eichorbit"
- Möglichkeiten, Stellen/Bereiche des Eichorbits festzulegen:

- (a) \vec{A} liegt fest (sofern bei $r=0$ abgehandelt),
dann man $\vec{\nabla} \times \vec{A} = \vec{B} = \text{gegeben}$
um $\vec{\nabla} \cdot \vec{A} = \text{wählen}$ organisiert
($\vec{\nabla} \cdot \vec{A}_{neu} = \text{gewünscht} = \vec{\nabla} \cdot \vec{A}_{alt} + \Delta \chi$ nach χ lösen...))
- (b) ϕ vorgeben? $\frac{1}{c} \dot{\chi}_E = \phi_{alt} \rightarrow \chi(\vec{r}, t) = \chi(\vec{r}, 0) + \int dt' \phi_{alt}(\vec{r}, t)$
- (c) z.B. A_3 vorgeben? ja, geht immer zu (b)
 $\vec{e}_3 \cdot \vec{A} = 0$; auch $\vec{n} \cdot \vec{A} = 0$ ist möglich

- einige häufig verwendete Eichfixierungen:
Lorentz-Eichung $\vec{\nabla} \cdot \vec{A} + \frac{1}{c} \dot{\phi} = 0$
Coulomb-Eichung $\vec{\nabla} \cdot \vec{A} = 0$
temporal gauge $\phi = 0$
axial gauge $\vec{n} \cdot \vec{A} = 0$
- Physik (Natur) ist (muss sein) eichinvariant!

SR (geladene Teilchen in \vec{E}, \vec{B})

das energie Rechnen-Probleme der emm Welt: $m\dot{\vec{v}} = q(\vec{E} + \vec{v} \times \vec{B})$

→ zugehörige Lagrange-Fkt hat also Rang eines erst prinzipiell.

Beh: $L = \frac{m}{2} \vec{v}^2 - q\phi + q\vec{v} \cdot \vec{A}$ (nichtrel. Grenzfall)

s. 415 (→ $-mc^2 \sqrt{1 - v^2/c^2}$ für Rel., vgl. § 5.3, S. 71)

denn: Bogen $\frac{d}{dt} \partial_{\dot{x}_i} L = \partial_{x_i} L$ ($q_i: \vec{r}, \vec{p} \equiv \vec{v}$)
 brauchen $\partial_{\vec{v}} L = m\vec{v} + \frac{q}{c} \vec{A}$

→ $\frac{d}{dt} \partial_{\vec{v}} L = m\dot{\vec{v}} + \frac{q}{c} (\dot{\vec{A}} + (\partial_t \vec{r}_i) \partial_{\vec{r}_i} \vec{A})$ (vgl. $\vec{A}(\vec{r}(t), t)$)
 $= m\dot{\vec{v}} + \frac{q}{c} (\dot{\vec{A}} + (\vec{v} \cdot \nabla) \vec{A})$

$\partial_{\vec{r}} L = -q \nabla \phi + q \nabla (\vec{v} \cdot \vec{A})$

→ Bogen $m\dot{\vec{v}} = q(-\nabla \phi - \dot{\vec{A}}_c) + \frac{q}{c} [\nabla (\vec{v} \cdot \vec{A}) - (\vec{v} \cdot \nabla) \vec{A}]$
 $= q(\vec{E} + \frac{\vec{v} \times \vec{B}}{c})$ (ged. $= \vec{v} \times (\nabla \times \vec{A})$)

→ jebe man per $\phi \rightarrow \phi - \dot{\vec{r}}_c \cdot \vec{A}$, $\vec{A} \rightarrow \vec{A} + \vec{v} \times \vec{z}$ zu anderem Potentiale über; dann reflektiert

$L \rightarrow L + \frac{q}{c} \dot{\vec{r}}_c \cdot \vec{A} + \frac{q}{c} \dot{\vec{r}}_c \cdot \vec{v} \times \vec{z} = L + \frac{d}{dt} (\frac{q}{c} \vec{z} \cdot \vec{r})$

lokale diff. konst

die Eichinvarianz über Realität. Bogen. invariant, vgl. § 2.2, (5.26)

→ vordly. Impulse $\vec{p} \equiv \partial_{\vec{v}} L = m\vec{v} + \frac{q}{c} \vec{A}$

Hamilton-Fkt $H = \vec{v} \cdot \vec{p} - L = m\vec{v}^2 + \frac{q}{c} \vec{v} \cdot \vec{A} - \frac{m}{2} \vec{v}^2 + q\phi - \frac{q}{c} \vec{v} \cdot \vec{A}$

via \vec{p} ausrechnen $H = \frac{1}{2m} (\vec{p} - \frac{q}{c} \vec{A})^2 + q\phi$

(diese Hamilton-Fkt wird von Rechnen \rightarrow QR7 (ohne Spi) gerebet; in Kombination mit der Regel $\vec{p} \rightarrow \frac{h}{i} \nabla$)

→ zurück zu den Max 1, 4 von S. 83:

• Schreibe Max 1, 4 mit Potentiale $\vec{E} = -\nabla \phi - \dot{\vec{A}}_c$, $\vec{B} = \nabla \times \vec{A}$ und in Lorenz-Bedingung $\nabla \cdot \vec{A} + \dot{\phi}_c = 0$

⇒ $\square \left(\frac{\phi}{A} \right) = \frac{4\pi}{c} \begin{pmatrix} \rho \\ \vec{j} \end{pmatrix}$ (inhomogene Wellengl.)

↳ Lsg: s. später (retardierte Potentiale)

• Nachtrag: oft werden die Max auf m. integrable Form benutzt (wenn verwendbar, dann rentabel; "first principles" sind die lokalen Max von der Postkarte, S. 74):

(Satz von Gauss $\int_V d^3r \nabla \cdot \vec{E} = \int_V d^3r \rho$)

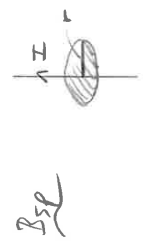
(Satz von Stokes $\int_S d\vec{r} \cdot (\nabla \times \vec{A}) = \int_C d\vec{r} \cdot \vec{A}$)

⇒ $\int_S d\vec{r} \cdot \vec{E} = 4\pi \int_V d^3r \rho$, $\int_C d\vec{r} \cdot \vec{B} = \int_S d\vec{r} \cdot \vec{B} = 0$

$\int_C d\vec{r} \cdot \vec{B} = 0$, $\int_C d\vec{r} \cdot \vec{B} = \int_S d\vec{r} \cdot \vec{B} = \frac{4\pi}{c} \int_V d\vec{r} \cdot \vec{j}$

$\int_C d\vec{r} \cdot \vec{B} = 0$, $\int_C d\vec{r} \cdot \vec{B} = \int_S d\vec{r} \cdot \vec{B} = \frac{4\pi}{c} \int_V d\vec{r} \cdot \vec{j}$

$\int_C d\vec{r} \cdot \vec{B} = 0$, $\int_C d\vec{r} \cdot \vec{B} = \int_S d\vec{r} \cdot \vec{B} = \frac{4\pi}{c} \int_V d\vec{r} \cdot \vec{j}$



⇒ s. auch § 37, 410

6.4 Rekapitulation, Beispiele

- die "Postkarte aus 1863":
 - $\nabla \cdot \vec{E} = 4\pi \rho$, $\nabla \times \vec{E} + \dot{\vec{B}} = \vec{0}$
 - $\nabla \cdot \vec{B} = 0$, $\nabla \times \vec{B} - \dot{\vec{E}} = \frac{4\pi}{c} \vec{j}$
 - $\nabla \cdot \vec{0} = 0$, $\nabla \times \vec{0} = \vec{0}$
 - $\nabla \cdot \vec{0} = 0$, $\nabla \times \vec{0} = \vec{0}$
- (aus Spitz:) $\text{obf } \vec{A} = \vec{E} + i\vec{B}$
 - $(\Leftrightarrow) \vec{E} = \text{Re } \vec{A} = \frac{1}{2}(\vec{A} + \vec{A}^*)$, $\vec{B} = \text{Im } \vec{A} = \frac{1}{2i}(\vec{A} - \vec{A}^*)$
 - $\nabla \cdot \vec{A} = 4\pi \rho$, $\nabla \times \vec{A} - \dot{\vec{A}} = \frac{4\pi}{c} \vec{j}$
- aus § 6.3: es ex. (immer) Potential ϕ, \vec{A}
 - $\vec{E} = -\nabla\phi - \dot{\vec{A}}$, $\vec{B} = \nabla \times \vec{A}$
 - $\Rightarrow (\frac{1}{2}\dot{\vec{A}}^2 - \nabla^2\phi) = \frac{4\pi}{c}(\rho\phi) + (\frac{1}{2}\dot{\vec{A}}^2) + (\frac{1}{2}\dot{\vec{A}}^2) + (\frac{1}{2}\dot{\vec{A}}^2)$
 - erfüllt Max 2, 3
 - Max 4
 - 4 Gl., 4 Freiheitsgrade
 - = 0 m Lorentz-Eichung
- "Eich" invariant: $(\phi, \vec{A}) \rightarrow (\phi - \dot{\chi}, \vec{A} + \nabla\chi)$ erlaubt, $\chi(\vec{r}, t)$ beliebig
- aus 5.86: Max m integrier Form, via Integralsätze
 - Gauss $\int_V d^3r \nabla \cdot \vec{A} = \oint_{\partial V} d^2r \vec{A} \cdot \vec{n}$
 - Stokes $\int_F d\vec{r} \cdot (\nabla \times \vec{A}) = \oint_{\partial F} d\vec{r} \cdot \vec{A}$
 - $\oint_{\partial V} d\vec{r} \cdot \vec{E} = \int_V d^3r 4\pi \rho$, $\oint_{\partial F} d\vec{r} \cdot \vec{E} + \frac{1}{c} \dot{\chi} = \int_F d\vec{r} \cdot \vec{B} = 0$
 - $\oint_{\partial F} d\vec{r} \cdot \vec{B} = 0$, $\oint_{\partial F} d\vec{r} \cdot \vec{B} - \frac{1}{c} \dot{\chi} = \int_F d\vec{r} \cdot \vec{E} = \frac{4\pi}{c} \int_F d\vec{r} \cdot \vec{j}$
- \Rightarrow kann anwendbar, dann räumlich (beme $\vec{0}$ mehr!)
 - (aber auch immer per Ansatz via lokaler Max lösbar)
- ... später weitere Umformulierungen:
 - Max m oder (Fourier-) Unterevkt ...

Bsp (Ladungsdichte \rightarrow Ladung)

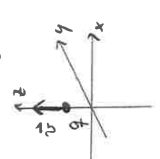
gegeben: $S(\vec{r}) = \frac{\alpha}{r^2} e^{-kr} \cos^2\theta$, Gesamtladung $Q = ?$

$$Q = \alpha \int_0^\infty dr r^2 \frac{e^{-kr}}{r^2} \int_0^\pi d\theta \sin\theta \cos^2\theta \int_0^{2\pi} d\phi$$

$$= \alpha \left(-\frac{1}{k} e^{-kr}\right) \Big|_0^\infty \left(-\frac{1}{3} \cos^3\theta\right) \Big|_0^\pi 2\pi = \alpha \frac{2}{3} 2\pi$$

Bsp (Stromdichte \rightarrow Strom)

Punktladung q fliege mit $\vec{v} = v\vec{e}_3$, Strom durch xy -Ebene $I(t) = ?$



$$\vec{j} = q\vec{v} = qv\delta(\vec{r}-vte_3)v\vec{e}_3$$

$$I = \int_F d\vec{r} \cdot \vec{j} = \int dx dy qv\delta(\vec{r}-vte_3)$$

$$= qv\delta(z-vt) = qv\delta(t)$$

$c=0$ in xy -Ebene

(Stromdichte, Strom)

homogen geladener, unendlich langer Zylinder (Radius R , Ladungsdichte ρ)
 drehen sich mit Winkelgeschw. $\vec{\omega} = \omega\vec{e}_3$ um seine Symmetrieachse.
 Stromdichte $\vec{j} = ?$ $\vec{j} = \rho\vec{v} = \rho\vec{\omega} \times \vec{r} = \rho\omega r\vec{e}_\phi$ $I(r-R) = \rho\omega \left(\frac{r^2}{2}\right) \theta(r, R)$
 Strom pro Normaleinheitsvektor \vec{h} durch rechte xz -Halbebene $I = ?$

$$I = \int_F d\vec{r} \cdot \vec{j} = \int_0^R dx \int_0^h dz \rho\omega x = \rho\omega \left(\frac{1}{2}x^2\right) \Big|_0^R h = \frac{1}{2}h\rho\omega R^2$$

(Divergenz, Rotation)

gegeben: $\vec{f} = \alpha(y, x, 0)$. $\text{div } \vec{f} = ?$ $\text{rot } \vec{f} = ?$

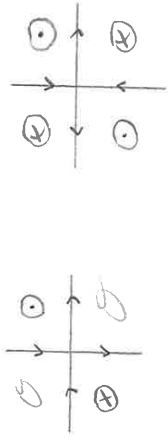


ausrechnen: $\nabla \cdot \vec{f} = 0$
 $\nabla \times \vec{f} = \alpha(0, 0, 1-1) = \vec{0}$

Bsp (E-Ansatz)

in zwei L, o. densam Platten horizontale homogene Stromdichte.

B-Richtung = ?



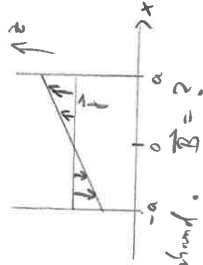
Rechte-Hand-Regel!

Bsp (Max 4 per Ansatz)

in ∞ ausgedehnte Schicht $(-a < x < a)$

fließende Strom in $\pm z$ -Richtung,

Stromdichte linear von $-j_0 \vec{e}_z$... + $j_0 \vec{e}_z$ zuehend. $\vec{B} = ?$



$\vec{j} = j_0 \frac{x}{a} \vec{e}_z = \theta(a^2 - x^2)$

Ansatz $\vec{B} = (0, f(x), 0)$ (Max 3 ✓)

Max 4: $\vec{\nabla} \times (0, f, 0) = (0, 0, f')$ $\stackrel{!}{=} \begin{cases} \frac{2j_0}{a} \frac{d}{dx} \theta(a^2 - x^2) & \text{innen} \\ 0 & \text{außen} \end{cases}$

$\Rightarrow f_{\text{innen}} = \alpha x^2 + C$, $f_{\text{außen}} = \text{const} \equiv \begin{cases} D & \text{links} \\ E & \text{rechts} \end{cases}$

\vec{B} stetig bei $x = \pm a$ (denn wenn B springt $\theta \sim \text{rot } \vec{B} \text{ hat } \delta$ aber \vec{j} hat keine δ)

$\rightarrow D = \alpha a^2 + C = E = 0$ (wenn keine Spule am Rand des Unruhens)

$\Rightarrow \vec{B} = \begin{cases} \vec{e}_z \alpha(x^2 - a^2) & \text{innen} \\ 0 & \text{außen} \end{cases}$

Bsp (Teilchen im Magnetfeld)

löse die Bgl für ein Teilchen in konstantem $\vec{B} = (0, 0, B)$

durch Einführen der komplexen Variablen $z = v_1 + i v_2$ ($\vec{v} = \dot{\vec{r}}$):

$m \dot{\vec{v}} = \frac{q}{c} \vec{v} \times \vec{B} = \frac{qB}{c} (v_2, -v_1, 0) \Leftrightarrow m \dot{z} = -\frac{qB}{ic} iz$

$\Rightarrow z = e^{-i \frac{qB}{mc} t} \left(= \cos \frac{qB}{mc} t - i \sin \frac{qB}{mc} t \right)$

Bsp

(Vektorpotential, Eildng)

homogenes, toroidales Magnetfeld $\vec{B} = (0, 0, B)$, $\vec{A} = ?$

$\vec{B} = \vec{\nabla} \times \vec{A}$, $\vec{A} = B(0, x, 0)$ tut's

welches neue \vec{A} erhält man durch Eichtransformation $\vec{A} \rightarrow \vec{A}' = -\frac{B}{2} x y$?

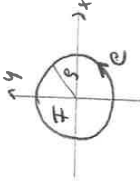
$\vec{A} \rightarrow \vec{A}' + \vec{\nabla} \chi = B(0, x, 0) - \frac{B}{2}(y, x, 0) = \frac{B}{2}(-y, x, 0) = \frac{B}{2} \vec{e}_\varphi$

(Integrale Max 2)

sei $\vec{B} = (0, 0, -\alpha z)$ und $\vec{E} = E(s) \vec{e}_\varphi$. $\vec{E}(s) = ?$

$\int_{\text{const}} \sqrt{x^2 + y^2}$

Max 2: $\int_{\mathcal{C}} d\vec{t} \cdot \vec{E} + \frac{1}{c} \dot{v} \int_{\mathcal{F}} d\vec{f} \cdot \vec{B} = 0$
 $2\pi r_s E + \frac{1}{c} \dot{v} \int_{\mathcal{F}} \pi r_s^2 (-\alpha z) = 0$
 $\Rightarrow E = \frac{\alpha r_s}{2c}$

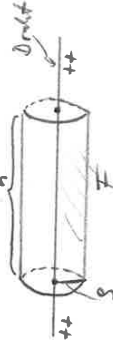


Bsp

(Integrale Max 1)

homogen geladene Draht (\propto lang + dünn, $\sigma = \frac{\text{Ladung}}{\text{Länge}}$). $|\vec{E}(r)| = E(s) = ?$

Max 1: $\oint_{\mathcal{F}} d\vec{f} \cdot \vec{E} = 4\pi \int_{\mathcal{V}} d^3r \rho$
 $h 2\pi r_s E = 4\pi h \sigma r$
 $\Rightarrow E = 2\sigma r$



Bsp

(Integrale Max 4)

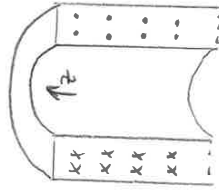
Magnetfeld im Inneren einer Spule (σ lang, Strom I, Windungszahl pro Länge: N)

Max 4: $\oint_{\mathcal{C}} d\vec{t} \cdot \vec{B} = \mu_0 \int_{\mathcal{F}} d\vec{f} \cdot \vec{j}$

aus Symmetriegründen: $\vec{B} = (0, 0, B)$

$h B_3 = \frac{\mu_0}{c} (-h N I)$

$\Rightarrow B_3 = -\frac{\mu_0 N I}{c}$



$\Downarrow \vec{B}$

Rechte-Hand-Regel

7. Elektromagnetische Wellen / Licht

→ sind intersität an den zeitlichen (zuerst Vakuum-) Max.

32L wie stellt man $\vec{E} = (0, 0, f(x-ct))$ her?

(Max1) $\partial_x f = 0 \stackrel{!}{=} 4\pi g \Rightarrow g=0$; keine Ladungsdichte nötig

(Max2) $\vec{\nabla} \times \vec{E} = (0, -f', 0) \stackrel{!}{=} -\frac{1}{c} \partial_t \vec{B}$
 $\Rightarrow \vec{B} = (0, -\frac{1}{c} f, 0) + \text{const}(t) = \vec{0}$ am besten.

(Max3) $\partial_y B_z = 0 \stackrel{!}{=} 0 \Rightarrow$ bereits erfüllt

(Max4) $\vec{\nabla} \times \vec{B} = (0, 0, -\frac{1}{c} f') \stackrel{!}{=} \frac{1}{c} \partial_t (0, 0, -cf') + \frac{4\pi}{c} \vec{j}$
 $\Rightarrow \vec{j} = -\frac{c^2}{4\pi v} (1 - \frac{v^2}{c^2}) f'(x-ct) \vec{e}_3$

Bem. • spanne Raum voller virtueller Drähte; mit entsprechenden \vec{j} belegen

- $\vec{B} = \frac{1}{c} \partial_t \vec{E}$ fliegt mit \vec{E} mit
- $v=c$: von alleine! $g=0, \vec{j}=0$, "Vakuum"
- $v < c$? j'n.

• Licht im Medium kann oben zu $v < c$ erforderlich Strom selbst verursachen.

Verf. : ebene Welle $\vec{E} = \vec{E}_0 f(\vec{r} - ct)$

(Max1) erzwungen $\vec{\nabla} \cdot \vec{E} = \vec{E}_0 \cdot \vec{\nabla} f = \vec{E}_0 \cdot \vec{e} f' \stackrel{!}{=} 0$

$\Rightarrow \vec{E}_0 \perp \vec{e}$, Licht ist transversal

vgl. Bsp oben (dort $\vec{E}_0 \sim \vec{e}_3, \vec{e} \sim \vec{e}_1$)

$f(t[\frac{1}{c} \vec{r} - \frac{t}{c}])$, $v \stackrel{!}{=} c \Rightarrow cr = ct$

[...] = fest auf Gg. einer Ebene ($\vec{e} \cdot \vec{r} = \text{Abstand}$)
 (Ebene gleicher f-Werte, \perp zu \vec{e})

f muss nicht trig. Fkt sein; aber oft: periodische Sänder

harmonische ebene elektromagn. Welle

$\vec{E} = \vec{E}_0 \cos(\vec{k} \cdot \vec{r} - \omega t)$, $c_k = c$ (Vakuum)
 $\vec{E}_0 \perp \vec{k}$ (vgl. Max1), $\vec{B} = \frac{1}{c} \vec{k} \times \vec{E}$ fliegt mit

phys. Interpretation:

- Foto (Zeit fest): Wellenlänge $\lambda = \frac{2\pi}{k} \in$ Wellenl.
- Ort fest: Periode $T = \frac{2\pi}{\omega} = \frac{1}{\nu}$ Frage: was fragen?
- $v_{ph} = c$; $v_{gr} = c$ (wird bei Überlagerungen jeber Summand mit c)



- wählbar: \vec{k}, \vec{E}_0 ($\perp \vec{k}$; "Polarisation") und Phase $\cos(\vec{k} \cdot \vec{r} - \omega t + \varphi) = \text{Re } e^{i(\vec{k} \cdot \vec{r} - \omega t + \varphi)}$
- Superponierbar (...; Eikonal, ...)

Max \Rightarrow Wellengleichung

Vakuum ($g=0, \vec{j}=0$) $\vec{\nabla} \cdot \vec{E} = 0$ $\vec{\nabla} \times \vec{E} = -\dot{\vec{B}}/c$
 $\vec{\nabla} \cdot \vec{B} = 0$ $\vec{\nabla} \times \vec{B} = \dot{\vec{E}}/c$

(Bem: invar. unter $\vec{E} \rightarrow \vec{B}, \vec{B} \rightarrow -\vec{E}$; "Dualität")

\vec{B} ableiten via $\vec{\nabla} \times$ (Max2):

$\vec{\nabla} \times (\vec{\nabla} \times \vec{E}) = \vec{\nabla}(\vec{\nabla} \cdot \vec{E}) - \Delta \vec{E} = \vec{\nabla}(\vec{\nabla} \cdot \vec{E}) - \dot{\vec{B}}/c = -\dot{\vec{E}}/c$ (Max4)

$\Rightarrow \Delta \vec{E} = \ddot{\vec{E}}, \Delta \vec{B} = \ddot{\vec{B}}$

Wellengl. im Vakuum

$\Delta = \frac{1}{c^2} \partial_t^2 - \Delta$, $\Delta = \vec{\nabla}^2$; vgl. §6.3, §8.2

Bem.: • Info vorgegeben: Max sagen für $\vec{E} \perp \vec{B}$,
 Vollständig, nicht!

• was kann man aus Wellengl.?

→ weil $\vec{E}(\vec{r}, t)$ darstellen ist als

$$\vec{E}(\vec{r}, t) = \int \frac{d^3k}{(2\pi)^3} e^{i\vec{k}\vec{r} - i\omega t} \vec{E}(\vec{k}, \omega)$$

hat $\Delta \vec{E} = \int \frac{d^3k}{(2\pi)^3} \int \frac{d\omega}{2\pi} e^{i\vec{k}\vec{r} - i\omega t} [-\frac{\omega^2}{c^2} + k^2] \vec{E} \stackrel{!}{=} 0$

$\omega^2 = c^2 k^2$ zur Folge, und zwar für jeden Anteil.

→ ein Feld, das frei fliehet, fliehet mit c

Wohl Fourier-Transformation (vgl. z.B. Leuchtmethode)

F.T. hat 2 essentials: • man darf (wenn Feld abfallen $\rightarrow \infty$)

• die Fkt'n $e^{i\dots}$ sind km. unabh.

1D: $f(x) = \int \frac{d^1k}{2\pi} e^{ikx} \tilde{f}(k)$

⇒ $\int dx e^{-iqx} f(x) = \int \frac{d^1k}{2\pi} \tilde{f}(k) \int dx e^{i(b-q)x} = \tilde{f}(q)$

3D: $f(\vec{r}) = \int \frac{d^3k}{(2\pi)^3} e^{i\vec{k}\vec{r}} \tilde{f}(\vec{k})$

$\tilde{f}(\vec{k}) = \int d^3x e^{-i\vec{k}\vec{r}} f(\vec{r})$

$\int d^3x e^{i(\vec{k}-\vec{q})\vec{r}} = (2\pi)^3 \delta^{(3)}(\vec{k}-\vec{q})$

oft methode: $\vec{\nabla} e^{i\vec{k}\vec{r}} = \sum_{j=1}^3 e_j \frac{\partial}{\partial x_j} e^{i\vec{k}\vec{r}} = \sum_{j=1}^3 e_j i k_j e^{i\vec{k}\vec{r}} = i\vec{k} e^{i\vec{k}\vec{r}}$

→ $\vec{\nabla} \cdot \vec{f}(\vec{r}) = \text{div}(\vec{f}(\vec{r}))$

⇒ $\int \frac{d^3k}{(2\pi)^3} \vec{\nabla} \cdot e^{i\vec{k}\vec{r}} \tilde{f}(\vec{k}) = \int \frac{d^3k}{(2\pi)^3} e^{i\vec{k}\vec{r}} \text{div}(\vec{k} \tilde{f}(\vec{k}))$

$\frac{1}{\vec{\nabla} \cdot i\vec{k}} \cdot \vec{k} = e^{i\vec{k}\vec{r}} \vec{k} \cdot \vec{k}$

Koeff.-Vergl.: $i\vec{k} \cdot \vec{f}(\vec{k}) = \text{div}(\vec{k} \tilde{f}(\vec{k}))$

→ zum Nachh.: in FT-Gl. $\vec{\nabla} \rightarrow i\vec{k}$

löse Anfangswertproblem (for Felder im Vakuum, $\rho=0, \vec{j}=0$)

$\vec{E}(\vec{r}, 0), \vec{B}(\vec{r}, 0)$ gegeben (z.B. )
 $\vec{E}(\vec{r}, t), \vec{B}(\vec{r}, t)$ gesucht

zu lösen: Max im Vakuum

F.T. nur Lsgl. $\vec{E}(\vec{r}, t) = \int \frac{d^3k}{(2\pi)^3} e^{i\vec{k}\vec{r}} \vec{E}(\vec{k}, t)$

$\vec{E}(\vec{r}, 0) = \int d^3k e^{-i\vec{k}\vec{r}} \vec{E}(\vec{k}, 0) \equiv \vec{E}(\vec{r})$

$\vec{B}(\vec{r}, 0) = \int d^3k e^{-i\vec{k}\vec{r}} \vec{B}(\vec{k}, 0) \equiv \vec{B}(\vec{r})$

Vakuum-Max: $i\vec{k} \cdot \vec{E}(\vec{k}, t) = 0$
 $i\vec{k} \cdot \vec{B}(\vec{k}, t) = 0$

$\vec{E}(\vec{k}, t) = c i\vec{k} \times \vec{B}(\vec{k}, t)$
 $\vec{B}(\vec{k}, t) = -i\vec{k} \times \vec{E}(\vec{k}, t)$

mit $\vec{I} = \begin{pmatrix} 0 & 1 \\ -1 & 0 \end{pmatrix}$, $\vec{I}^2 = \begin{pmatrix} -1 & 0 \\ 0 & -1 \end{pmatrix} = -\mathbb{1}_{2 \times 2}$

(! generell hat $\vec{y} = H y$ die Formale Lsg $y(t) = e^{tH} y(0)$)

→ $\begin{pmatrix} \vec{E} \\ \vec{B} \end{pmatrix}_{(t)} = e^{t \vec{I} c i\vec{k} \times} \begin{pmatrix} \vec{E} \\ \vec{B} \end{pmatrix}_{(t=0)}$ (Kreuzprod.)

Operator: Annäherung als Polynomreihe!

$= \cos(t \vec{I} c \vec{k} \times) + i \sin(t \vec{I} c \vec{k} \times)$

$(c t \vec{I} \vec{k} \times)^2 \vec{V} = (ct)^2 \vec{I}^2 \vec{k} \times (\vec{k} \times \vec{V}) = (ctk)^2 \vec{V}$
 $\vec{E} \text{ oder } \vec{B}$

$\frac{1}{\sqrt{1 - (ctk)^2}} = \frac{1}{\sqrt{1 - \vec{k}^2 \vec{r}^2}} \xrightarrow{(\vec{r}, t) \rightarrow (\vec{r}, 0)}$

$\cos(ctk) \mathbb{1} + i \sin(ctk) \vec{I} \vec{k} \times$

$\begin{pmatrix} \cos(1) + i \sin(1) \frac{\vec{k} \times}{k} \\ \dots \\ \cos(1) \end{pmatrix}$

also z.B. $\vec{E}(\vec{r}, t) = \cos(ctk) \vec{E} + i \sin(ctk) \vec{I} \vec{k} \times \vec{E}$

Rückimp

→ $\vec{E}(\vec{r}, t) = \text{Re} \int \frac{d^3k}{(2\pi)^3} e^{i\vec{k}\vec{r} - i\omega t} [\vec{E} - \frac{\vec{k}}{k} \times \vec{E}]$

(! → $\vec{B}(\vec{r}, t)$ genauso; \vec{B} !)

8. Retardierte Potentiale

(Vorsicht, rückwärtsläufige ...)

→ Suchen nun allg. kausale Lsg der Max zu gegebenem $S, \vec{J}(\vec{r}, t)$
 ("reine", "enge" ED allg. lösbar, da Max linear in \vec{E}, \vec{B})
 hinw. Lsg auf 4 Wegen, A, B, C, D

(A) Nachrechnen:

E-Statik: • Superposition von Coulomb-Potentiale (§6.2, S.80)

→ $\phi(\vec{r}) = \int \frac{\rho(\vec{r}')}{|\vec{r}-\vec{r}'|} d^3r'$

• inhom Wellenglg (§6.3, S.86)

$\left(\frac{1}{c^2}\frac{\partial^2}{\partial t^2} - \Delta\right)\left(\frac{\phi}{A}\right) = \frac{4\pi}{c}\left(\frac{\rho S}{J}\right)$

besagt, dass die Ursachen e_s, j_1, j_2, j_3 gleiche Abstand

haben → $\vec{A}(\vec{r}) = \int \frac{\vec{J}(\vec{r}')}{c|\vec{r}-\vec{r}'|} d^3r'$

Dynamik: • berge Ursache; was frei fliegt, fliegt mit c (§7, S.93)

von \vec{r}' bis \vec{r} , also:

$$\begin{pmatrix} \phi(\vec{r}, t) \\ \vec{A}(\vec{r}, t) \end{pmatrix} = \frac{1}{c} \int \frac{d^3r'}{|\vec{r}-\vec{r}'|} \begin{pmatrix} \rho S \\ \vec{J} \end{pmatrix} (\vec{r}', t - \frac{|\vec{r}-\vec{r}'|}{c})$$

retardierte
Potentiale

(in Lorenz-Eichung)

Bem.: • die ret. Pot. gelten in Lorenz-Eichung (weil die

oben kausale inh. Wellenglg. in dieser gilt)

Probe: $0 \stackrel{?}{=} \frac{1}{c} \vec{\partial} + \vec{\partial} \cdot \vec{A} \quad (\text{L-Eichungsgl., §6.3, S.84})$

$$= \frac{1}{c} \int \left[\frac{1}{r_1} \dot{S} + \frac{1}{r_1} \vec{\partial} \cdot \vec{J} + \vec{\partial} \cdot \left[\frac{1}{r_1} \right] \right] = -\vec{\partial} \cdot \frac{1}{r_1} \quad \text{Trick!}$$

$$= \frac{1}{c} \int \frac{1}{r_1} \left[\dot{S} - \vec{\partial} \cdot \vec{J}(\vec{r}', t - \frac{r_1}{c}) + \vec{\partial} \cdot \vec{J}(\vec{r}', t - \frac{r_1}{c}) \right] = 0$$

wegen Kontinuitätsgl. $\vec{\partial} \cdot \vec{J} = -\dot{\rho}$

• die ret. Pot. $\square \dots$ sind eine Spez. Lsg.

der inh. Wellenglg. $\square \left(\frac{\phi}{A}\right) = \frac{4\pi}{c} \left(\frac{\rho S}{J}\right)$,

also ist die allg. Lsg gegeben durch $\square \dots + \left(\text{alle Lsg von } \square \left(\frac{\phi}{A}\right) = 0\right)$

$\square = 0$ für Wellen (s. §7) sowie lineares in \vec{r}, t ,

d.h. nicht von S, \vec{J} verursacht ("kausal")

• phys. Gehalt von $\square \dots$: s. unten, §9.1 - (ca.) §9.6

(B) Green'sche Funktion

Erinnerung: allg. $L y(x) = f(x)$

gegeben: f und $L =$ linearer Operator

gesucht: $y(x)$

(Bsp: inh. Wellenglg, $L = \square$, $x = \vec{r}, t$)

→ falls das Hilfsproblem $L G = \delta(x-x')$ lösbar ist

mit spez Lsg $G(x, x')$, dann gilt

$\int dx' f(x') L G(x, x') = \int dx' f(x') \delta(x-x') = f(x)$

⇒ spez Lsg $y(x) = \int dx' G(x, x') f(x')$

(Bsp: $\Delta \phi = -4\pi \rho$, $L = \Delta$, $\Delta G = \delta(\vec{r}-\vec{r}')$,

(§6.3, S.81) $G = -\frac{1}{4\pi|\vec{r}-\vec{r}'|}$, $\phi = \int d^3r' \left(-\frac{1}{4\pi|\vec{r}-\vec{r}'|}\right) (-4\pi \rho(\vec{r}'))$
 $= \int d^3r' \frac{\rho(\vec{r}')}{|\vec{r}-\vec{r}'|}$ Stück 18)

Man: $\square \phi = 4\pi \rho$, $L = \square$

$\square G(\vec{r}, \vec{r}'; t, t') = \delta(\vec{r}-\vec{r}') \delta(t-t')$

" $G(\vec{r}, \vec{r}'; t-t')$, weil \square keinen Ort/Zeit unterscheidet

Löse also: $\square G(\vec{r}, t) = \delta^{(3)}(\vec{r}) \delta(t)$ [s. auch Landau II, § 62]

siehe Kugelsymmetrie \Rightarrow nur r -Abhängigkeit
 in Kugelkoordin., $\Delta = \frac{1}{r^2} \partial_r^2 r + \dots \partial_\theta, \partial_\varphi \dots$

\rightarrow Ansatz: $G(r, t) = \frac{1}{r} f(r, t)$

$\Rightarrow \frac{1}{c^2} \frac{1}{r} \ddot{f} - \Delta \left(\frac{1}{r} f \right) = \delta^{(3)}(\vec{r}) \delta(t) - \frac{1}{r} \Delta f = \delta^{(3)}(\vec{r}) \delta(t)$

$-\frac{2}{r^3} f' - \frac{1}{r} f'' = \delta^{(3)}(\vec{r}) \delta(t)$

$\Rightarrow \frac{1}{r} \left(\frac{1}{c^2} \ddot{f} - f'' \right) + 4\pi f(0, t) \delta^{(3)}(\vec{r}) = \delta^{(3)}(\vec{r}) \delta(t)$ (rechnungs. Seite)

für $r \neq 0$: $\frac{1}{c^2} \ddot{f} = f'' \Rightarrow f = f(r \mp ct)$

\Rightarrow bei $r=0$: $4\pi f(0, t) = \delta(t) = c \delta(ct)$

$\rightarrow f = \frac{c}{4\pi} \delta(r \mp ct)$

$\Rightarrow \boxed{G(\vec{r}, t) = \frac{\delta(t - \frac{r}{c})}{4\pi r}}$ löst $\square G(\vec{r}, t) = \delta^{(3)}(\vec{r}) \delta(t)$

mit auslaufender Kugelwelle: retardierte Green'sche Fkt

$\left(G = \frac{\delta(t - \frac{r}{c})}{4\pi r} \right)$ ist bei $t < 0$ em-komp. Kugelwelle:

auslaufende Green'sche Fkt; $\square(G - \text{Diff.}) = 0$

\rightarrow mit G können wir nun sofort alle Lsg von $\square \phi = 4\pi g$ angeben:

$\phi(\vec{r}, t) = \int d^3x' \int dt' \frac{\delta(t - t' - \frac{|\vec{r} - \vec{r}'|}{c})}{4\pi |\vec{r} - \vec{r}'|} 4\pi g(\vec{r}', t')$

analog für $\square \vec{\phi} = \frac{1}{c} \vec{g}$ \Rightarrow retardierte Potentiale von S. 95

(C) $\square \phi = 4\pi g$ via F.T.

Vorsicht Annahme: $\square \rightarrow \square \equiv \frac{1}{c^2} \partial_t^2 + 2\gamma \frac{1}{c} \partial_t - \Delta$

mit $\gamma = 0^+$ (infinite Retardung, "Welle ins Unendliche")

mit Wellengleichung: $\left[-\frac{\partial_t^2}{c^2} - i\omega \frac{2\gamma}{c} + k^2 \right] \tilde{\phi}(\vec{r}, \omega) = 4\pi \tilde{g}(\vec{r}, \omega)$

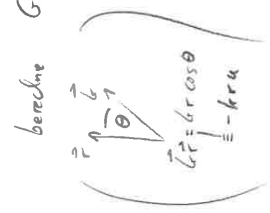
Lsg: $\tilde{\phi}(\vec{r}, \omega) = \frac{4\pi \tilde{g}(\vec{r}, \omega)}{\left[\dots \right]} = \frac{4\pi \tilde{g}(\vec{r}, \omega)}{\left[(k - \frac{\gamma}{c} - i\gamma)(k + \frac{\gamma}{c} + i\gamma) - \omega^2 \right]}$ (mit $\omega = \omega(\vec{r}, \omega)$)

Residuenteile

$\Rightarrow \phi(\vec{r}, t) = \int \frac{d^3k}{(2\pi)^3} \int \frac{d\omega}{2\pi} e^{i\vec{k}\vec{r} - i\omega t} \frac{4\pi}{\left[\dots \right]} \int d^3x' \int dt' e^{-i\vec{k}\vec{x}' + i\omega t'} g(\vec{r}', t')$

$= \int d^3x' \int dt' \frac{\int \frac{d^3k}{(2\pi)^3} \int \frac{d\omega}{2\pi} e^{i\vec{k}(\vec{r}-\vec{x}') - i\omega(t-t')}}{\left[\dots \right]} 4\pi g(\vec{r}', t')$

$= G(\vec{r}-\vec{x}', t-t')$



berechne $G(\vec{r}, t) = \frac{1}{(2\pi)^4} \int d^3k \int d\omega e^{i\vec{k}\vec{r} - i\omega t} \frac{1}{(k - \frac{\gamma}{c} - i\gamma)(k + \frac{\gamma}{c} + i\gamma)}$

$= \frac{2\pi \int_0^\infty dk k^2 \int_{-\infty}^\infty d\omega e^{-i\omega t} e^{-ikr}}{(2\pi)^4} = \frac{2\pi \int_0^\infty dk k^2 \frac{2\pi m(k, r)}{kr}}$

$= \frac{1}{2} \int_{-\infty}^\infty d\omega \int_0^\infty dk k^2 e^{-i\omega t} \frac{1}{kr} \sin(kr)$

$= \frac{1}{2} \int_{-\infty}^\infty d\omega \int_0^\infty dk k^2 e^{-i\omega t} \frac{1}{kr} \sin(kr)$ (oder gleich per Residuenteile) \rightarrow leicht hier $k \rightarrow -k$

$= \frac{1}{r} \frac{1}{(2\pi)^3} \int d\omega \int_0^\infty dk k^2 e^{-i\omega t} \int d\omega' \sin(kr) \frac{1}{k - \frac{\gamma}{c} - i\gamma}$

$= \int d\omega \int_0^\infty dk \sin(kr) \cos(\frac{\omega}{c} r) + \cos(kr) \sin(\frac{\omega}{c} r) \left[\frac{1}{k} + \frac{i\gamma}{k^2} + \frac{i\gamma}{k^3} \right]$

$= \cos(\frac{\omega}{c} r) \int d\omega \int_0^\infty dk \frac{\sin(kr)}{k^2 + \gamma^2} + i \sin(\frac{\omega}{c} r) \int d\omega \cos(kr) \frac{\gamma}{k^2 + \gamma^2}$

$= \left\{ \cos(\frac{\omega}{c} r) + i \sin(\frac{\omega}{c} r) \right\} \pi e^{-\gamma r} \int_0^\infty dk \cos(kr) \frac{\gamma}{k^2 + \gamma^2}$

$= \frac{\pi}{(2\pi)^3} \int d\omega e^{-i\omega(t - \frac{r}{c})} = \frac{\delta(t - \frac{r}{c})}{(4\pi r)}$, weiter wie (B)

(D) Max via F.T.

Vorsichtsprüfung: $\vec{f} \rightarrow \vec{f} + \sigma \vec{E}$

mit $\sigma = 0^+$ ("infim. Leistungsfähigkeit des Konv.")

Max: $i\vec{L} \cdot \vec{E} = \frac{4\pi\sigma}{\epsilon} \vec{g}$ $i\vec{L} \times \vec{E} - \frac{i\omega}{c} \vec{B} = \vec{0}$
 $i\vec{L} \cdot \vec{B} = 0$ $i\vec{L} \times \vec{B} + \frac{i\omega}{c} \vec{E} = \frac{4\pi\sigma}{\epsilon} (\vec{f} + \sigma \vec{E})$

Lsg: (analog zu "B eliminieren" für Max \Rightarrow Wellengl., vgl S.7, S.92)

- $i\vec{L} \times (\vec{L} \times \vec{E}) = i\vec{L} (i\vec{L} \cdot \vec{E}) + \vec{L}^2 \vec{E} = i\vec{L} \frac{4\pi\sigma}{\epsilon} (\vec{f} + \sigma \vec{E}) = \frac{4\pi\sigma}{\epsilon} i\vec{L} \times \vec{B} = \frac{4\pi\sigma}{\epsilon} (-\frac{i\omega}{c}) \vec{E} + \frac{i\omega}{c} \frac{4\pi\sigma}{\epsilon} (\vec{f} + \sigma \vec{E})$

$\Leftrightarrow \vec{E} [\vec{L}^2 - \frac{\omega^2}{c^2} - \frac{i\omega}{c} \frac{4\pi\sigma}{\epsilon}] = -i\vec{L} \frac{4\pi\sigma}{\epsilon} \vec{f}$

$\Leftrightarrow \vec{E} = -i\vec{L} \frac{4\pi\sigma}{\epsilon} \frac{1}{\vec{L}^2 - \frac{\omega^2}{c^2} - \frac{i\omega}{c} \frac{4\pi\sigma}{\epsilon}} \vec{f}$

$\Leftrightarrow \vec{E} = -i\vec{L} \frac{4\pi\sigma}{\epsilon} \frac{1}{c} \frac{1}{\vec{L}^2 - \frac{\omega^2}{c^2} - \frac{i\omega}{c} \frac{4\pi\sigma}{\epsilon}} \vec{f}$ (vgl. [...] aus (C), S.98, mit $\frac{2\pi}{\epsilon} \rightarrow \frac{4\pi\sigma}{\epsilon}$)

- analog: $i\vec{L} \times (\vec{L} \times \vec{B}) = i\vec{L} (i\vec{L} \cdot \vec{B}) + \vec{L}^2 \vec{B} = -\frac{i\omega}{c} i\vec{L} \times \vec{E} + \frac{i\omega}{c} (i\vec{L} \times \vec{f} + \sigma i\vec{L} \times \vec{E}) = \frac{4\pi\sigma}{\epsilon} i\vec{L} \times \vec{f} + (-\frac{i\omega}{c} + \frac{4\pi\sigma}{\epsilon}) \frac{i\omega}{c} \vec{B}$

$\Leftrightarrow \vec{B} = i\vec{L} \times \frac{4\pi\sigma}{\epsilon} \frac{1}{c} \frac{1}{\vec{L}^2 - \frac{\omega^2}{c^2} - \frac{i\omega}{c} \frac{4\pi\sigma}{\epsilon}} \vec{f}$

Rückfrage \Rightarrow also $\vec{E} = -\vec{\sigma} \vec{f} - \frac{1}{c} \vec{A}$, $\vec{B} = \vec{\sigma} \times \vec{A}$

brauchen noch Rückfrage von $\vec{\phi}, \vec{A} \rightarrow \vec{\phi}, \vec{A}$,
 noch Wgl (C) mit $\frac{2\pi}{\epsilon} = \frac{4\pi\sigma}{\epsilon} \Rightarrow$ ret. Pot. ist

Bem. zu (B), (C)

Wir bieten zu $\Delta \phi = \frac{4\pi\sigma}{\epsilon}$ auch so denken können:

$\frac{4\pi\sigma}{\epsilon}$ = Ursache, ϕ = Antwort

doppelte Ursache \Rightarrow doppelte Antwort: Zusammenhang ist linear

der allg. lineare Zshg (vgl. $\vec{a} = \text{Matrix} \cdot \vec{u}$, $a_j = \text{Matrix}_{jk} u_k$)

hat die Form $\phi(\vec{r}, t) = \int d^3r' \int dt' G(\vec{r}, t, \vec{r}', t') \frac{4\pi\sigma(\vec{r}', t')}{\epsilon}$

der Zshg ist transl.-invariant: $G(\vec{r}-\vec{r}', t-t')$

und nun: (B) G-Eigenschaften?

$\Delta \phi = \int d^3r' \Delta G(\vec{r}, t, \vec{r}', t') = \int d^3r' \delta(\vec{r}-\vec{r}') \delta(t-t')$

(Green's aufsuchen!)

(C) F.T. des allg. lin. Zshg's:

$\vec{\phi} = \vec{G} \cdot \frac{4\pi\sigma}{\epsilon}$, vgl. mit Wellengl $\vec{\phi} = \frac{4\pi\sigma}{\epsilon} \frac{1}{\vec{L}^2 - \frac{\omega^2}{c^2} - \frac{i\omega}{c} \frac{4\pi\sigma}{\epsilon}}$
 $\Rightarrow \vec{G} = \frac{1}{\vec{L}^2 - \frac{\omega^2}{c^2} - \frac{i\omega}{c} \frac{4\pi\sigma}{\epsilon}}$, $G = \int \frac{d^3k}{(2\pi)^3} \int \frac{d\omega}{2\pi} e^{i\vec{k}\vec{r} - i\omega t} \frac{1}{\vec{L}^2 - \frac{\omega^2}{c^2} - \frac{i\omega}{c} \frac{4\pi\sigma}{\epsilon}}$, s.o.

Faltungsglieder faktorisieren im Fourier-Raum!

Faltungsglied: $\int dy K(x-y) f(y) = g(x)$

$\Leftrightarrow \int dy \int \frac{d^3k}{(2\pi)^3} e^{i\vec{k}\cdot(\vec{x}-\vec{y})} \tilde{K}(\vec{k}) \int \frac{d\omega}{2\pi} e^{i\omega y} \tilde{f}(\omega) = \int \frac{d\omega}{2\pi} e^{i\omega x} \tilde{g}(\omega)$

$\Rightarrow \tilde{K}(\vec{k}) \cdot \tilde{f}(\omega) = \tilde{g}(\omega)$

9. Wichtige Anwendungen

- ... der (retardierten) Potentiale aus §8
- wirksam: "ange" ED; $S(\vec{r}, t)$ und $\vec{j}(\vec{r}, t)$ vorgegeben

9.1 Statik, Multipole

Statik: gegeben S, \vec{j} ohne Zeitargument

$$\rightarrow \left(\frac{\rho(\vec{r})}{A(\vec{r})} \right) = \frac{1}{c} \int \frac{d^3 r'}{|\vec{r}-\vec{r}'|} \begin{pmatrix} c S(\vec{r}') \\ \vec{j}(\vec{r}') \end{pmatrix}$$

Bem.: $\int d^3 r'$ über ganzen Raum

- Annahmen, die bis und ∞ reich, gilt es nicht; voll aber \vec{r}' 's, von denen aus die Liniel des Objekts weit weg erscheinen.

$$\begin{aligned} |\vec{r}-\vec{r}'| &= \sqrt{(x-x')^2 + (y-y')^2 + (z-z')^2} = \sqrt{(\vec{r}-\vec{r}')^2 + (z-z')^2} = \\ &= \sqrt{(\vec{r}-\vec{r}')^2} = \sqrt{r^2 + r'^2 - 2rr' \cos\theta} \end{aligned}$$

(wenn man \vec{r}' Kugelkoord. um \vec{r} wählt, dann ist θ Kugelkoord.)

- $\vec{r}' \rightarrow \vec{r} + \vec{r}'$ oder $z' \rightarrow z + z'$ im Integral erlaubt (wegen von Grenzen)

häufigste Regelmultipol-Entwicklung: ∞ dünner Draht

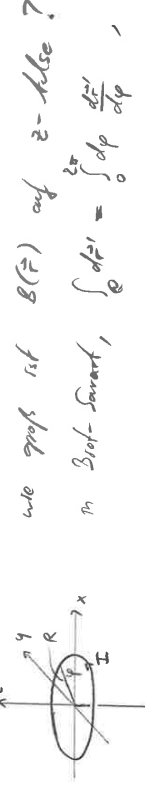


$$\begin{aligned} \vec{A}(\vec{r}) &= \frac{1}{c} \int \frac{d^3 r' ds' \vec{e}_c}{|\vec{r}-\vec{r}'|} = \frac{1}{c} \int \frac{ds' \vec{e}_c}{|\vec{r}-\vec{r}'|} \\ &= \frac{1}{c} \int \frac{ds' \vec{e}_c}{|\vec{r}-\vec{r}'|} \end{aligned}$$

$$\Rightarrow \vec{B}(\vec{r}) = \vec{\nabla} \times \vec{A} = \frac{1}{c} \int \left(\vec{\nabla} \frac{1}{|\vec{r}-\vec{r}'|} \right) \times d\vec{r}' = \frac{1}{c} \int \frac{d^3 r' \times \vec{e}_c}{|\vec{r}-\vec{r}'|^3} \quad \text{Biot-Savart Formel}$$

$$\left(\vec{\nabla} \frac{1}{|\vec{r}-\vec{r}'|} = -\frac{\vec{r}-\vec{r}'}{|\vec{r}-\vec{r}'|^3} \right)$$

§8 (Ringstrom durch ∞ dünnen Draht)



wie groß ist $B(\vec{r})$ auf z-Achse?

$$\text{in Biot-Savart, } \int d\vec{r}' = \int_0^{2\pi} d\phi \frac{d\vec{r}'}{R}$$

$$\text{mit } \vec{r}' = R \begin{pmatrix} \cos\phi \\ \sin\phi \\ 0 \end{pmatrix} \Rightarrow \frac{d\vec{r}'}{d\phi} = \vec{e}_\phi = R \begin{pmatrix} -\sin\phi \\ \cos\phi \\ 0 \end{pmatrix}$$

$$\text{gehört ist und } \vec{r} = z\vec{e}_3 \Rightarrow \vec{r}-\vec{r}' = \begin{pmatrix} -R\cos\phi \\ -R\sin\phi \\ z \end{pmatrix}, |\vec{r}-\vec{r}'| = \sqrt{R^2 + z^2}$$

$$\text{es gilt } \frac{d\vec{r}'}{d\phi} \times (\vec{r}-\vec{r}') = \det \begin{pmatrix} \vec{e}_1 & \vec{e}_2 & \vec{e}_3 \\ -R\cos\phi & -R\sin\phi & z \\ -R\sin\phi & R\cos\phi & 0 \end{pmatrix} = \begin{pmatrix} zR\cos\phi \\ zR\sin\phi \\ R^2(\sin^2\phi + \cos^2\phi) \end{pmatrix}$$

$$\Rightarrow \vec{B}(z\vec{e}_3) = \frac{1}{c} \int_0^{2\pi} d\phi \frac{1}{(R^2+z^2)^{3/2}} \begin{pmatrix} zR\cos\phi \\ zR\sin\phi \\ R^2 \end{pmatrix}$$

$$\downarrow$$

$$\frac{1}{c} \frac{2\pi R^2}{(R^2+z^2)^{3/2}} \begin{pmatrix} 0 \\ 0 \\ 1 \end{pmatrix}$$



Statische Potentiale

→ oft ist Ladungs-/Strom-Dichte "kollektiv";

wie sehr die Potentiale von "wirkung" aus?



$r \gg r' \Rightarrow |\vec{r}'|$

$$\Rightarrow \text{dann allg. Potentiale } \left(\frac{\rho}{r} \right)(\vec{r}) = \int \frac{d^3 r'}{|\vec{r}-\vec{r}'|} \begin{pmatrix} c S \\ \vec{j} \end{pmatrix}(\vec{r}')$$

durch Taylor-Entwicklung in \vec{r}' vereinfachen

- zur Erinnerung: $f(x+\epsilon) = f(x) + \epsilon f'(x) + \frac{\epsilon^2}{2!} f''(x) + \frac{\epsilon^3}{3!} f'''(x) + \dots$

$$= \epsilon \frac{d}{dx} f(x)$$

Translationsoperator

$$\bullet \frac{1}{|\vec{r}-\vec{r}'|} e^{-\vec{r}' \cdot \vec{\nabla}} \frac{1}{r} = \frac{1}{r} - \vec{r}' \cdot \vec{\nabla} \frac{1}{r} + \frac{1}{2} (\vec{r}' \cdot \vec{\nabla})^2 \frac{1}{r} - \dots$$

$$= x_i' \partial_{x_i} \left(\frac{1}{r} \right) = -x_i' \frac{x_i}{r^3} = -\frac{r_i r_i'}{r^3}$$

$$\text{und } \partial_j \partial_k \frac{1}{r} = \partial_j \left(-\frac{x_k}{r^3} \right) = -\frac{\delta_{jk}}{r^3} + 3 \frac{x_j x_k}{r^5}$$

$$= \frac{1}{r} + \frac{r_i r_i'}{r^3} + \frac{1}{2 r^5} (3 r_i r_i' r_i' r_i - r_i^2 r_i'^2) + \mathcal{O}(r_i'^4)$$

lese nun die $\frac{1}{|\vec{r}-\vec{r}'|}$ -Entwicklung als Summe von Produkten \Rightarrow als \vec{r} -Abhangige vom Integral (in $\phi = \int \dots$ etc).

$$\frac{1}{|\vec{r}-\vec{r}'|} = \frac{1}{r} + \sum_{i=1}^3 \frac{x_i'}{r^3} x_i + \sum_{j,k=1}^3 \frac{1}{2r^5} (x_j' x_k' - \frac{1}{3} r^2 \delta_{jk}) 3 x_j' x_k' + O(\frac{1}{r^4})$$

$$= \frac{1}{r} + \sum_{i=1}^3 \frac{x_i'}{r^3} x_i + \sum_{j,k=1}^3 \frac{1}{2r^5} (x_j' x_k' - \frac{1}{3} r^2 \delta_{jk}) (3 x_j' x_k' - r^2 \delta_{jk}) + O(\frac{1}{r^4})$$

erhalt, da 0 unter $\int \delta_{ij}$ ($\delta_{ij}=3$)

• das (skalarische) Skalarpotential ist dann

$$\phi(\vec{r}) = \frac{1}{4\pi\epsilon_0} \int_V \frac{\rho(\vec{r}')}{|\vec{r}-\vec{r}'|} d^3r'$$

$$= \frac{1}{4\pi\epsilon_0} \int_V \rho(\vec{r}') \left[\frac{1}{r} + \sum_{j,k=1}^3 \frac{1}{2r^5} (x_j' x_k' - \frac{1}{3} r^2 \delta_{jk}) (3 x_j' x_k' - r^2 \delta_{jk}) \right] d^3r'$$

$\stackrel{Q}{=} \frac{1}{4\pi\epsilon_0} \int_V \rho(\vec{r}') d^3r' = \frac{Q}{r}$, (el.) Dipolmoment (abhangig von Schwerpunkt)

$\stackrel{Q_{jk}}{=} \frac{1}{4\pi\epsilon_0} \int_V \rho(\vec{r}') (x_j' x_k' - \frac{1}{3} r'^2 \delta_{jk}) d^3r'$ = Q_{jk} , Quadrupoltensor (abhangig von Tragheitsmoment)

↳ konnte man weglassen (da $\int \rho(\vec{r}') d^3r' = 0$)

sem: $\sum_{j,k=1}^3 x_j' x_k' Q_{jk} = \vec{r} \cdot \vec{Q} \cdot \vec{r}$

• Q_{jk} -Eigenschaften: spurlos $\sum_{i=1}^3 Q_{ii} = 0$ symmetrisch $Q_{ij} = Q_{ji}$ ($Q = Q^T$)

$\Rightarrow \exists$ Hauptachsen, Eigenwerte $Q_1, Q_2, Q_3 = 0$

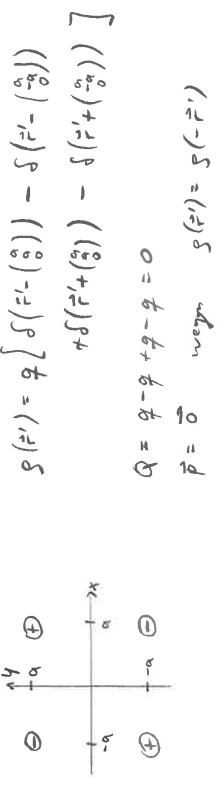
falls Symmetrie: $Q_1 = Q_2 = -\frac{1}{2} Q_3$

Bsp (geladene Kugeloberflache) $\rho(\vec{r}) = \rho(r) \delta(r-R) \delta(\theta-\theta_0) \delta(\phi-\phi_0)$

$\Rightarrow Q = 0$ wegen $\int_{-1}^1 \int_{-1}^1 (1-u^2) du = \frac{4}{3}$ (Kugelwand, $u = -\cos\theta$)

$\Rightarrow \vec{p} = \vec{0}$ wegen $\int \rho(\vec{r}) \vec{r} d^3r = 0$

Bsp (4 Punktladungen q)



$$(Q_{ij}) = q a^2 \left[\begin{pmatrix} 3 & 0 & 0 \\ 0 & 1 & 0 \\ 0 & 0 & 0 \end{pmatrix} \cdot 2 - 3 \delta_{ij} \right] - \left(3 \begin{pmatrix} 1 & 0 & 0 \\ 0 & 1 & 0 \\ 0 & 0 & 0 \end{pmatrix} \cdot \frac{1}{4} - 2 \delta_{ij} \right) + \left(3 \begin{pmatrix} 1 & 0 & 0 \\ 0 & 1 & 0 \\ 0 & 0 & 0 \end{pmatrix} \cdot \frac{1}{4} - 2 \delta_{ij} \right) - \left(3 \begin{pmatrix} 1 & 0 & 0 \\ 0 & 1 & 0 \\ 0 & 0 & 0 \end{pmatrix} \cdot \frac{1}{4} - 2 \delta_{ij} \right) \right]$$

$$= 12 q a^2 \begin{pmatrix} 0 & 0 & 0 \\ 1 & 0 & 0 \\ 0 & 0 & 0 \end{pmatrix}$$

Bsp (Dipol) q bei \vec{r}_+ , -q bei \vec{r}_-

$$\rho(\vec{r}') = q [\delta(\vec{r}' - \vec{r}_+) - \delta(\vec{r}' - \vec{r}_-)]$$

$$Q = q - q = 0$$

$$\vec{p} = q(\vec{r}_+ - \vec{r}_-)$$

(allg.: bei $a=0$ stellt man aus groer Entfernung nur noch das ϕ eines Dipols - egal wie wild die Ladungsverteilung)

Bsp (kugelsym. Ladungsverteilung) $\rho(\vec{r}') = \rho(r')$

$$Q = \int \rho d^3r' \neq 0$$

$$\vec{p} = \int_V d^3r' \vec{r}' \rho(r') = \int_V d^3r' \frac{1}{2} [\vec{r}' \rho(r') + \vec{r}' \rho(r')] = \vec{0}$$

Subst. $\vec{r}' \rightarrow -\vec{r}'$

$$Q_{j \neq k} = \int_V d^3r' 3 x_j' x_k' \rho(r') = \int_V d^3r' x_j' \frac{1}{2} [x_k' \rho(r') + x_k' \rho(r')] = 0$$

Subst. $x_k' \rightarrow -x_k'$

$\Rightarrow Q_{jk}$ ist diagonal.

aus Symmetriegrunden gilt $Q_{11} = Q_{22} = Q_{33}$

oder $\text{Spur} = Q_{11} + Q_{22} + Q_{33} = 0 \Rightarrow Q_{ij} = 0$ (1)

z.B. mit Mathematica kann man die Y_{lm} erkunden:

speichern und wichtige Rolle im QM: z.B. H-Atom

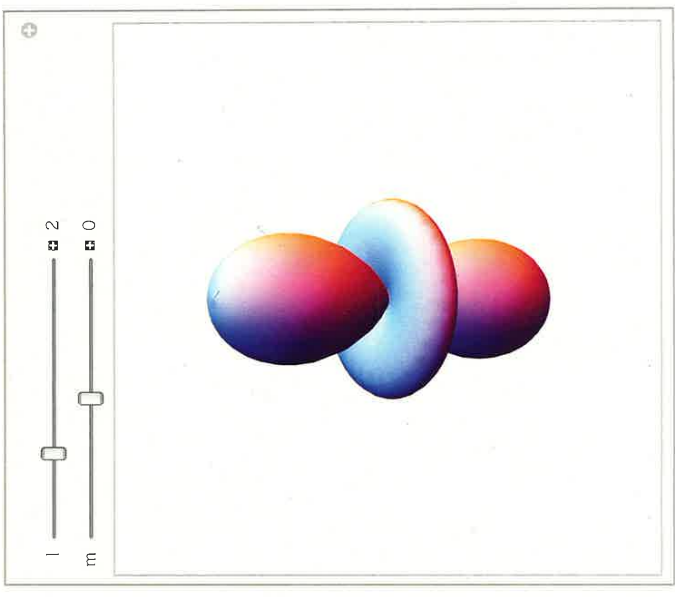
Kugelflächenfunktionen Y_{lm} - Visualisierung

```
In[1]:= (*basic Mathematica command for Y_lm(theta, phi)*)
SphericalHarmonicsY[2, 0, 0, th, phi]
```

Out[1]= $\frac{1}{4} \sqrt{\frac{5}{\pi}} (-1+3 \cos[th]^2) = Y_{20}(th, phi)$

In[6]= (*Visualisierung*)

```
Manipulate[SphericalPlot3D[Abs[SphericalHarmonicsY[l, m, th, phi]], {th, 0, Pi},
{phi, 0, 2 Pi}, Mesh -> False, Axes -> False, SphericalRegion -> True, Boxed -> False],
{{l, 2, "l"}, 0, 7, 1, Appearance -> "Labeled"},
{{m, 0, "m"}, -1, 1, 1, Appearance -> "Labeled"}]
```

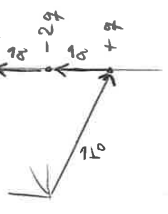


zu Besondere $\frac{1}{|r-r'|} = \sum_{l=0}^{\infty} \sum_{m=-l}^l \frac{4\pi}{2l+1} \frac{|r'|^l}{|r|^{l+1}} Y_{lm}^*(\theta', \varphi') Y_{lm}(\theta, \varphi)$

"perfekte Separation", [Jackson (3.70)]

MultiPolentwicklung
 $\phi(r) = \int_V \frac{d^3r'}{|r-r'|} s(r')$
 $= \sum_{l=0}^{\infty} \sum_{m=-l}^l \frac{4\pi}{2l+1} \int_V d^3r' |r'|^l Y_{lm}^*(\theta', \varphi') Y_{lm}(\theta, \varphi) s(r')$
 mit $q_{lm} = \frac{4\pi}{2l+1} \int_V d^3r' |r'|^l Y_{lm}^*(\theta', \varphi') s(r')$

BzL (3 Komponenten auf Achse = z-Achse)



$Q = z - z_0 + q = 0$

$\vec{p} = q [\vec{r}_0 - 2(\vec{r}_0 + \vec{z}) + (\vec{r}_0 + 2\vec{z})] = 0$

aus Symmetriegründe Q_{1k} diagonal

Sowie $Q_{11} = Q_{22}$

wegen Spur $Q_{11} + Q_{22} + Q_{33} = 0 \Rightarrow Q_{11} = Q_{22} = -\frac{1}{2} Q_{33}$

$Q_{33} = \int d^3r' (3z'^2 - |r'|^2) s(r')$

$\int d^3r' (2z'^2 - x'^2 - y'^2) s(r')$

proportional zu $q - 2q + q = 0$

$= 2q (z_0^2 - 2(z_0 + a)^2 + (z_0 + 2a)^2) = 4qa^2$

\rightarrow oben (S.103) hatten wir kontinuierliche Multipolmomente definiert;

man kann auch die Multipolentwicklung in Kugelkoordinaten

darstellen, vgl. z.B. [Jackson, §3, S. Formel (3.70)].

Wtr: Hauptergebnisse (ohne Herleitung)

Kugelkoordin., Winkel $\theta \in [0, \pi]$, $\varphi \in [0, 2\pi]$

Kugelflächenfunktionen $Y_{lm}(\theta, \varphi)$

$0, 1, 2, \dots, 2l - l, \dots, l$

bilden eine vollständige Menge von orthogonalen Funktionen

d.h. Fourier (differe...) Fkt $f(\theta, \varphi)$ d.h. $\int_0^\pi \int_0^{2\pi} d\theta \sin\theta d\varphi Y_{lm}^*(\theta, \varphi) Y_{l'm'}(\theta, \varphi) f(\theta, \varphi) = \delta_{ll'} \delta_{mm'}$

als $f(\theta, \varphi) = \sum_{l=0}^{\infty} \sum_{m=-l}^l a_{lm} Y_{lm}(\theta, \varphi)$

darstellbar.

$\int_0^\pi \int_0^{2\pi} d\theta \sin\theta d\varphi Y_{lm}^*(\theta, \varphi) f(\theta, \varphi)$

Beispiel

$Y_{00} = \frac{1}{\sqrt{4\pi}}$
 $Y_{10} = \sqrt{\frac{3}{4\pi}} \cos\theta$, $Y_{1\pm 1} = \mp \sqrt{\frac{3}{8\pi}} \sin\theta e^{\pm i\varphi}$
 $Y_{20} = \sqrt{\frac{5}{16\pi}} (3 \cos^2\theta - \frac{1}{2})$, ...

Spherical Harmonic $Y_{lm}(\theta, \varphi)$

• betrachte nun das (statistische) Verteilungspotential

(! Magnetostatistik; $S=0$, \vec{J} in Einheiten (z.B. mV), $r=|\vec{r}| \rightarrow \infty$)

$$\vec{A}(\vec{r}) = \frac{1}{c} \int \frac{d^3 \vec{r}' \vec{J}(\vec{r}')}{|\vec{r}-\vec{r}'|} = \frac{1}{c} \int d^3 \vec{r}' \vec{J}(\vec{r}') + \mathcal{O}\left(\frac{1}{r}\right)$$

① nach oben: $\vec{J} + \vec{\nabla} \cdot \vec{J} = 0$ $\sim \vec{J}$ hat keine Quellen (Kontinuitätsgl.) Stromlinien geschlossen \Rightarrow Mittelwert = 0

per Rechnung: wähle V profs gering, so dass $\vec{J}(\vec{r})|_{\vec{r} \in \partial V} = 0$

$$\Rightarrow 0 = \int_{\partial V} d\vec{f} \cdot \vec{J}(\vec{r}) f(\vec{r}) \quad \text{für beliebiges } f(\vec{r})$$

$$\stackrel{(\text{Stokes})}{=} \int_V d^3 \vec{r} \vec{\nabla} \cdot (\vec{J}(\vec{r}) f(\vec{r})) = \int_V d^3 \vec{r} \left\{ \underbrace{(\vec{\nabla} \cdot \vec{J})}_{=0, \text{ Kont. s.o.}} f + \vec{J} \cdot \vec{\nabla} f \right\} = \int_V d^3 \vec{r} \vec{J}(\vec{r}) \cdot \vec{\nabla} f(\vec{r})$$

wähle f stetig z.B. $f(\vec{r}) = x_i \Rightarrow 0 = \int_V d^3 \vec{r} \vec{J}(\vec{r}) \cdot \vec{e}_i$
(analog für $f = x_2, f = x_3$)
 $= \int_V d^3 \vec{r} j_i(\vec{r})$

\Rightarrow insgesamt also $0 = \int_V d^3 \vec{r} \vec{J}(\vec{r}) = 0$

"es gibt keine magnetischen Monopole"

② wähle nun $f(\vec{r}) = x_k x_j$

$$\Rightarrow \vec{J} \cdot \vec{\nabla} f(\vec{r}) = \sum_{i=1}^3 j_i \partial_i x_k x_j = \sum_i j_i (\delta_{ik} x_j + \delta_{ij} x_k) = j_k x_j + j_j x_k$$

$$\Rightarrow ② = \int_V d^3 \vec{r} x_j \vec{J}(\vec{r}) = \sum_{i=1}^3 \vec{e}_i \int_V d^3 \vec{r} j_k x_j = \frac{1}{2} \int_V d^3 \vec{r} \{ j_k x_j + j_j x_k - j_j x_k - j_k x_j \} = 0$$

es gilt $\left\{ \dots \right\} = \left(\delta_{km} j_n - \delta_{jm} \delta_{kn} \right) \int_m x_n = \left(\sum_{m,n,i} \epsilon^{ikmj} \epsilon^{imn} \int_m x_n \right)$
 $= \epsilon^{ikmj} \epsilon^{imn} \int_m x_n$
 $= \epsilon^{ikmj} (\vec{r} \times \vec{r})_i = \epsilon^{kij} (\vec{r} \times \vec{r})_i$

$$\Rightarrow \vec{A}(\vec{r}) = \frac{1}{c} \vec{0} + \sum_{j=1}^3 \frac{x_j}{c r^3} \sum_{i=1}^3 \epsilon^{kij} \int_V d^3 \vec{r}' \sum_{i=1}^3 \epsilon^{lji} (\vec{r}' \times \vec{J}(\vec{r}'))_i + \dots$$

$$= \frac{1}{2c} \int_V d^3 \vec{r}' (\vec{r}' \times \vec{J}(\vec{r}')) \times \frac{\vec{r}}{r^3} + \mathcal{O}\left(\frac{1}{r^3}\right)$$

$\stackrel{!}{=} \vec{m}$ magnetisches Dipolmoment \Rightarrow sind $\vec{A}(\vec{r})$

daraus folgt

$$\vec{B}(\vec{r}) = \vec{\nabla} \times \vec{A}(\vec{r}) = \sum_{i=1}^3 \vec{e}_i \epsilon^{kij} \partial_i A_j = \epsilon^{ilm} m_l \frac{x_n}{r^3}$$

$$= \sum_l \vec{e}_l \left(\delta_{ll} \delta_{in} - \delta_{ln} \delta_{il} \right) m_l \partial_i \frac{x_n}{r^3} = \frac{\delta_{in}}{r^3} - x_n \frac{3x_i}{r^5}$$

$$= \frac{1}{r^5} \left(3\vec{r}(\vec{r} \cdot \vec{m}) - r^2 \vec{m} \right)$$

Bem.: vgl. dies mit elektrischen Dipolfeld:

$$\vec{E}(\vec{r}) = -\vec{\nabla} \phi - \dot{\vec{A}}$$

\downarrow d. Dipolmoment

$$= -\vec{\nabla} \left(\frac{q}{r} + \frac{\vec{r} \cdot \vec{p}}{r^3} + \frac{\vec{r} \cdot \vec{Q} \vec{r}}{2r^5} + \dots \right)$$

$$\Rightarrow -\vec{\nabla} \frac{\vec{r} \cdot \vec{p}}{r^3} = -\partial_i \frac{x_j p_j r_i}{r^3} \vec{e}_i = \left(-\frac{\delta_{ij} p_j}{r^3} + \frac{3x_j p_j x_i}{r^5} + \dots \right) \vec{e}_i$$

$$= \frac{1}{r^5} \left(3\vec{r}(\vec{p} \cdot \vec{r}) - r^2 \vec{p} \right)$$

Bsp Dipol-Feld zu $\vec{p} = p \vec{e}_3$, $\vec{m} = m \vec{e}_3$: $\left(\begin{matrix} \vec{E}(\vec{r}) \\ \vec{B}(\vec{r}) \end{matrix} \right) = \left(\begin{matrix} -\vec{\nabla} \phi(\vec{r}) \\ \vec{\nabla} \times \vec{A}(\vec{r}) \end{matrix} \right) = \left(\begin{matrix} p \\ m \end{matrix} \right) \frac{3\vec{r} \vec{r} - r^2 \vec{e}_3}{r^5}$



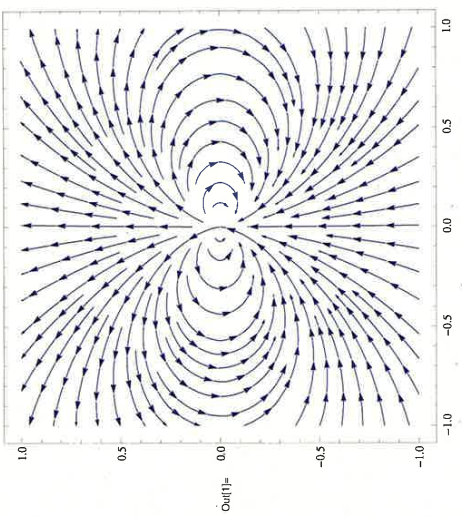
z.B. mit Mathematik:

Visualisierung des Dipolfeldes von S. 108 unten

Dipol-Felder

```

in[1]: (*Vorl Seite 108 unten: Dipol auf z-Achse, Plot zB in x-z Ebene (y=0)*)
StreamPlot[{3 z x, 3 z z - (x^2 + z^2)} / (x^2 + z^2)^(5/2), {x, -1, 1}, {z, -1, 1}]
    
```



Werte auf Dipole

→ Lorentztrampf (vgl. §6, S. 74)

$$\vec{E} = q\vec{E} + \frac{1}{c} q\vec{v} \times \vec{B}$$

$$\rightarrow \int \vec{E} + \frac{1}{c} \int \vec{v} \times \vec{B}$$

9.2 Liénard-Wiechert Potentiale

→ "erster Blick" auf $t - \frac{|\vec{r}-\vec{r}'|}{c}$ in rel. Pot.

→ typisch Anwendung: eine/mehrere bewegte Punktladungen
 ⇒ z.B. "Synchrotronstrahlung" (s. unten, §9.4)

(ultrarelativistisch) e^- in \vec{B} -Feld

z.B. in Beschleunigern / Plasmen / Astrophysik

emittierte Strahlung ist wichtige Lichtquelle

für z.B. Festkörperphysik, Biologie

betrachte eine Punktladung (q) auf Bahn $\vec{r}_0(t)$

⇒ Ladungsdichte: $\begin{pmatrix} \rho \\ \vec{j} \end{pmatrix} = cq \delta(\vec{r}-\vec{r}_0(t)) \begin{pmatrix} 1 \\ \vec{v}(t) \end{pmatrix}$

(s. §6.1, S. 76)

$$\vec{v} = \frac{d\vec{r}_0(t)}{dt} = \frac{\dot{\vec{r}}_0(t)}{c}$$

⇒ retardierte Potentiale:

$$\begin{pmatrix} \phi(\vec{r}, t) \\ \vec{A}(\vec{r}, t) \end{pmatrix} = q \int \frac{d^3r'}{|\vec{r}-\vec{r}'|} \delta(\vec{r}'-\vec{r}_0(t-\frac{|\vec{r}-\vec{r}'|}{c})) \begin{pmatrix} 1 \\ \vec{v}(t-\frac{|\vec{r}-\vec{r}'|}{c}) \end{pmatrix}$$

(s. §8, S. 95)

Bem.: • \vec{r}'_t sind hier fest

• \vec{r}' sucht Raum ab und findet δ -Zacke bei $\vec{r}' = \vec{r}_1$

$$\vec{r}_1 - \vec{r}_0(t - \frac{|\vec{r}-\vec{r}_1|}{c}) = 0$$

• \vec{r}_1 ist ein spezielles $\vec{r}_0(\dots)$, $\vec{r}_1 = \vec{r}_0(t_r)$

$$\Rightarrow \vec{r}_0(t_r) - \vec{r}_0(t - \frac{1}{c} |\vec{r}-\vec{r}_0(t_r)|) = 0$$

$$\Rightarrow t_r = t - \frac{1}{c} |\vec{r}-\vec{r}_0(t_r)|$$

$$\equiv |\vec{R}(t_r)| = R(t_r)$$

↳ die frühere Zeit, zu der die t-Beobachtung verursacht wurde

Projektant also:

$$\begin{pmatrix} \phi \\ \vec{A} \end{pmatrix} = \gamma \int d\vec{r}' \frac{1}{r} \delta(\vec{r}' - \vec{r}_0(t - \frac{r}{c})) \begin{pmatrix} 1 \\ \vec{\beta}(t - \frac{r}{c}) \end{pmatrix}$$

um $\vec{0}$ entwickeln

$$\vec{R}(t) = \vec{r} - \vec{r}_0(t) \quad t_r = t - \frac{1}{c} R(t_r)$$

Bem: für Langwelle Ladungen gilt Coulomb nicht mehr

• Felder zu $(\frac{1}{R})$ ausrechnen? s. §9.5

§9 (Punktladung mit konstanter Geschwindigkeit)

Sei $\vec{r}_0(t) = \vec{e}, vt$

$$\vec{R}(t) = \vec{r} - \vec{e}, vt = \begin{pmatrix} x-vt \\ y \\ z \end{pmatrix}$$

bestimme retardierte Zeit:

$$t_r = t - \frac{1}{c} \sqrt{(x-vt_r)^2 + y^2 + z^2} \quad (s^2 = y^2 + z^2)$$

$$\Leftrightarrow (1-\beta^2)(x-vt_r)^2 = x^2 - 2xvt + vt^2 + \beta^2(x-vt)^2 + (1-\beta^2)s^2$$

(nur eine Lsg, da $t_r \leq t$)

$$\Rightarrow R - \beta \vec{R} = c(t - t_r) - \beta(x - vt_r)$$

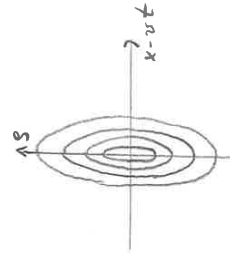
$$= \frac{1}{\beta} \sqrt{(1-\beta^2)(x-vt_r)^2 + y^2 + z^2}$$

$$\Rightarrow \begin{pmatrix} \phi \\ \vec{A} \end{pmatrix} = \frac{q\gamma}{\sqrt{y^2 + z^2 + \frac{1}{1-\beta^2}(x-vt)^2 + s^2}} \begin{pmatrix} 1 \\ \beta \end{pmatrix}, \text{ wobei } \vec{A} = A_1 \vec{e}_1, \beta = v/c, \gamma = \frac{1}{\sqrt{1-\beta^2}} \geq 1$$

→ Äqui- ϕ -Flächen, $\phi = \text{const.}$

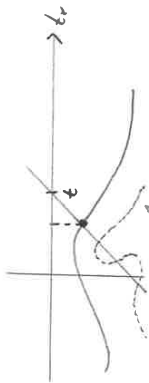
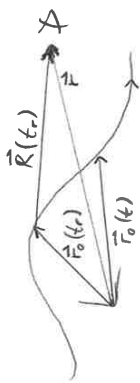
$$\frac{(x-vt)^2}{1-\beta^2} + y^2 + z^2 = \text{const.}$$

sind Ellipsen, $\frac{x^2}{a^2} + \dots$, $a < 1$
(Coulomb von Kreise)



x-Skala verkleinert;
Längenerhaltung

→ Fazit: Max → Rel.-Theorie!



• Punkt auf r-Linie (zur Zeit t)

• $t_r - t = -\frac{1}{c} R(t_r)$ graphisch lösen

((mehr als eine Lsg möglich?))

denn müsste irgendwo aber $\text{shy} > 1$ sein,

$$\partial_{t_r} \left(-\frac{1}{c} R(t_r) \right) = -\frac{1}{c} \frac{1}{2R(t_r)} 2\vec{R}(t_r) \cdot \left(-\frac{1}{c} \vec{r}_0(t_r) \right) = \frac{\vec{R}}{R} \cdot \vec{\beta}(t_r)$$

< 1 falls $|\vec{\beta}| < 1$: nichts schneller als c; nein!!

müssen nun das Integral auswerten:

$$\vec{r}' \text{ nahe } \vec{r}_1: \vec{r}' = \vec{r}_1 + \vec{e}, d^3r' = d^3e$$

$$|\vec{r}' - \vec{r}| = |\vec{r} - \vec{r}_1 - \vec{e}| = |\vec{R} - \vec{e}|, \vec{R} = \vec{R}(t_r)$$

$$\delta\text{-Funktion} = \int \delta(\vec{r}' - \vec{r}) d^3r' = \int \delta(\vec{R} - \vec{e}) d^3e$$

(Transform. von \vec{r}_0)

$$= \int \delta(\sqrt{R^2 + e^2 - 2\vec{R}\vec{e}}) d^3e = R \left(1 - \frac{2\vec{R}\vec{e}}{R^2} + \frac{e^2}{R^2} \right)^{\frac{3}{2}}$$

$$\approx R - \frac{2\vec{R}\vec{e}}{R} + O(e^2)$$

$$= \vec{e} - \vec{\beta} \cdot \vec{e}_{||} \quad \text{mit } \vec{e}_{||} = \frac{\vec{R}}{R} \cdot \vec{e}$$

$$\Rightarrow \delta(\vec{r}) = \delta(\vec{r}_{||}) \delta^{(2)}(\vec{r}_{\perp}) \quad (\text{kurzweilig in } \vec{R}\text{-Richtung gestaucht})$$

$$= \delta(\epsilon_{||}) \delta(\epsilon_{\perp}) \delta^{(2)}(\vec{e}_{\perp} - \beta \vec{e}_{||}) = 0 \text{ wenn orth. } \delta = \text{Fall}$$

$$= \frac{1}{1-\beta_{||}^2} \delta^{(2)}(\vec{e}_{\perp})$$

$$\Rightarrow \begin{pmatrix} \phi(\vec{r}, t) \\ \vec{A}(\vec{r}, t) \end{pmatrix} = \frac{q}{R - \beta \cdot \vec{R}} \begin{pmatrix} 1 \\ \vec{\beta} \end{pmatrix} \quad (\text{bei } t_r)$$

• "potentielle Energie" ist ein Feld

→ will zeigen, dass $\text{rot } \vec{E} = 0$

zu entsprechenden $\int d^3r U$ - Einträge führt

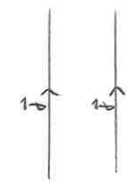
betrachte allg. statische Ladungsverteilung $\rho(\vec{r})$,

summiere über potentielle E (obere Permutation: $\sum_{i,j} V(\vec{r}_i - \vec{r}_j)$)

$$\begin{aligned} \frac{1}{2} \int d^3r \int d^3r' \frac{\rho(\vec{r}) \rho(\vec{r}')}{|\vec{r} - \vec{r}'|} &= \frac{1}{2} \int d^3r \rho(\vec{r}) \phi(\vec{r}) && \text{(ref) Pot, S. 95} \\ &= \frac{1}{8\pi} \int d^3r \rho(\vec{r}) \vec{\nabla} \cdot \vec{E} && \text{(Poi 1 benutzt)} \\ &= -\frac{1}{8\pi} \int d^3r \rho(\vec{r}) \vec{\nabla} \cdot \vec{\phi} && \text{(PZ, Randterm = 0)} \\ &= \int d^3r \rho(\vec{r}) \vec{\nabla} \cdot \vec{A} && \text{vgl. U-Arbeit} \end{aligned}$$

• klassische für statische Stromverteilung $\vec{j}(\vec{r})$

$$\begin{aligned} \int d^3r \frac{1}{8\pi} \vec{B}^2 &= \frac{1}{8\pi} \int d^3r \vec{B} \cdot (\vec{\nabla} \times \vec{A}) \\ &= \frac{1}{8\pi} \int d^3r \epsilon^{ijk} B_i \partial_j A_k = \epsilon^{ijk} B_i \partial_j A_k = + \epsilon^{ijk} A_k \partial_j B_i \\ &= \frac{1}{8\pi} \int d^3r \vec{A} \cdot (\vec{\nabla} \times \vec{B}) \\ &= \frac{1}{2c} \int d^3r \vec{A}(\vec{r}) \cdot \vec{j}(\vec{r}) \\ &= \frac{1}{2} \int d^3r \int d^3r' \frac{\vec{j}(\vec{r}) \cdot \vec{j}(\vec{r}')}{c^2 |\vec{r} - \vec{r}'|} \end{aligned}$$



ziehen sich an (Lorentzkraft!).
drücke Drücke (um da) auseinander

→ Arbeit (dE) wird am System verrichtet.

aber: $|\vec{r} - \vec{r}'|$ und groß

→ $\frac{1}{|\vec{r} - \vec{r}'|}$ und kleiner, RHS wird kleiner,
LHS $\sim \vec{B}^2 \in U$ und kleiner! $\frac{1}{c^2}$ nun

falls also $\vec{E}, \vec{B}, \vec{S}, \vec{T}$ ganz in V sind:

$$\Rightarrow \partial_t \left(\int d^3r U + T_r \right) = 0$$

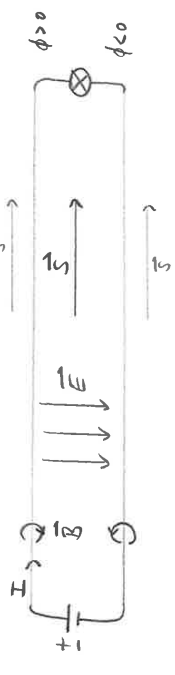
Bem.: • erstincks eine Gesamtenergieerhaltung in einer vollständigen Theorie erhalten.

Bsp (harmonische ebene im Vakuum; vgl. §7, S. 92)
 $\vec{E} = \vec{E}_0 \cos(\vec{k}\vec{r} - \omega t)$, $\vec{B} = \frac{1}{c} \vec{k} \times \vec{E}$, $\vec{E}_0 \perp \vec{k}$, $\omega = ck$ (Vak)

$$\begin{aligned} \Rightarrow U &= 2 \frac{\epsilon_0}{8\pi} E_0^2 \cos^2(\vec{k}\vec{r} - \omega t) \\ \vec{S} &= \frac{c}{4\pi} \frac{\vec{k}}{k} E_0^2 \cos^2(\vec{k}\vec{r} - \omega t) \\ \Rightarrow \partial_t U + \vec{\nabla} \cdot \vec{S} &= \frac{E_0^2}{4\pi} \left\{ -2\omega \cos \cdot \sin + \frac{1}{k} 2k^2 \cos \cdot \sin \right\} \\ &= 0, \text{ Kontinuitätsgl. ist} \end{aligned}$$

(da alle Energie-Anteile mit c fliegen, müsste " $\vec{T} = \vec{S} \cdot \vec{v}$ " gelten: $\vec{S} \stackrel{?}{=} U \cdot \vec{k} = \frac{1}{k} \vec{k} \cdot \vec{k}$)

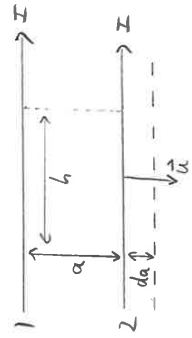
Bsp Energie-Übertragung zum Verbraucher
($E_{kin}(e^-)$ vernachlässigbar)



Bem.: • die $\int_V \vec{E} \cdot \vec{v} dt$ auf S.114 unten interpretieren wir so:

die Energie U der em Felder kann sich dadurch ändern, dass Energie auf die geladenen Teilchen übertragen wird (RHS) aber dass em Energie durch die Oberflächen verloren geht (LHS).

• wie lässt sich das Paradoxon auf S. 116 unten auf?



① q in Draht 2 erfährt Lorentzkraft $\vec{F}_2 = q \frac{\vec{v}}{c} \times \vec{B}$
 ⇒ Dräfte ziehen sich an.
 ⇒ beim Auseinanderdrücken (um da) wird Arbeit verrichtet.
 wo steckt die entsprechende Energie dE ?
 ($dE = |\vec{F}| \cdot da$, $|\vec{F}| = q \frac{v}{c} B$, $\rightarrow \frac{1}{c} \int j_2 B$, $= \frac{1}{c} h I B$,
 B -Feld um Draht, beim Abstand a :
 $B_1 = \frac{2I}{ca}$, s.z.B. § 6.3, S. 86
 $= \frac{2I^2}{ca^2} \cdot h \cdot da$))

② aber in Feldenergie ($\sim B^2 \sim \int \frac{j_1 j_2}{|r-r'|}$) wird Memer größer
 ⇒ $dE_{\text{F}} \sim B^2 < 0$ (und sogar $= -dE$)
 es gibt aber weitere Beiträge?

③ { während der Zeit $dt = \frac{da}{u}$, in der man den Draht 2 mit Geschwindigkeit u um da verschiebt }, wirkt auf q in Draht 2 eine zusätzliche Lorentzkraft $q \frac{u}{c} \times \vec{B}$

⇒ $dE_{\text{L}} > 0$ (und sogar $= dE$)
 ④ { ... }, ändert sich \vec{B}
 ⇒ $\vec{v} \times \vec{E} \neq 0$ (wegen $\rho_{\text{ext}} = 0$)
 und $q \vec{E}$ beschleunigt Ladungen in Draht 1
 ⇒ $dE_{\text{L}} > 0$ (und sogar $= dE$)

$dE = -dE + dE + dE$, alles OK.))

→ sind alle Manipulationen an ρ_{ext} durchgespielt?

am Bsp ($\rho_{\text{ext}}(y)$): $\vec{\nabla} \cdot (\rho_{\text{ext}}(y)) \Rightarrow$ Kontinuitätsgleichung (§ 6.2, S. 79)
 $\vec{\nabla} \times (\rho_{\text{ext}}(y)) \Rightarrow$ Wellengleichung (vgl. § 7, S. 92)
 $\vec{E} \cdot (\rho_{\text{ext}}(y)) \Rightarrow$ Enz-Kontin. (§ 9.3, S. 113/114)
 $\vec{B} \times (\rho_{\text{ext}}(y)) \Rightarrow ?$
 $\vec{E} \times (\rho_{\text{ext}}(y)) \Rightarrow ?$

Feldimpuls

$\vec{B} \times | \vec{\nabla} \times \vec{B} - \dot{\vec{E}} = \frac{4\pi}{c} \vec{j} \quad (\rho_{\text{ext}}(y))$
 $\vec{E} \times | \vec{\nabla} \times \vec{E} + \dot{\vec{B}} = 0 \quad (\rho_{\text{ext}}(y))$, addiere

$\vec{\nabla} \cdot (\vec{B} \times \vec{B}) - \vec{\nabla} \cdot (\vec{E} \times \dot{\vec{E}}) - \frac{1}{c} \dot{\vec{B}} \times \dot{\vec{E}} + \vec{\nabla} \cdot (\vec{E} \cdot \dot{\vec{B}}) + \frac{1}{c} \dot{\vec{E}} \times \dot{\vec{B}} = \frac{4\pi}{c} \vec{j} \times \vec{j}$

⇔ $\partial_i (\frac{1}{c} \vec{E} \times \vec{B}) + \vec{\nabla} \cdot (\frac{1}{c} \dot{\vec{E}} \times \dot{\vec{B}}) = -\frac{4\pi}{c} \vec{j} \times \vec{B} + (\dot{\vec{B}} \cdot \dot{\vec{B}}) \vec{E} + (\dot{\vec{E}} \cdot \dot{\vec{E}}) \vec{E}$
 addiere diese Zeile
 (= 0 wegen $\rho_{\text{ext}}, \rho_{\text{ext}}(y)$)

⇔ $\partial_i (\frac{1}{c} \frac{1}{4\pi} \vec{E} \times \vec{B}) + \frac{1}{4\pi} \{ \vec{\nabla} \cdot (\dot{\vec{E}} \times \dot{\vec{B}}) - (\dot{\vec{E}} \cdot \dot{\vec{E}}) \vec{E} - (\dot{\vec{B}} \cdot \dot{\vec{B}}) \vec{E} - \vec{E} \cdot (\dot{\vec{B}} \times \dot{\vec{E}}) \} = -(\vec{E} \cdot \vec{j} + \vec{j} \cdot \vec{E}) \equiv \vec{f}_L$
 $= \vec{S}, \text{ S. 114}$

Schreibe dies nun als (Voraussetzungen sind Konventionen)

$\partial_i \vec{S} - \vec{\nabla} \cdot \vec{T} = -\vec{f}_L$

(bzw. in Komponenten: $\partial_i S_j - \partial_j T_{ij} = -f_{Li}$)

es gilt { ... } = $\partial_j (\frac{1}{c} (\vec{E} \times \vec{B})) - \vec{E}_i \partial_j \dot{\vec{E}} - \dot{\vec{B}}_i \partial_j \dot{\vec{B}} - \vec{E}_i \dot{\vec{B}}_j - \dot{\vec{B}}_i \dot{\vec{E}}_j$
 $= \partial_j [S_j - \frac{1}{c} (\vec{E} \times \vec{B})] - \vec{E}_i \dot{\vec{B}}_j - \dot{\vec{B}}_i \dot{\vec{E}}_j$
 $= -4\pi \partial_i T_{ij}$

↪ Maxwell'scher Spannungstensor

⇒ S. 115

↪ Gesamtimpuls-Erhaltung einer verdrängten (em) Licht

Bem.: • lese dies wieder als "Kontinuitätszfg",
 dann könnte man $\frac{\vec{S}}{c^2} = \text{Impuls-Dichte}$
 und $T_{ij} = \text{Impuls-Stromdichte}$ nennen

• \vec{F}_L auf der RHS ist die Lorentzkräftefeld;
 beschreibt Zeitänderung der Impulsdichte über "gekoppelte Potentiale"

• es gilt $\nabla \cdot T = \sum_{i=1}^3 T_{ii} = -\frac{1}{4\pi} \left[\frac{3}{2} (\vec{E}^2 + \vec{B}^2) - \vec{E}^2 - \vec{B}^2 \right]$
 $= -\frac{1}{8\pi} (\vec{E}^2 + \vec{B}^2) = -u$

$\Rightarrow u + \dot{p}(T) = 0$

z.B. (Zitat) ebene Welle in x-Richtung $T = \begin{pmatrix} -u & 0 & 0 \\ 0 & 0 & 0 \\ 0 & 0 & 0 \end{pmatrix}$

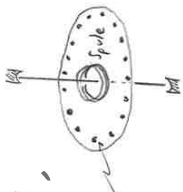
isotropes Licht $T = \begin{pmatrix} -\frac{1}{3}u & 0 & 0 \\ 0 & -\frac{1}{3}u & 0 \\ 0 & 0 & -\frac{1}{3}u \end{pmatrix}$

• Licht "Licht" ist klein, da Impuls-Dichte = $\frac{S}{c^2}$
 (aber z.B. Sonnenzug als Antrieb?)

• ein Volumen Feld hat also den
 Impuls $\vec{P}_V = \int_V d^3r \frac{1}{4\pi c} \vec{E} \times \vec{B}$
 und daher auch einen (Gesamt-)

Drehimpuls $\vec{L}_V = \int_V d^3r \vec{r} \times \frac{\vec{E} \times \vec{B}}{4\pi c}$

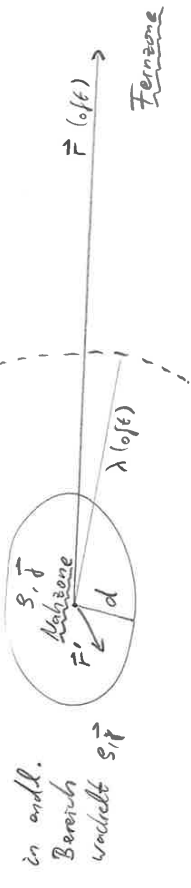
(kann \vec{L}_V auch selbstbar machen: "Feynman-Selbst",
 [The Feynman Lectures on Physics, Vol. 2, §17.4]
 B-Feld aus ~ Schicht dreht!) Ladungen q



9.4 (Aus-) Strahlung: Sender

→ wollen wieder eine Näherung in der retardierten Potentiale
 aus \vec{S} durchfließen:

"Sender-Physik":



Bsp	d	λ	r
TV-Sender	10 m	$\lambda = \frac{2\pi c}{\omega} = \frac{c}{\nu} = \frac{3 \cdot 10^8 \text{ m/s}}{1 \text{ MHz}} = 300 \text{ m}$	10^4 m
Atom	10^{-10} m	$\lambda_{\text{green}} = 500 \text{ nm} = 5 \cdot 10^{-7} \text{ m}$	1 m

betrachte monochromatisches Sender: $\vec{J}(\vec{r}, t) = \vec{j}_0(\vec{r}) \sin(\omega t)$
 gegeben \vec{j}

Kontin: $\vec{S} = -\vec{\nabla} \cdot \vec{S} = -\text{div}(\vec{S}) = \vec{\nabla} \cdot \vec{j}_0(\vec{r})$

(gg: $\vec{S}(\vec{r}, t) = S_0(\vec{r}) \cos(\omega t)$, $S_0(\vec{r}) = \frac{\vec{\nabla} \cdot \vec{j}_0(\vec{r})}{\omega}$)

Strategie / weiteres Vorgehen: ret. Pot. $\Rightarrow \vec{A}; \vec{A} \Rightarrow \vec{B}; (\vec{A} \times \vec{k}) \Rightarrow \vec{E}$

Schreibe $\vec{J}(\vec{r}, t) = -\text{Im}(e^{-i\omega t} \vec{j}_0(\vec{r}))$ ($e^{ikx} = \cos x + i \sin x$)

• ret. Pot (58, 5.95)

$\vec{A}(\vec{r}, t) = \frac{1}{4\pi} \int \frac{d^3r'}{|\vec{r}-\vec{r}'|} (-1) \text{Im} \left(e^{-i\omega [t - \frac{|\vec{r}-\vec{r}'|}{c}]} \vec{j}_0(\vec{r}') \right)$

$= -\frac{1}{4\pi} \text{Im} \left(e^{-i\omega t} \int d^3r' \frac{e^{i\omega |\vec{r}-\vec{r}'|}}{|\vec{r}-\vec{r}'|} \vec{j}_0(\vec{r}') \right)$, $k = \frac{\omega}{c}$
 $\equiv \vec{a}(\vec{r})$

Bsp: Π - und EZ -Strahlung

$\equiv \vec{a}_2$ -Anteil

$$\vec{a}_2 = -i\epsilon \frac{e^{i\omega t}}{r^2} \int d^3r' (\vec{r}' \cdot \vec{r}') \vec{r}_0(\vec{r}')$$

ähnlich magn. Dipolmoment

vgl. §9.1, S. 107, Term ②

hier aber $\vec{r}'_0 = \vec{a}_2 \neq 0$

$$\begin{aligned} &= c \vec{m}_0 \times \vec{r} - \frac{e}{2} \int d^3r' [\vec{r}'(\vec{r}' \cdot \vec{r}')] S_0(\vec{r}') \\ &= c \vec{m}_0 \times \vec{r} - \frac{e}{2} \int (D \vec{r}' + (\vec{d}'_r \cdot \vec{r}'^2 S_0(\vec{r}')) \vec{r}') \end{aligned}$$

magn. Dipolstrahlung (E1)
 el. Quadrupolstrahlung (E2)
 $\uparrow \ominus$
 $\oplus \rightarrow \leftarrow \oplus$
 $\downarrow \ominus$

(mit magn. Dipolmoment $\vec{m}_0 = \frac{1}{2c} \int d^3r' \vec{r}' \times \vec{r}'_0(\vec{r}')$, S. 108)

Bem: Beide Anteile (E1), (E2) sind $\mathcal{O}(1/r^2) \cdot (E1)$

• Rücklicht: statische Multipole: $1/(1-r)$ entwickeln

Strahlungs Multipole: $e^{i\epsilon(1-r)}$ entwickeln

• allg. Sender

ist Superposition monochromatischer Sender

entf. Phasenschiebung $\cos(\omega t) = \sin(\omega t + \frac{\pi}{2})$ etc.

$$\vec{f}(\vec{r}, t) = \int \frac{d\omega}{2\pi} \vec{f}(\vec{r}, \omega) e^{-i\omega t}$$

9.5 Beschleunigte Punktladung

→ Erinnerung: §9.2, Liénard-Wiechert Potentiale

Punktladung q auf Bahn $\vec{r}_0(t)$ ($\vec{\beta}(t) = \dot{\vec{r}}_0(t)/c$)

$$\Rightarrow \left(\frac{\phi}{A} \right)_{\vec{r}, t} = \frac{q}{R - \vec{R} \cdot \vec{\beta}(t_r)} \left(\frac{1}{\beta(t_r)} \right) \quad \vec{R} = \vec{r} - \vec{r}_0(t_r) \quad \epsilon_r = t - R/c$$

Felder zu diesem Potentiale?

$$\begin{aligned} \text{mittels } \partial_\epsilon = \epsilon_r \partial_{t_r} \quad , \quad \epsilon_r^2 &= 1 - \frac{1}{c^2} \partial_\epsilon |\vec{R}|^2 = 1 - \frac{1}{c^2} \frac{\partial_\epsilon \vec{R} \cdot \partial_\epsilon \vec{R}}{R} \\ &= 1 - \frac{1}{c^2} \epsilon_r^2 \frac{\vec{R}}{R} \cdot (-c \vec{\beta}(t_r)) \end{aligned}$$

$$\Leftrightarrow \epsilon_r^2 = \frac{1}{1 - \vec{n} \cdot \vec{\beta}} \quad , \quad \vec{n} = \frac{\vec{R}}{R}$$

erhält man

$$\vec{E} = q \frac{\vec{n} - \vec{\beta}}{r^2 (1 - \vec{n} \cdot \vec{\beta})^3} \Big|_{t_r} + \frac{q}{r} \frac{\{ \vec{n} \times (\vec{n} - \vec{\beta}) \times \dot{\vec{\beta}} \}}{(1 - \vec{n} \cdot \vec{\beta})^3} \Big|_{t_r}$$

keine Strahlung

Strahlung!

$$\vec{B} = (\vec{n} \times \vec{E})_{\text{Strahlung}}$$

(check?! z.B. \vec{E} für $\vec{r}_0(t) = \vec{e}_1 vt$, vgl. §9.2, S. 112 → keine Str.)

$$\Rightarrow \text{Energie- Stromdichte } \vec{S} = \frac{c}{4\pi} (\vec{E} \times \vec{B}) \Big|_{\text{Strahlung}} = \frac{c}{4\pi} \vec{E}^2 \vec{n}$$

$$\cdot \text{Teilchen} \quad \vec{R} \quad \square \quad d\Omega \quad \Big|_{\text{Teilchen}} = \frac{\text{Energie}}{\text{Zeit} \cdot \text{Fläche}} \cdot \vec{R} \Big|_{\text{Teilchen}} = \frac{d^2 E}{dt d\Omega} \cdot \vec{n}$$

→ Energieverlust des Teilchens, pro Zeit und Raumwinkel $d\Omega$

$$\frac{d^2 E}{(dt_r) d\Omega} = R^2 (1 - \vec{n} \cdot \vec{\beta}) \Big|_{t_r} = \frac{q^2}{4\pi c} \frac{\{ \vec{n} \times (\vec{n} - \vec{\beta}) \times \dot{\vec{\beta}} \}^2}{(1 - \vec{n} \cdot \vec{\beta})^5}$$

$$\text{Bsp Bremsstrahlung: } \frac{d^2 E}{dt_r d\Omega} = \frac{q^2}{4\pi c^3} \Big|_{t_r} \dot{\vec{\beta}}(t_r)^2 \frac{\sin^2 \theta}{(1 - \beta \cos \theta)^5}$$



a) $\beta = 0 \rightarrow \text{circle}$, $dt_r = dt$

b) $\beta \approx 1 \rightarrow \text{radiation cone}$

$\Rightarrow \vec{\beta} \times \vec{\beta} = 0$



Querverbindungen

→ haben dieses Semester einige sehr grundlegende und wichtige Prinzipien kennengelernt, die weiter Verknüpfung werden können:

- Prinzip der kleinsten Wirkung
 hier: klass. Mechanik, $\delta S = 0$
 später: Quantenmechanik (Theorie II)
 Quantenfeldtheorie (in Pasker), Pfadintegrale
- Hamiltonsche Mech.
 hier: klass. Mechanik, $\dot{x}(t) = \{x, H\}$ (Poisson-Klammer), $\{x, p\} = 1$
 später: Quantenmechanik (Theorie II), $[\hat{x}, \hat{p}] = i\hbar$ (Kommutator)
 $i\hbar \partial_t \hat{\psi}(t) = [\hat{x}, \hat{H}] \psi$ etc

• Eichinvarianz

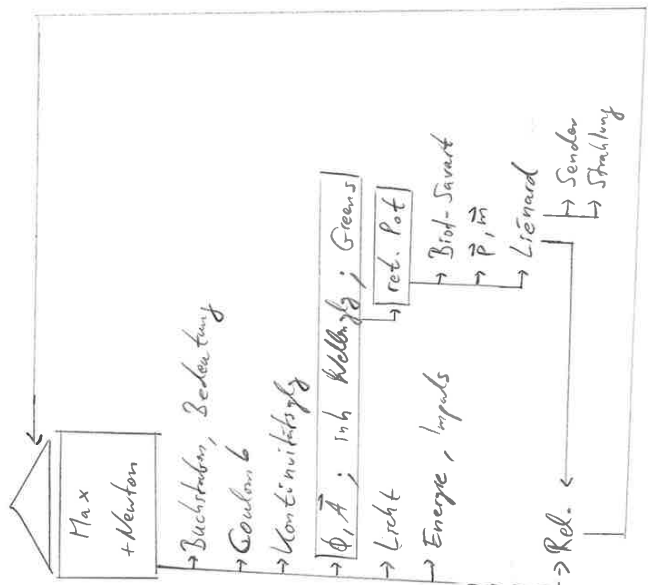
hier: Elektrodynamik, $A^\mu \rightarrow A^\mu - \partial^\mu \chi$ gleiche Physik
 später: Elementarteilchenphysik (J. Senescha)
 Konstruktion des "Standardmodells"

• Relativitätsprinzip

hier: in spez. Rel., Inertialsysteme, Λ^μ_ν L-Transf.
 später: Allgemeine Rel., Schwerkraft \leftrightarrow Beschleunigung
 allg. Koord.-Transf.
 $ds^2 = g_{\mu\nu} dx^\mu dx^\nu$, $g_{\mu\nu} \neq \eta_{\mu\nu}$

10. Ausblick

Standard:



Weiter:

→ alle Bausteine der ED in 4er-Notation: Elegant!

4-Standard $j = \begin{pmatrix} c\rho \\ \vec{j} \end{pmatrix} \sim$ Konti.: $\partial_\nu j^\mu = 0$

((Check: $x^\mu = \begin{pmatrix} ct \\ \vec{x} \end{pmatrix}$, $\partial_\nu = \frac{\partial}{\partial x^\nu}$, $\partial_\nu j^\mu = \partial_\nu j^0 + \partial_\nu j^i = \partial_{ct}(c\rho) + \partial_{x^i} j^i = \dot{\rho} + \vec{\nabla} \cdot \vec{j}$)

4-Potential $A = \begin{pmatrix} \phi \\ \vec{A} \end{pmatrix} \sim$ Max: $\partial_\nu \partial^\nu A^\mu = \frac{4\pi}{c} j^\mu$
 ((in Lorentz-Eichung)) $\left(= \frac{1}{c} \partial_\nu^2 - \vec{\nabla}^2 = \square \right)$

Feldstärketensor $F^{\mu\nu} = \partial^\mu A^\nu - \partial^\nu A^\mu \sim$ Max: $\partial_\nu F^{\mu\nu} = \frac{4\pi}{c} j^\mu$
 ((ohne Eichbed.; s. auch (154))

((mit Feldern: $F^{i0} = -F^{0i} = E^i$, $F^{ij} = -F^{ji} = -\epsilon^{ijk} B^k$, $F^{00} = 0 = F^{ii}$)

(($u^\mu = \partial_t x^\mu$, S.68; $p^\mu = m u^\mu$, S.72)) \sim Newton: $\partial_t p^\mu = \frac{q}{c} F^{\mu\nu} u_\nu$
 ((mit $\vec{F}_{\text{Lorentz}} = q\vec{E} + \vec{v} \times \vec{B}/c$))